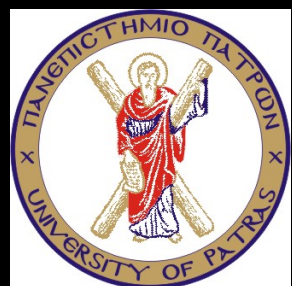


ΤΕΧΝΟΛΟΓΙΑ ΣΤΗΝ ΟΥΡΟΛΟΓΙΑ: ΤΙ ΕΡΧΕΤΑΙ ΓΙΑ ΝΑ ΜΕΙΝΕΙ;



8^ο ΕΛΛΗΝΙΚΟ ΣΧΟΛΕΙΟ ΟΥΡΟΛΟΓΙΑΣ
5-8 Μαρτίου, Πορταριά, Πήλιο



Παναγιώτης Καλληδώνης
Χειρουργός Ουρολόγος
Ουρολογική Κλινική

Πανεπιστημιακό Νοσοκομείο Πατρών



**Σύγκρουση συμφερόντων:
Δεν υπάρχει**

Ποίες είναι οι τεχνολογικές εξελίξεις στην ενδοουρολογία;

- Απεικόνιση
- Διαδερμική νεφρολιθοτριψία (PCNL)
- Ευκαμπτη νεφροουρητηροσκόπηση
- Λέιζερ στον προστάτη
- Λαπαροσκοπική και ρομποτική
χειρουργική

Εξελίξεις στην απεικόνιση

Urological DynaCT

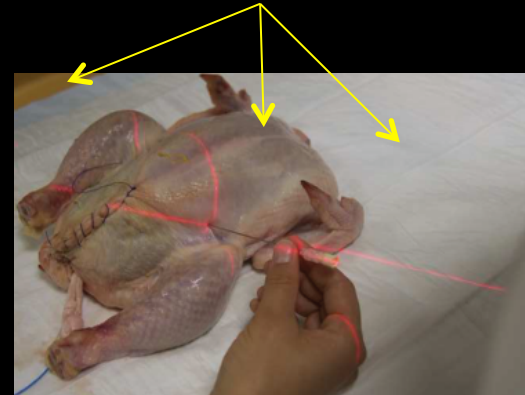
World J Urol (2013) 31:1147–1151
DOI 10.1007/s00345-012-0847-8

ORIGINAL ARTICLE

Laser-guided percutaneous kidney access with the Uro Dyna-CT:
first experience of three-dimensional puncture planning
with an ex vivo model

M. Ritter · M.-C. Rassweiler · A. Häcker · M. S. Michel

Ακτίνα Laser δείχνει την φορά της
παρακέντησης

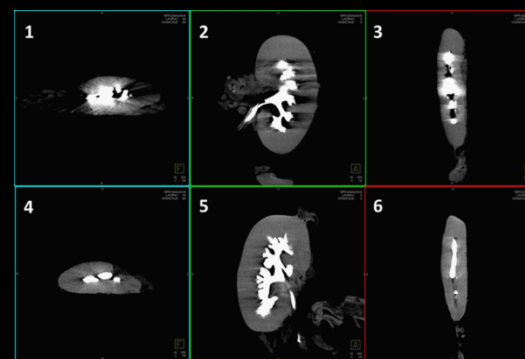


World J Urol (2013) 31:1261–1266
DOI 10.1007/s00345-012-0903-4

ORIGINAL ARTICLE

Optimizing imaging quality in endourology with the
Uro Dyna-CT: contrast agent dilution matters

M. Ritter · C. Weiss · M.-C. Rassweiler ·
M. S. Michel · A. Häcker



Ακριβής παρακέντηση και βελτιστοποίηση του
σκιαγραφικού μέσου

Urological DynaCT

World J Urol
DOI 10.1007/s00345-014-1385-3

ORIGINAL ARTICLE

Accuracy in detecting and measuring residual fragments with the Uro Dyna-CT

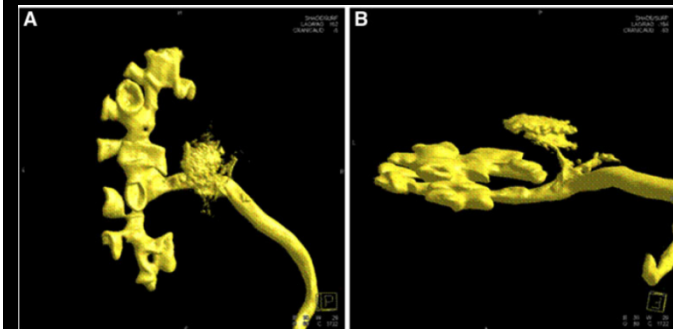
B. Meister · M. C. Rassweiler · C. Weiß · A. Häcker ·
M. Ritter

World J Urol (2014) 32:277–280
DOI 10.1007/s00345-012-0951-9

ORIGINAL ARTICLE

The Urological Dyna-CT: ex vivo feasibility study of interventional cross-sectional imaging in the endourological operation room

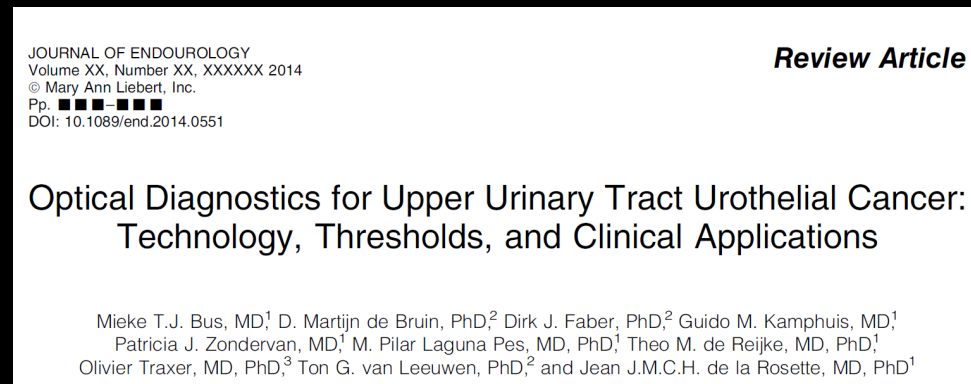
M. S. Michel · M. Ritter · H. Wertz ·
S. Schönberg · A. Häcker · G. Weisser



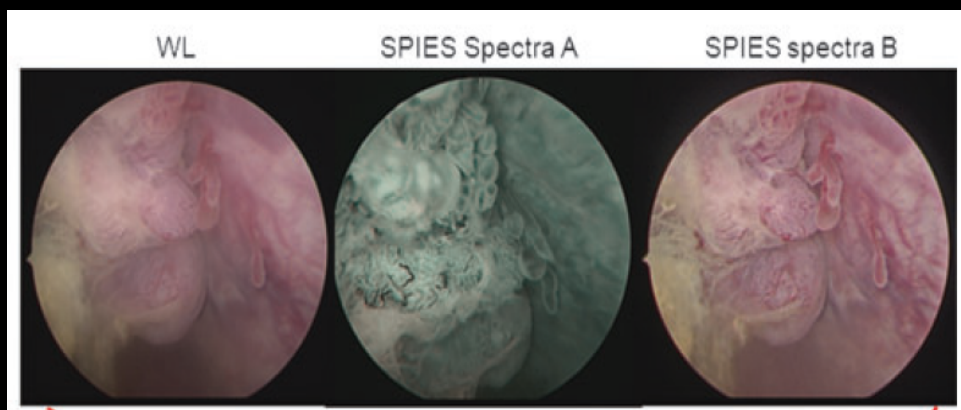
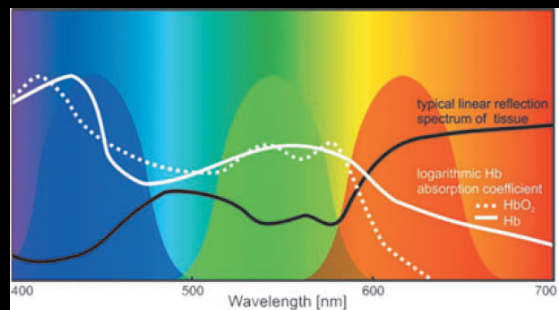
- Ακριβής ανίχνευση υπολειμματικών λίθων
- Χαμηλή δόση ακτινοβολίας

Τα πειραματικά δεδομένα
ωριμάζουν

Διάγνωση όγκων του ουροποιητικού

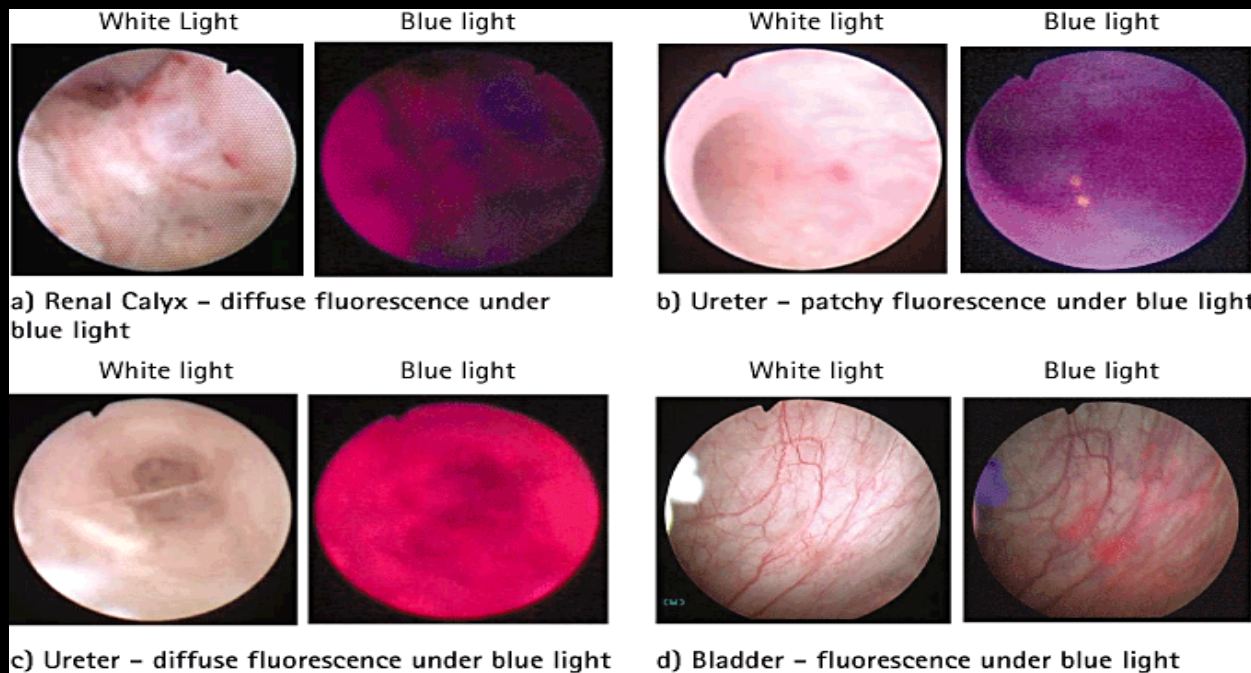


- PDD, SPIES και NBI: βελτιωμένη ανίχνευση όγκων του ουροποιητικού
- OCT και CLE: real-time, ελάχιστα επεμβατική, αντικειμενική πρόβλεψη της ιστοπαθολογίας του όγκου



Φωτοδυναμική διάγνωση όγκων ανώτερου ουροποιητικού

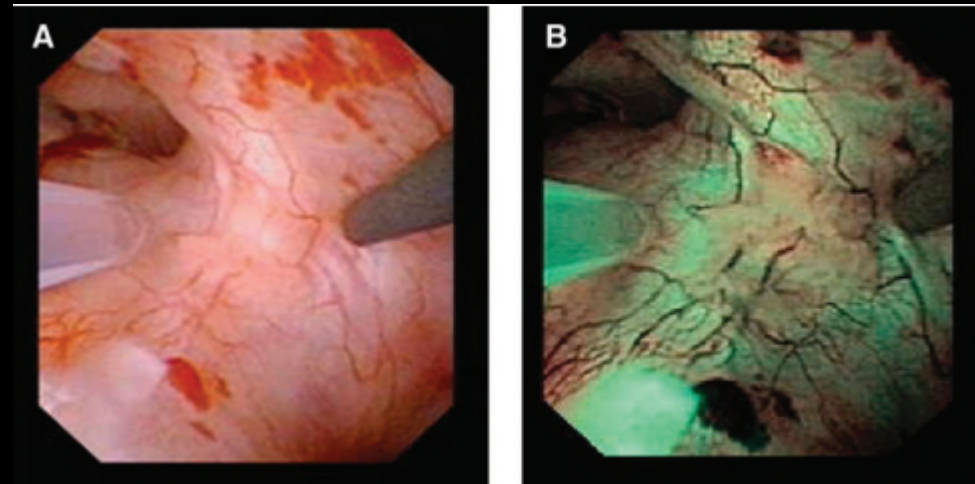
- Per os 5-ALA για να βαφτούν ύποπτες περιοχές και ακολουθεί εξέταση με blue light για να διαπιστωθεί ο φθορισμός
 - Εκλεκτική συσσώρευση φωτοπορφυρινης IX στους όγκους
 - Ahmad et al, BJU Int, 2012
 - 26 βλάβες σε UUT βιοψίες,
 - 11 ανιχνεύτηκαν από WL και BL, 100 % κακοήθεια
 - 10 (38.5%) βλάβες ανιχνεύτηκαν μόνο στο blue light 70% κακοήθεια.



Narrow-band Imaging Digital Flexible Ureteroscopy in Detection of Upper Urinary Tract Transitional-Cell Carcinoma: Initial Experience

Olivier Traxer, M.D.¹, Bogdan Geavlete, M.D.¹, S. Gil diez de Medina, M.D., Ph.D.¹,
Matilde Sibony, M.D.², and Saeed M. Al-Qahtani, M.D.¹

- 27 ασθενείς WL vs NBI
- NBI βελτιώσε την ανίχνευση όγκων κατά 22.7%



Η ανάπτυξη της νέας γενιάς εύκαμπτων ουρητηροσκοπίων σε συνδυασμό με φωτοδυναμική διάγνωση (PDD) βελτιώνει την αξιολόγηση των περιστατικών ουροθηλιακών όγκων του ανώτερου ουροποιητικού.

Narrow Band Imaging-NBI

Journal of Medicine and Life Vol. 7, Issue 2, April-June 2014, pp.282-286

NBI cystoscopy in routine urological practice – from better vision to improve therapeutic management

Jecu M, Geavlete B, Mulțescu R, Stănescu F, Moldoveanu C, Adou L, Ene C, Bulai C, Geavlete P
"Saint John" Emergency Clinical Hospital, Department of Urology, Bucharest, Romania

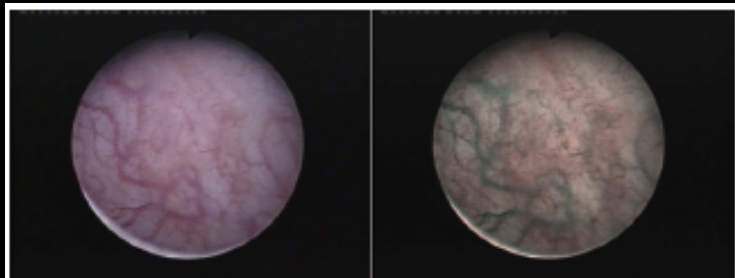


Fig. 1 CIS lesions visible only in NBI mode

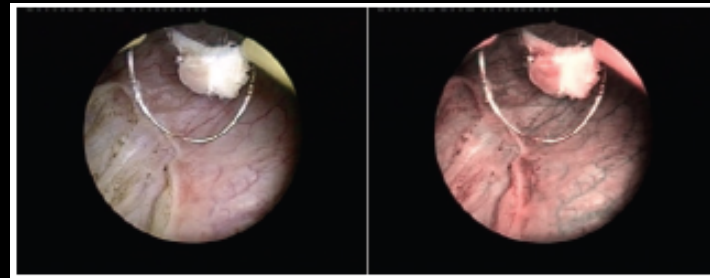


Fig. 2 Positive tumoral margins after NBI control

Σημαντική βελτίωση της ακρίβειας και του ποσοστού επιτυχούς ανίχνευσης όγκων

Narrow Band Imaging-NBI

Journal of Medicine and Life Vol. 7, Issue 2, April-June 2014, pp.155-159

NBI - plasma vaporization hybrid approach in bladder cancer endoscopic management

Stănescu F, Geavlete B, Georgescu D, Jecu M, Moldoveanu C, Adou L, Bulai C, Ene C, Geavlete P
"Saint John" Emergency Clinical Hospital, Department of Urology

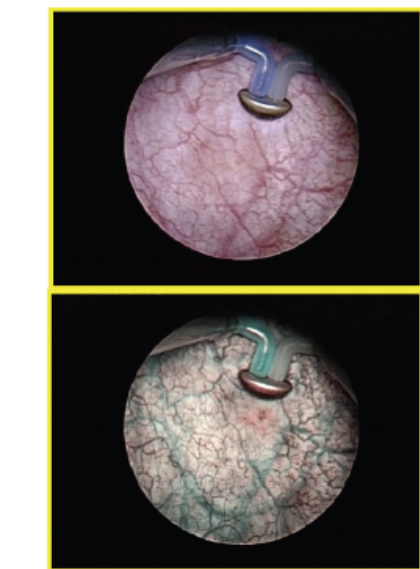


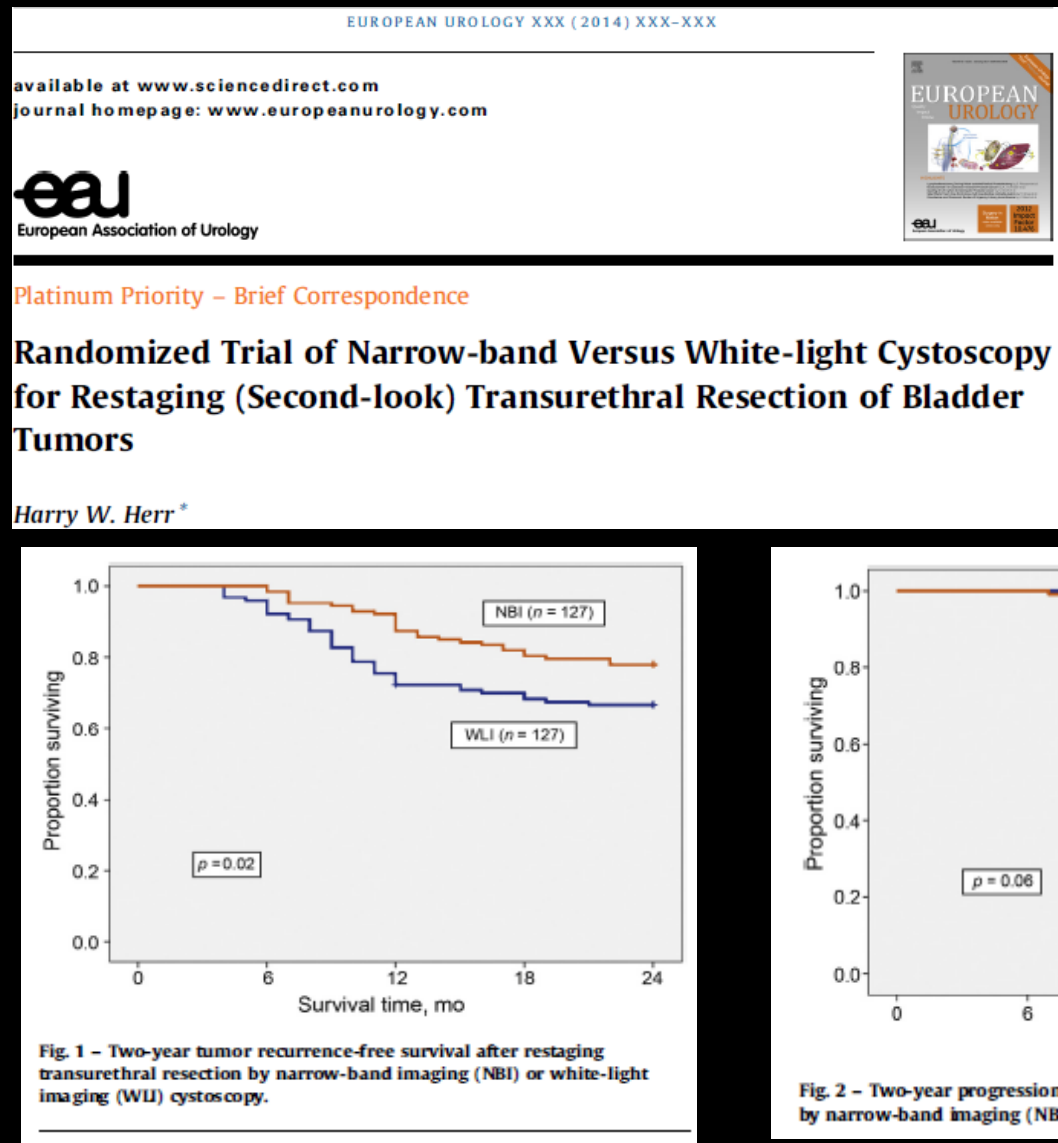
Fig.1 Standard and NBI cystoscopic image



Fig. 2 The bipolar plasma vaporization of the large tumoral bulk

- Υψηλότερη διαγνωστική ακρίβεια
- Υψηλότερο ποσοστό επιτυχίας στην ανίχνευση όγκου

Narrow Band Imaging-NBI



- Η πρώτη RCT
- Μειωμένα ποσοστά υποτροπής
- Αυξημένη επιβίωση χωρίς υποτροπή
- Μελέτη χωρίς επαρκή ισχύ

SPIEs

Storz Professional Image Enhancement System
Clara; Chroma; Clara-Chroma; Spectra A; SpectraB



White light
image



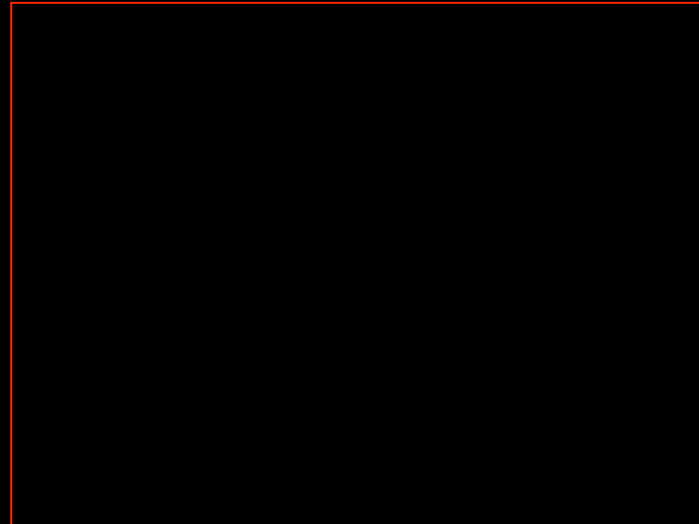
SPIES
CHROMA



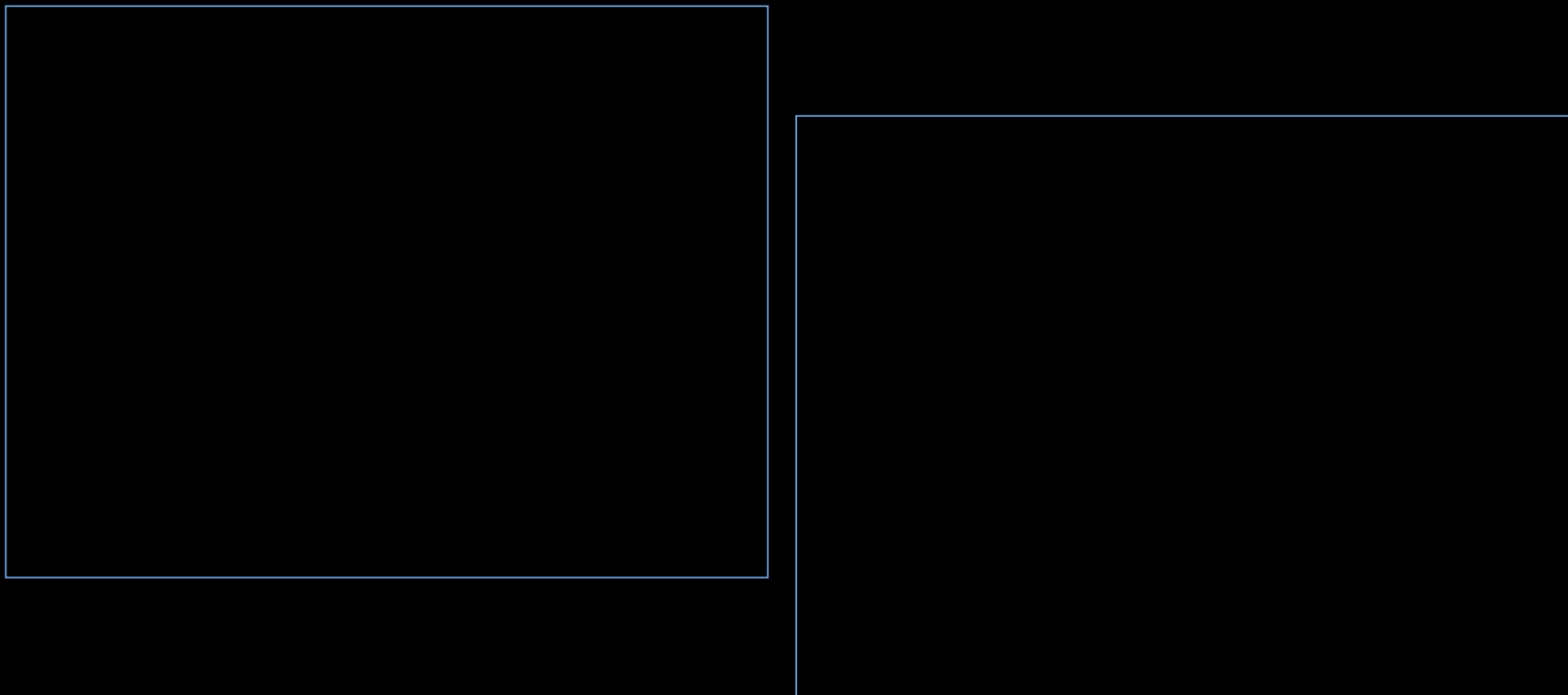
White light image



SPIES CLARA

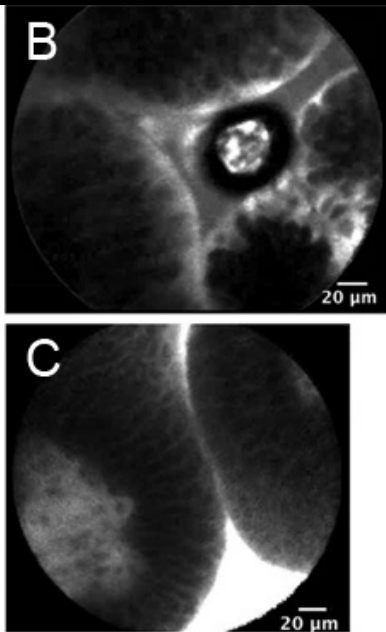
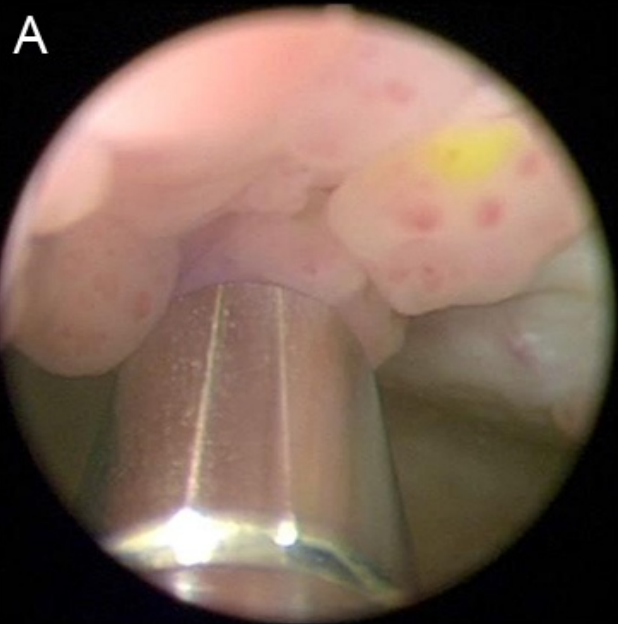


Εξελίξεις στην απεικόνιση Storz Professional Imaging Enhancement System (SPIES)



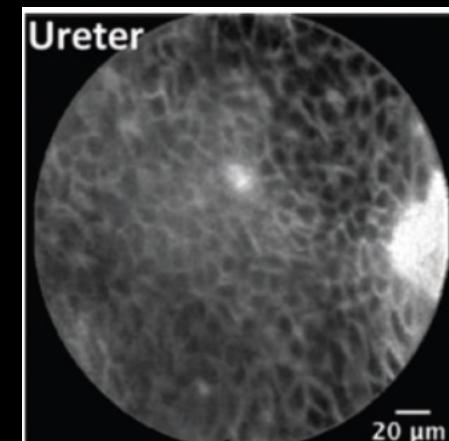
Αναμένονται οι πρώτες μελέτες (Bus et al. J Endourol 2014)

Confocal Laser Endomicroscopy - CLE



Δυναμική, πραγματικού χρόνου απεικόνιση της αγγείωσης:

- Όγκοι κύστεως
- Όγκοι ουρητήρα

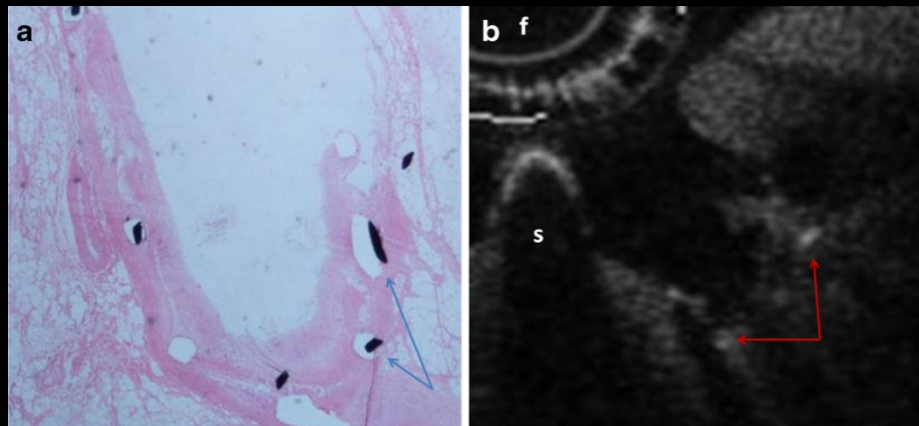


Chang et al. J Vis Exp 2013

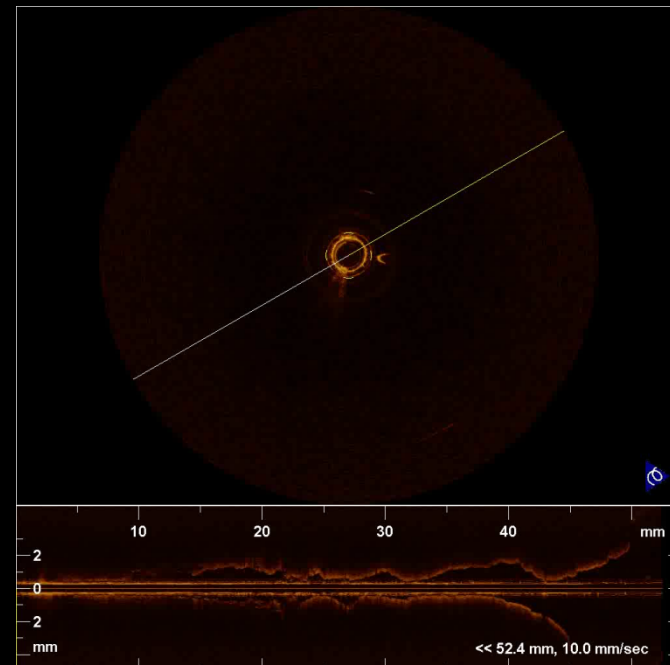
Cell Vizio system Mauna Kea Technologies

Οπτική τομογραφία συνοχής

- Εξελισσόμενη τεχνική
- Η κύστη το κύριο όργανο μελέτης
- Όγκοι νεφρού
- Αυλός ουρητήρα
- Εικόνες που μοιάζουν με την ιστολογική



136
CENTRAL EUROPEAN JOURNAL OF UROLOGY
REVIEW PAPER
UROLOGICAL ONCOLOGY
Optical coherence tomography diagnostics for onco–urology. Review of clinical perspectives
Sergiy Kharchenko¹, Jan Adamowicz², Maciej Wojtkowski³, and Tomasz Drewa^{2,4}



Kallidonis et al. Lasers Med Sci (2014)
29:1453–1462

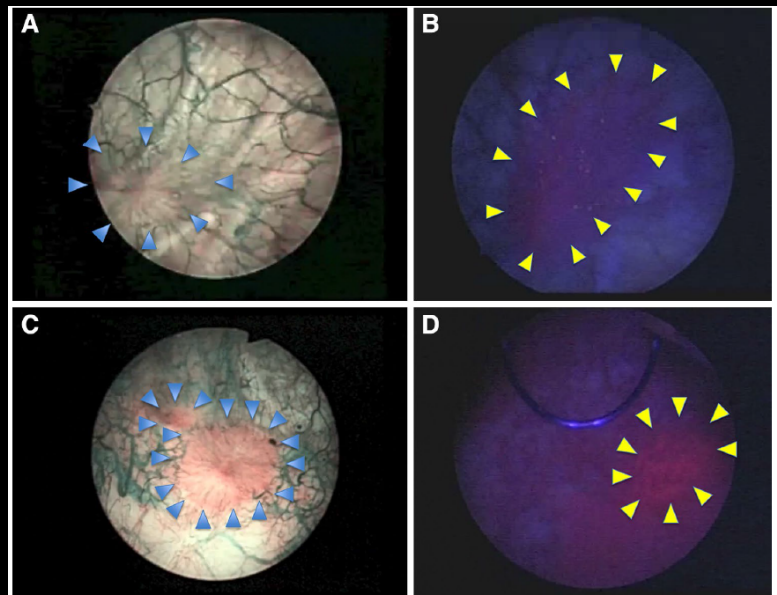
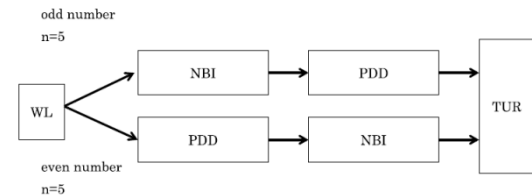
Εξελίξεις στην απεικόνιση Συνδυασμός απεικονιστικών μεθόδων

Int J Clin Oncol
DOI 10.1007/s10147-014-0748-5

ORIGINAL ARTICLE

Initial experience of combined use of photodynamic diagnosis and narrow band imaging for detection of flat urothelial lesion

Yoshio Naya · Masakatsu Oishi · Yasunori Yamada · Takashi Ueda · Atsuko Fujihara ·
Hiroyuki Nakanishi · Yasuyuki Naito · Terukazu Nakamura · Fumiya Hongo ·
Kazumi Kamoi · Koji Okihara · Tsuneharu Miki



- Ανίχνευση CIS και δυσπλασίας - παρόμοιες
- PDD ανίχνευσε όλα τα CIS
- Αρνητική PDD → απουσία όγκου
- Αρνητική NIB → 15% όγκος
- Αρνητικές PDD+NIB → απουσία όγκου και δυσπλασίας

Εξελίξεις στη διαδερμική
νεφρολιθοτριψία (PCNL)

Τεχνικές που βελτιώνουν την ασφάλεια και την ακρίβεια της διαδερμικής παρακέντησης



- ✓ Μειώνουν την καμπύλη εκμάθησης
- ✓ Μειώνουν τις επιπλοκές
- ✓ Συμβάλουν στη διάδοση της τεχνικής

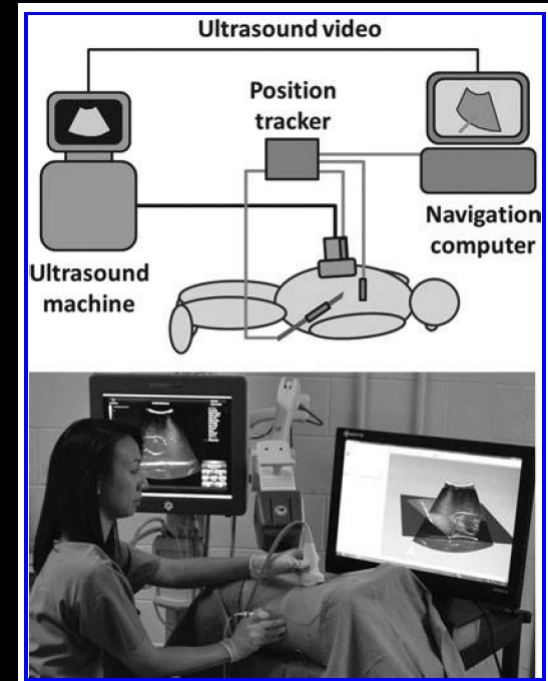
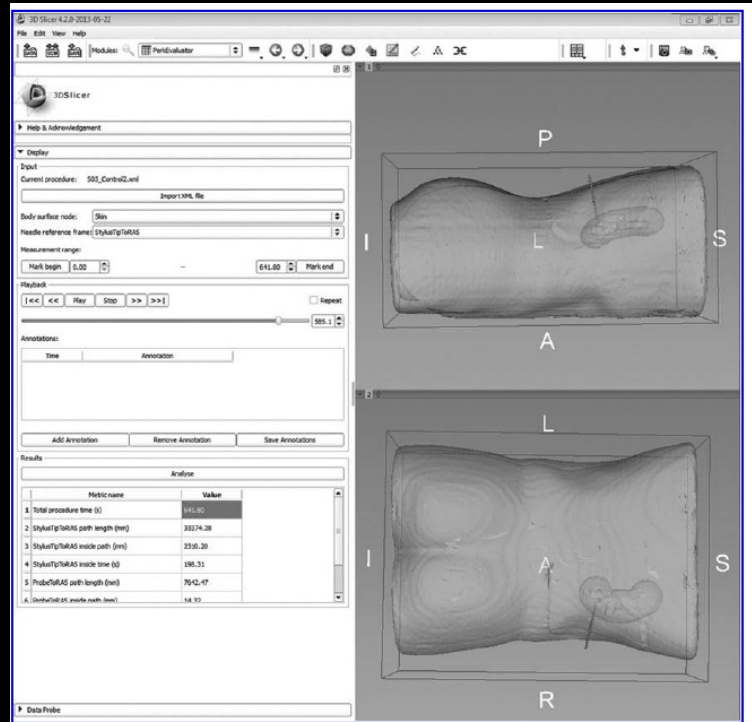
Καθοδήγηση της παρακέντησης **SonixGPS**

JOURNAL OF ENDouroLOGY
Volume 28, Number 9, September 2014
© Mary Ann Liebert, Inc.
Pp. 1040-1045
DOI: 10.1089/end.2014.0011

Imaging and Noninvasive Therapy

Tracked Ultrasonography Snapshots Enhance Needle Guidance for Percutaneous Renal Access: A Pilot Study

Tamas Ungi, MD, PhD¹, Darren Beiko, MD, MBA, FRCSC,² Michael Fuoco, MD,² Franklin King, BSc,¹
Matthew S. Holden, MSc,¹ Gabor Fichtinger, PhD¹, and D. Robert Siemens, MD, FRCSC²



Επιτυχής τοποθέτηση
νεφροστομιών από άπειρο
χειριστή σε μοντέλο
εκπαίδευσης

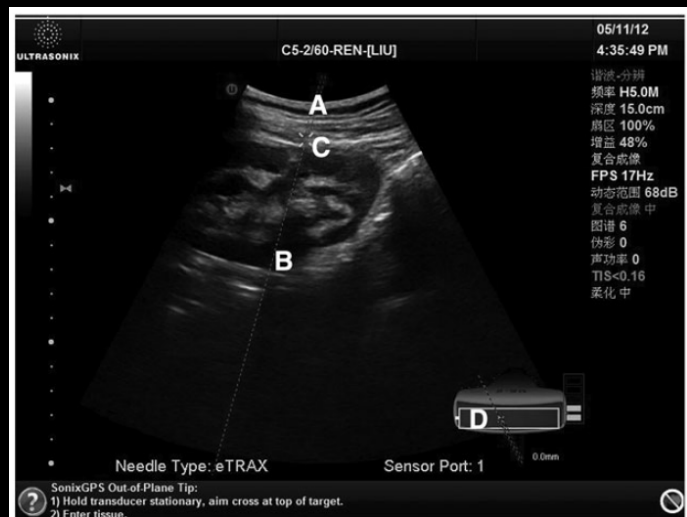
Καθοδήγηση της παρακέντησης

JOURNAL OF ENDOUROLOGY
Volume XX, Number XX, XXXX 2014
© Mary Ann Liebert, Inc.
Pp. ■■■■■
DOI: 10.1089/end.2014.0302

Technology

Real-Time Ultrasonography-Guided Percutaneous Nephrolithotomy Using SonixGPS Navigation: Clinical Experience and Practice in a Single Center in China

Ruipeng Li, MD, Tao Li, MD, Xiaoqiang Qian, MD, Jun Qi, MD, Dapeng Wu, MD, and Jianhe Liu, MD



- SonixGPS ηλεκτρομαγνητική βελόνα καθοδήγησης
- Πρώτα κλινικά περιστατικά ($n=25$)
- Χαμηλό ποσοστό επιπλοκών
- Ασφαλές, αξιόπιστο και εύκολο στην εκτέλεση

Βασισμένη σε σημάδια, καθοδηγούμενη με iPad παρακέντηση του πυελοκαλυκικού συστήματος

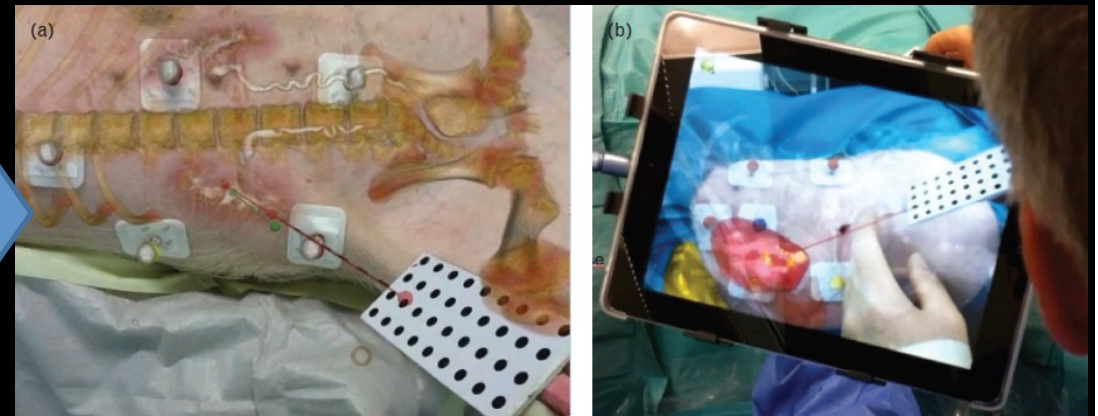
1. Χρωματιστά σημάδια τοποθετούνται επί του ασθενούς πριν την αξονική τομογραφία.
 2. 3D ανακατασκευή
 3. Η κάμερα του iPad εντοπίζει τα σημάδια στο δέρμα του ασθενούς και προβάλει τα 3D δεδομένα επί της εικόνας της κάμερας
- *Κλινικά δεδομένα (2pts)



Εξέλιξη:

Συνδυασμός καθοδηγούμενης με iPad πλοήγησης με εντόπιση της φοράς της βελόνας παρακέντησης:

Η ιδανική γραμμή παρακέντησης παρουσιάζεται στην οθόνη μαζί με την πραγματική



Rassweiler et al. Eur Urol. 2012 Mar;61(3):628-31

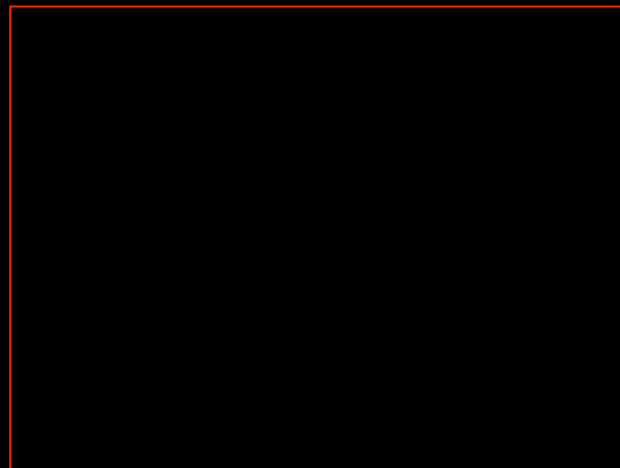
Καθοδήγηση της παρακέντησης

[BJU Int.](#) 2014 Oct 7. doi: 10.1111/bju.12948. [Epub ahead of print]

Three-dimensional navigation system integrating position-tracking technology with movable tablet display for percutaneous targeting.

[Marien A¹](#), [De Castro Abreu AL](#), [Desai M](#), [Azhar RA](#), [Chopra S](#), [Shoji S](#), [Matsuhashi T](#), [Nakamoto M](#), [Gill IS](#), [Ukimura O](#).

- Νεκροτομική μελέτη
- Εμφύτευση οδηγών σημαδίων
- Προεγχειρητική αξονική τομογραφία
- Αισθητήρας της θέσης της βελόνας
- Με τη κίνηση του tablet → μετακινείται και η εικόνα → σαφής αντίληψη της ανατομίας



Καθοδήγηση της παρακέντησης 3D real time electromagnetic tracking for PCNL puncture:



- Ουρητηρικός καθετήρας με EMT αισθητήρα που δουλεύει ως εντοπιστής του στόχου
- EMT Aurora βελόνα
- Ακριβής, απλή

*μόνο πειραματικά δεδομένα

Rodrigues et al. J Urol 2013;190(5):1932-7

Μείωση των διαστάσεων των εργαλείων

Standard=> mini=> ultra-mini=>micro PCNL



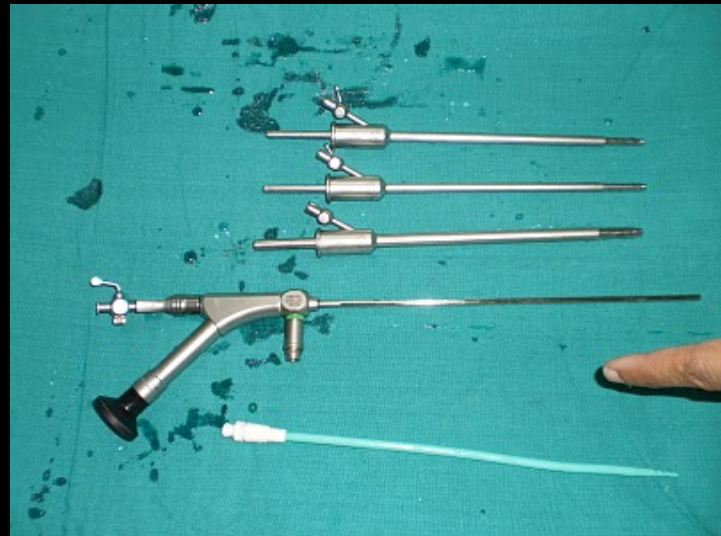
...είναι η nano PCNL επόμενη;

Mini-PCNL (miniPERC)

- Παρουσιάστηκε πριν 15 χρόνια (13Fr) για να μειωθεί η νοσηρότητα

Jackman World J Urol. 1998;16(6):371-4.

- Θηκάρι <18 Fr



Τελικά μειώνεται η νοσηρότητα? Εκρεμεί η απάντηση

Μη σημαντικές διαφορές στη νοσηρότητα

- mini Perc (93) vs PCNL (72)
- mini Perc (56) vs PCNL (66)

Li et al. Urology. 2010 Jan;75(1):56-61.

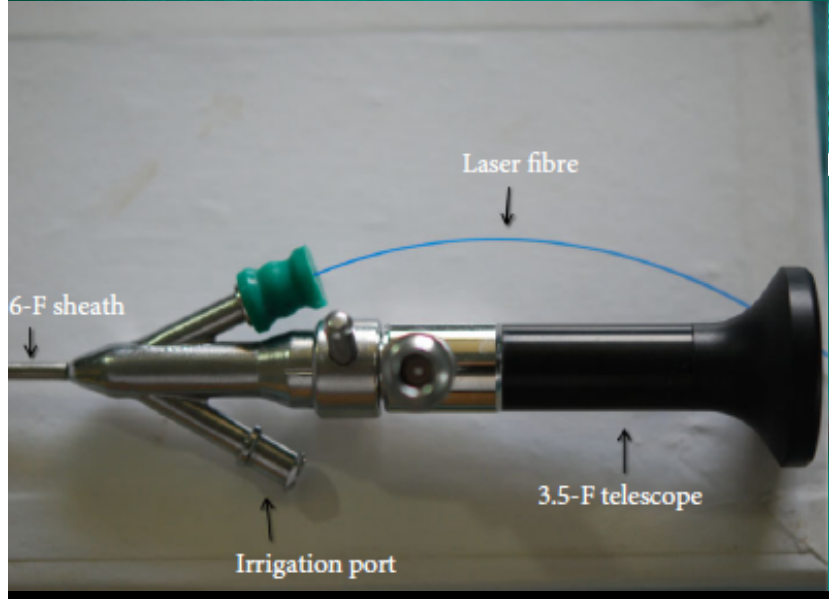
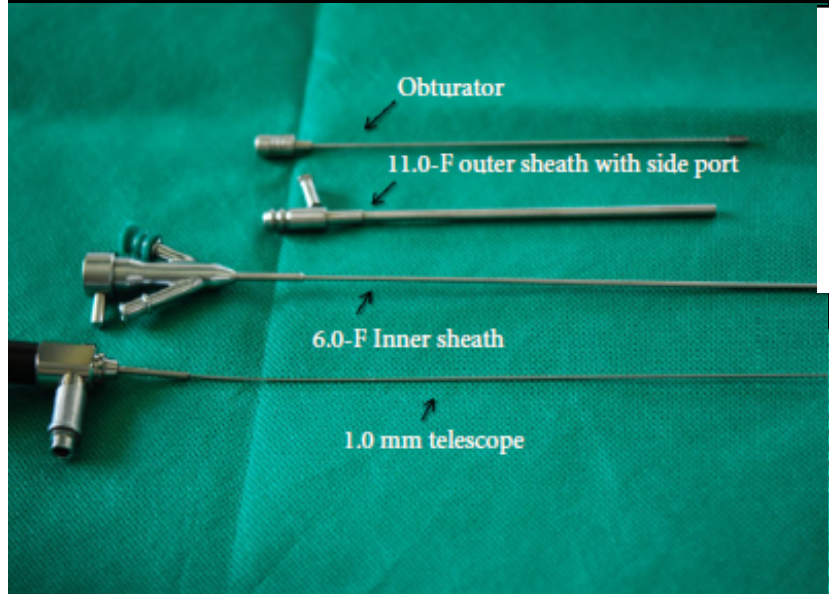
Zhong Nan Da Xue Xue Bao Yi Xue Ban. 2012;37(8):840-3

Μη σημαντικές διαφορές στη νοσηρότητα

- mini Perc (69) vs PCNL (111) Bleeding necessitating transfusion (1.4% vs. 10.4%!!)

J Endourol. 2010 Oct;24(10):1579-82

Ultra-mini PCNL (11-13Fr)



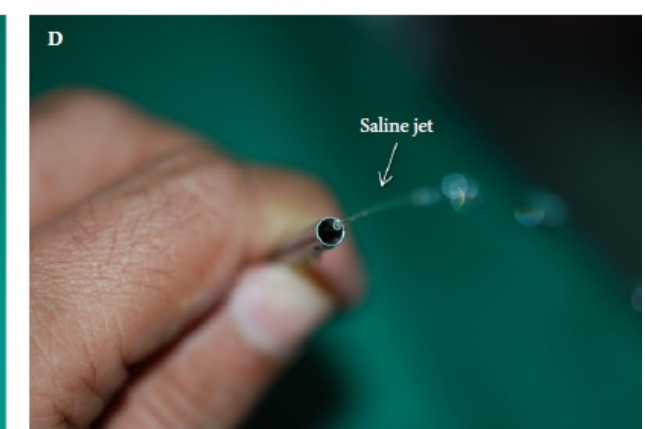
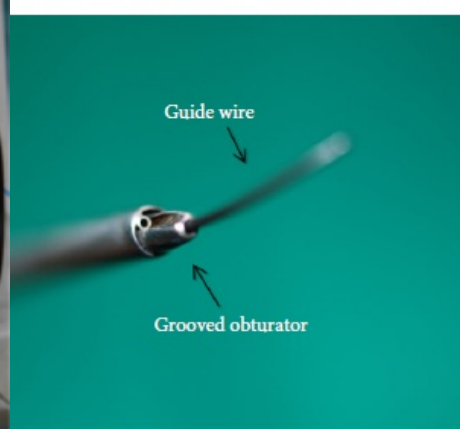
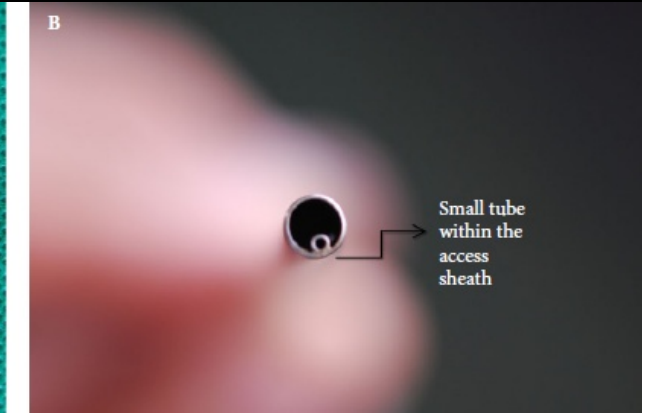
Step-by-Step

BJUI
BJU International

Ultra-mini percutaneous nephrolithotomy (UMP): one more armamentarium

Janak Desai and Ronak Solanki

BJU Int 2013; 112: 1046-1049



Ultra-mini PCNL (11-13Fr)

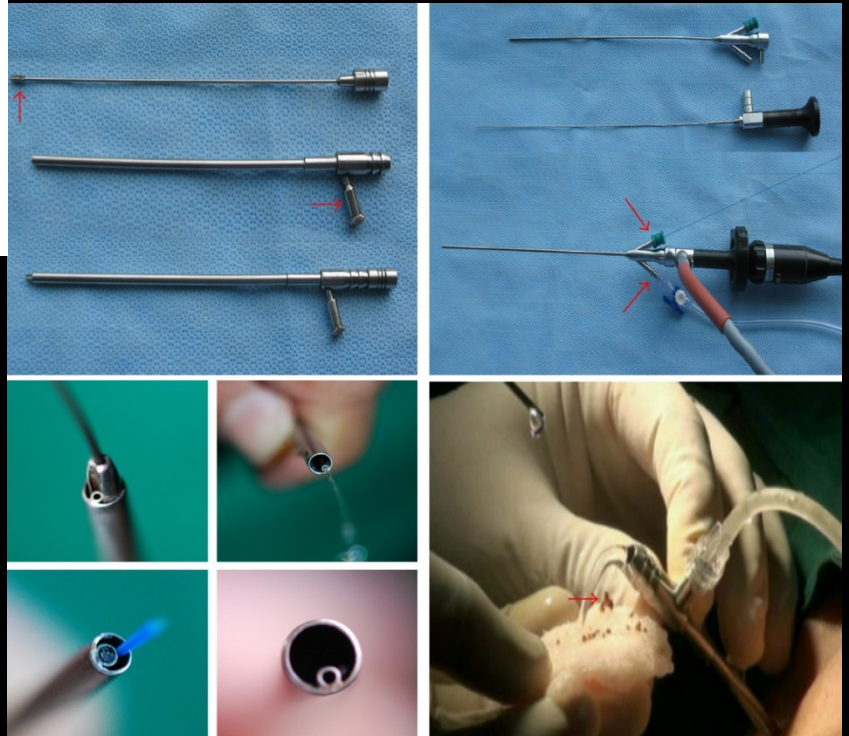
World J Urol
DOI 10.1007/s00345-015-1489-4

ORIGINAL ARTICLE

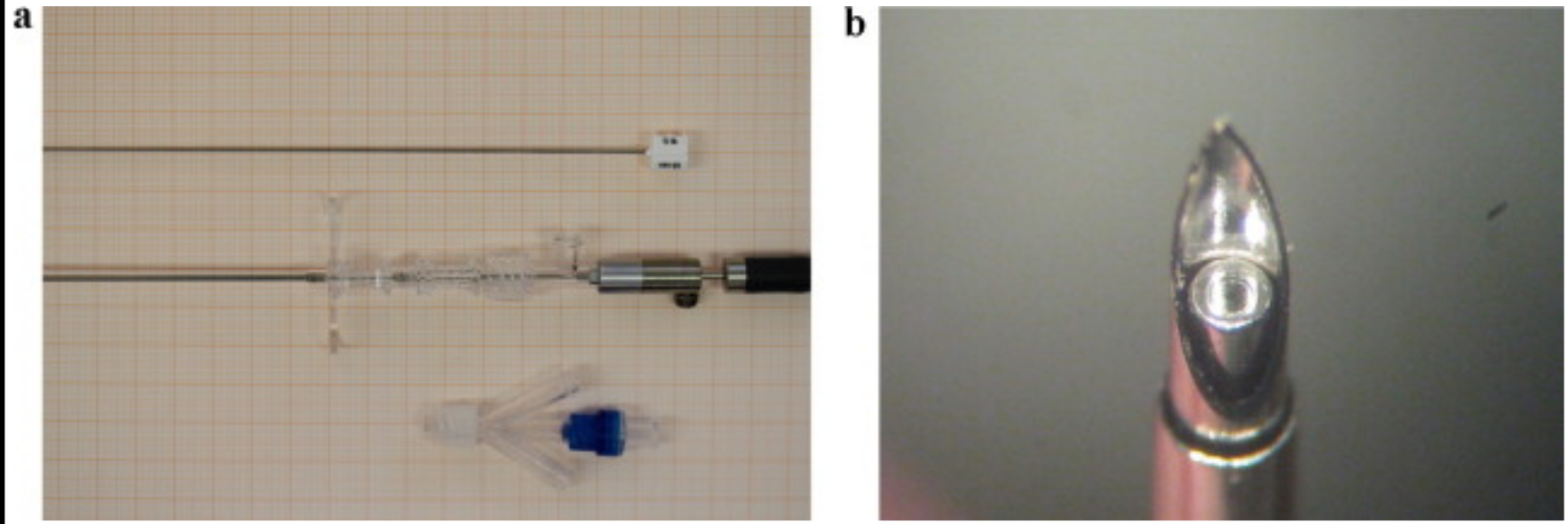
Ultra-mini PCNL versus flexible ureteroscopy: a matched analysis of treatment costs (endoscopes and disposables) in patients with renal stones 10–20 mm

Martin Schoenthaler · Konrad Wilhelm · Simon Hein · Fabian Adams · Daniel Schlager · Ulrich Wetterauer · Azad Hawizy · Andreas Bourdoumis · Janak Desai · Arkadiusz Miernik

- Μίνι νεφροσκόπιο (6Fr) διαμέσου 11–13Fr θηκαριού
- Αρχική αξιολόγηση 36 patients
- Ασφαλές
- Αποτελεσματικό για λίθους <20mm
- Χαμηλότερο το κόστος της Ultra-mini PCNL



Micro PCNL με τη βελόνα «που τα βλέπει όλα» «ALL-SEEING» NEEDLE



Markus et al. Eur. Urol 2009;59(6): 1054-1059

- Micro-optic τοποθετείται στο θηκάρι μιας 16G βελόνας.
- Η επέμβαση γίνεται με **4.85-Fr** όδο.
- Λίγες μελέτες δείχνουν αποτελεσματικότητα



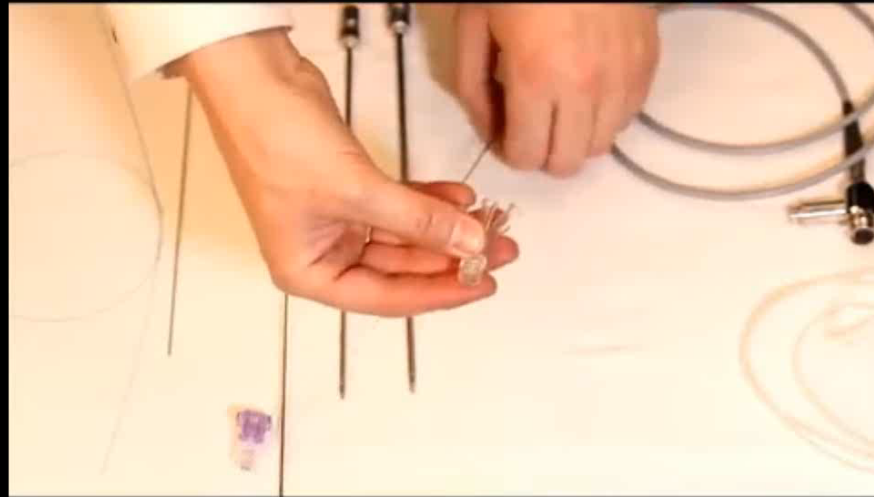
More recent (largest) study: 136 patients

- 82% stone free rates
- Convention to mini-PCNL in 12 patients
- JJ stenting post-op in 6.5% of cases

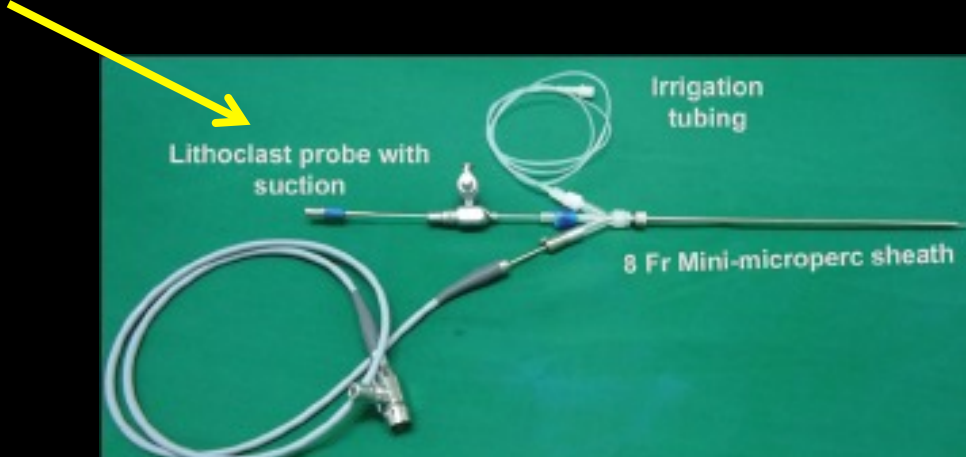
Hatipoglu et al. Urolithiasis. 2013 Dec 13

Micro PCNL with THE «ALL-SEEING» NEEDLE

MediKimVideoShare's channel



Mini, ultra-mini, micro, pico, nano... Τι είναι αυτό? Ένα πάζλ ονοματολογίας!



Urolithiasis (2013) 41:367–368
DOI 10.1007/s00240-013-0578-3

LETTER TO THE EDITOR

Standard, mini, ultra-mini, and micro percutaneous nephrolithotomy: what is next? A novel labeling system for percutaneous nephrolithotomy according to the size of the access sheath used during procedure

Abdulkadir Tepeler · Kemal Sarica

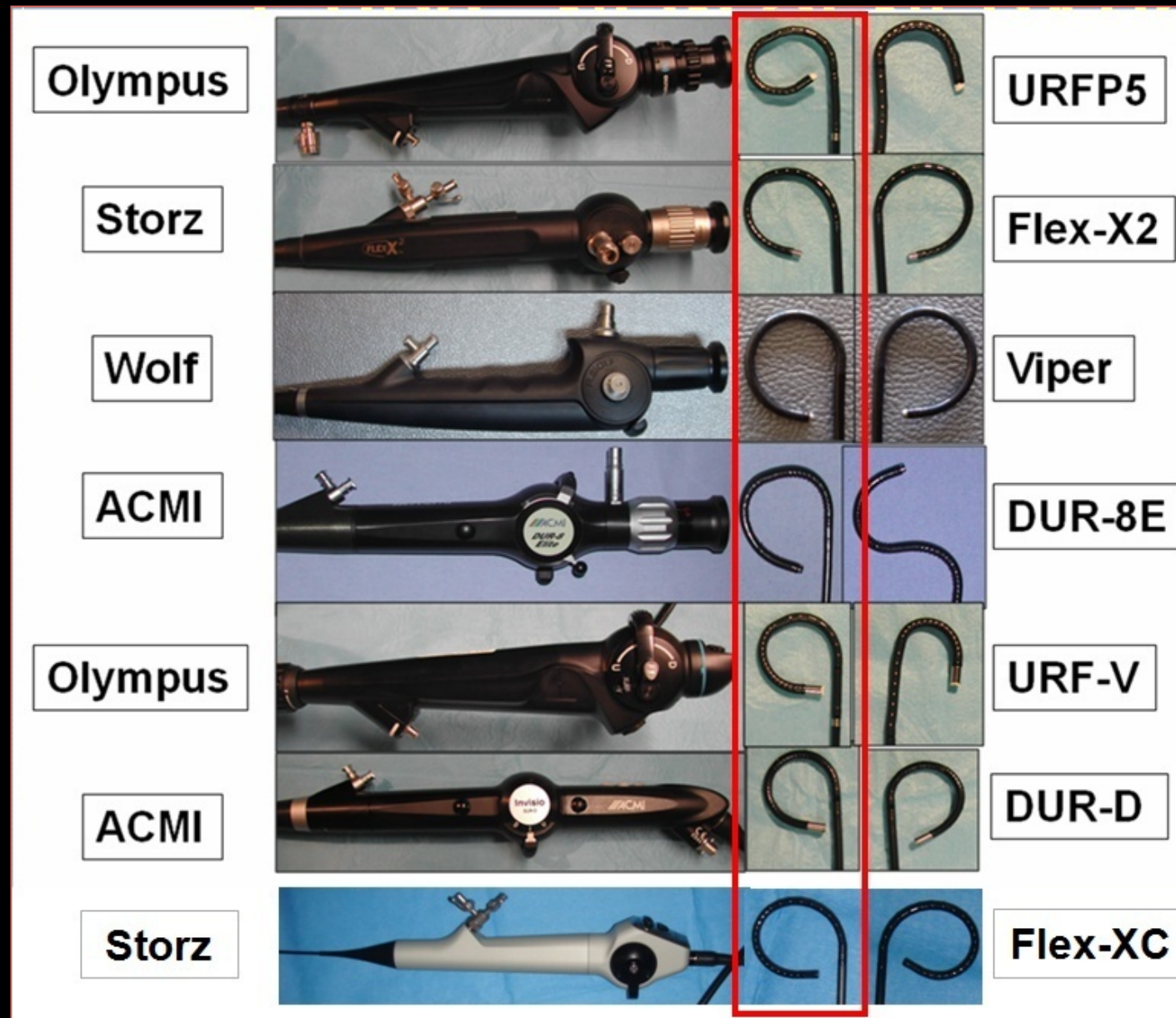
To overcome this problem we suggest using a novel labeling system for PNL procedure according to the size of the tract: $\text{PNL}^{+\text{size}}$. For example: PNL^{+20} , PNL^{+30} , PNL^{+12} , etc.

Εξελίξεις στην εύκαμπτη
νεφροουρητηροσκόπηση

Εύκαμπτη νεφρουρητηροσκόπηση: Η εποχή του High Definition

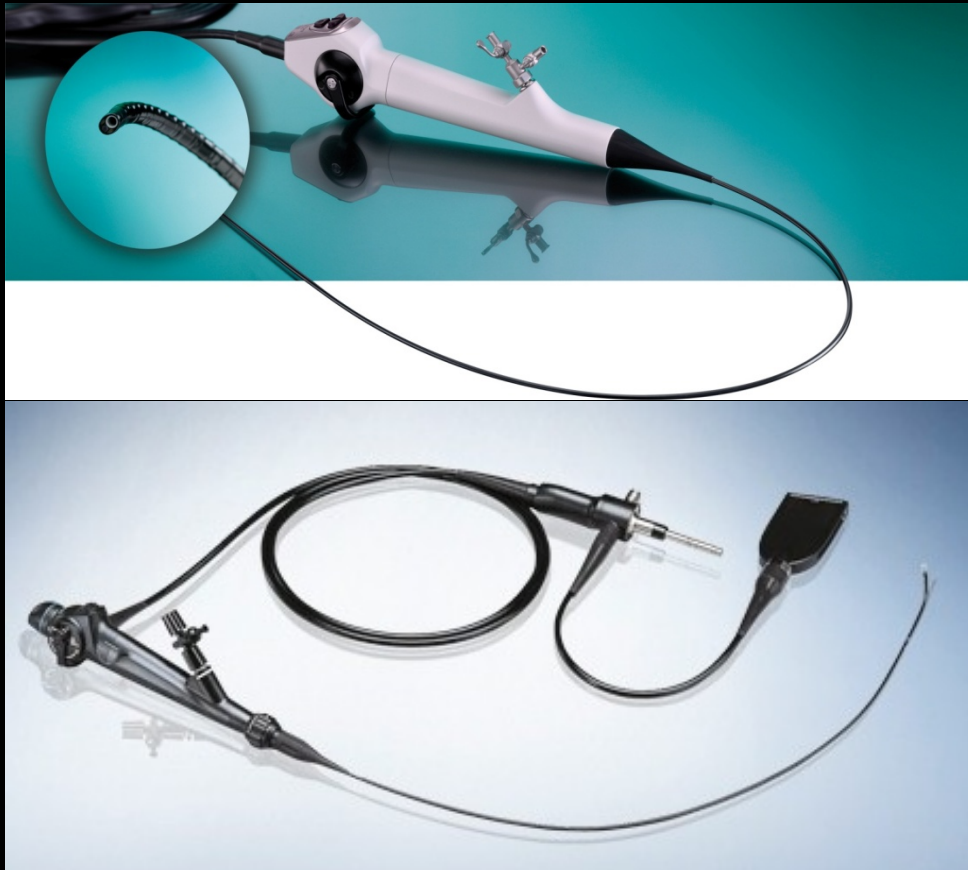


Η εξέλιξη των Εύκαμπτων ουρητηροσκοπίων



By Dr O. Traxer

Βίντεο ουρητηρονεφροσκόπια- Digital



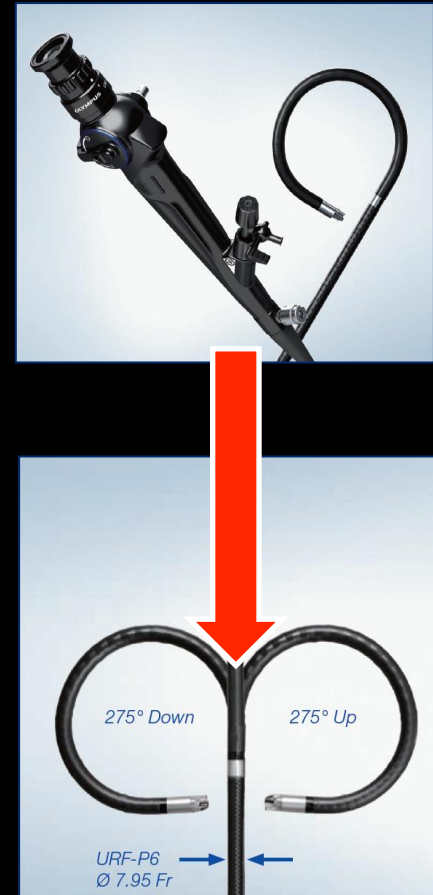
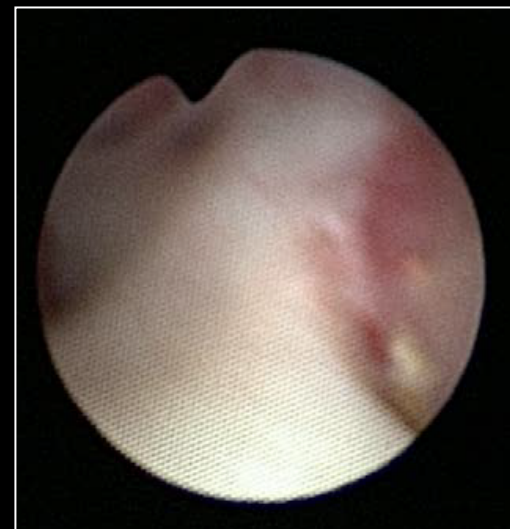
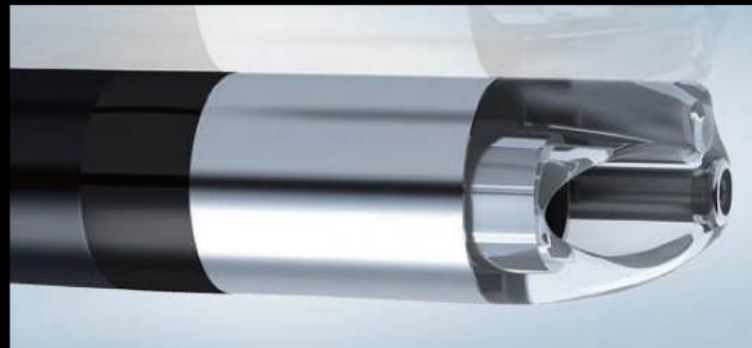
FLEX-XC

URF-V*

**enables Narrow Band Imaging observation.*

- Η μικρότερη δυνατή διάμετρος
- Μέγιστη ευκαμψία
- Βελτιώμενη ποιότητα εικόνας

Fiber Optic vs Digital scopes : URF-P6



Olympus URF-P6

Σύγκριση συμβατικής με ψηφιακή ποιότητα εικόνας

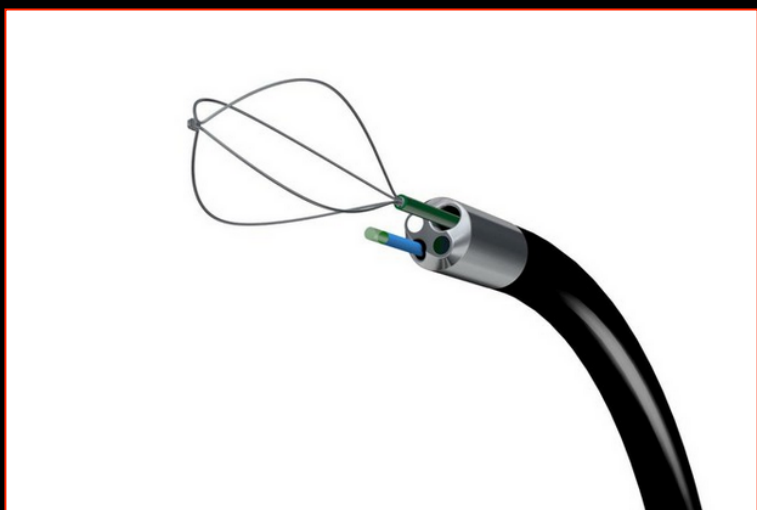
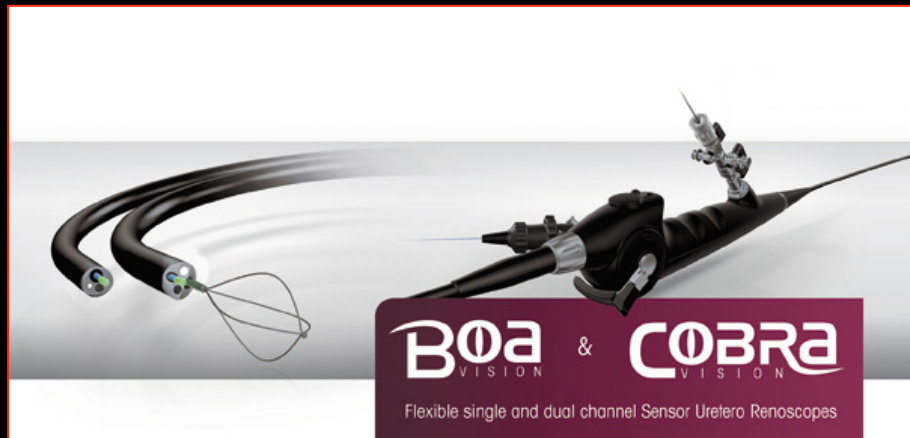


< ZOOM >



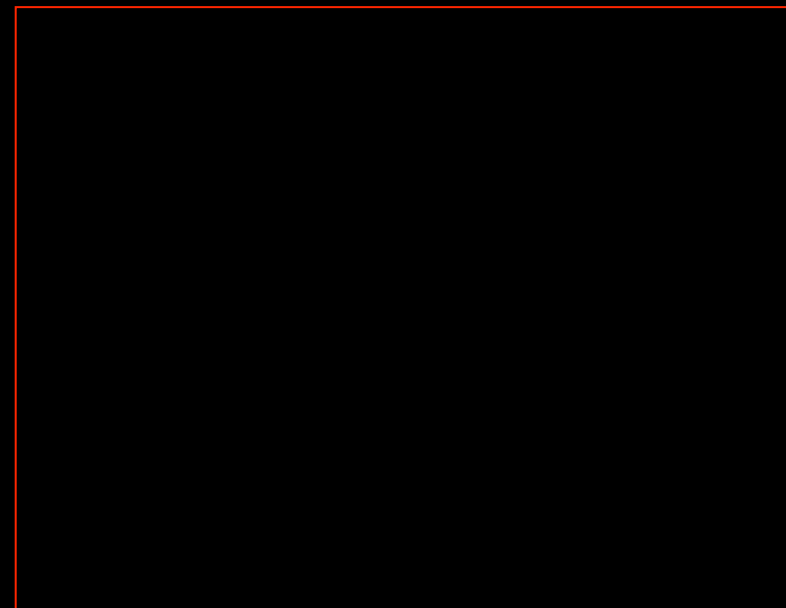
x 1

Μικρότερο μέγεθος 7.9F
Διπλό κανάλι εργασίας (2.4 & 3.3Fr)
Μηχανισμός χειρισμού της ίνας λέιζερ



SPIEs

Storz Professional Image Enhancement System
Clara; Chroma; Clara-Chroma; Spectra A; SpectraB

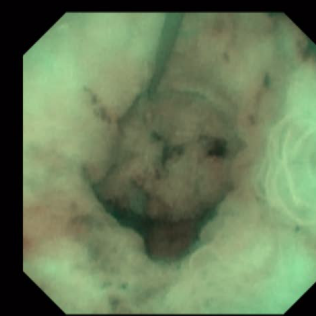
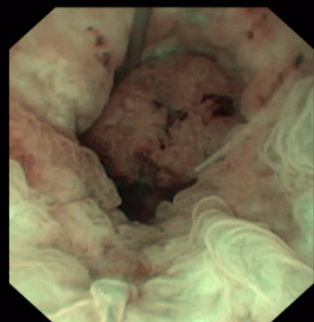


FURS-NBI V1 versus V2

URF-V



URF-V2



Αναλώσιμα εύκαμπτα ουρητηροσκόπια



Αναλόσιμα εύκαμπτα ουρητηροσκόπια

- Ε π i τ ρ é π ε i τ η ν πραγματοποίηση επεμβάσεων σε περιπτώσεις που ένα εύκαμπτο ουρητηροσκόπιο δεν είναι διαθέσιμο.
- Οικονομικά συμφέρον σε κέντρα με μικρό όγκο περιστατικών–ΕΚΠΑΙΔΕΥΣΗ
- Δεν απαιτείται αποστείρωση – Μειώνει τον κίνδυνο μετάδοσης νόσεων

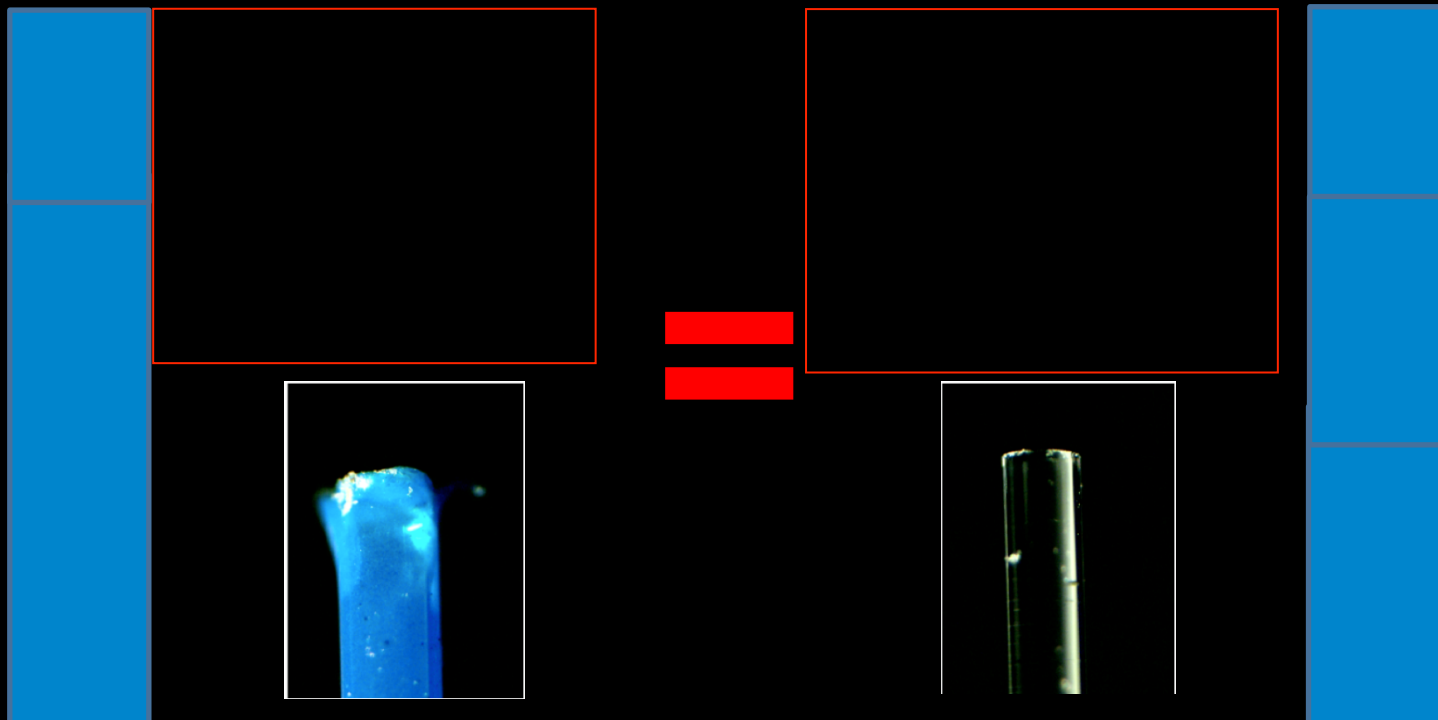


Ενδοσκοπική άποψη με
Flexor-Vue

Ίνα Λειζερ: κόλπα ?

Μεταλλικό ψαλίδι

Κεραμικό ψαλίδι και
απογυμνωμένη ίνα



Are We All Doing It Wrong? Influence of Stripping and Cleaving Methods of Laser Fibers on Laser Lithotripsy Performance

Peter Kronenberg* and Olivier Traxert

J Urol. 2014

Συχνότητα, Ενέργεια... & Διάρκεια παλμού



Energy

Ίδια συχνότητα και ενέργεια, διαφορές στη διάρκεια του παλμού



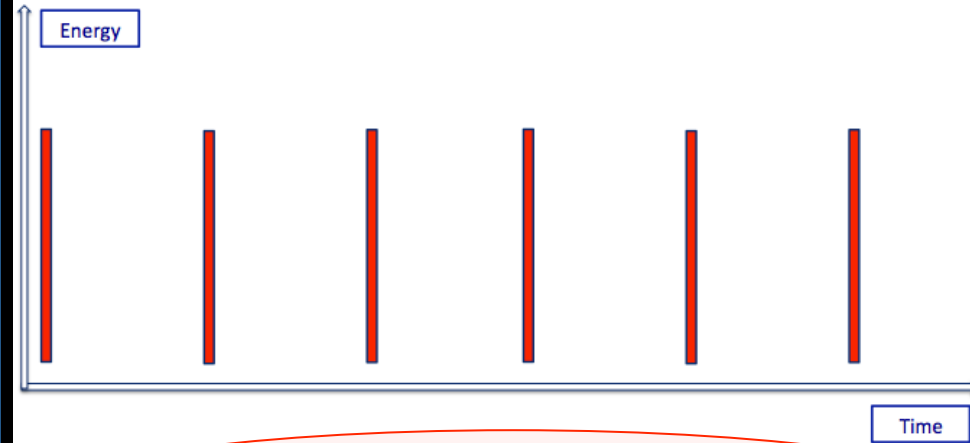
Χρόνος

Διάρκεια παλμού: Βραχύς ή Μακρύς

Κατακερματισμός λίθου

Θραύσματα

Frequency, Energy... & Pulse Duration



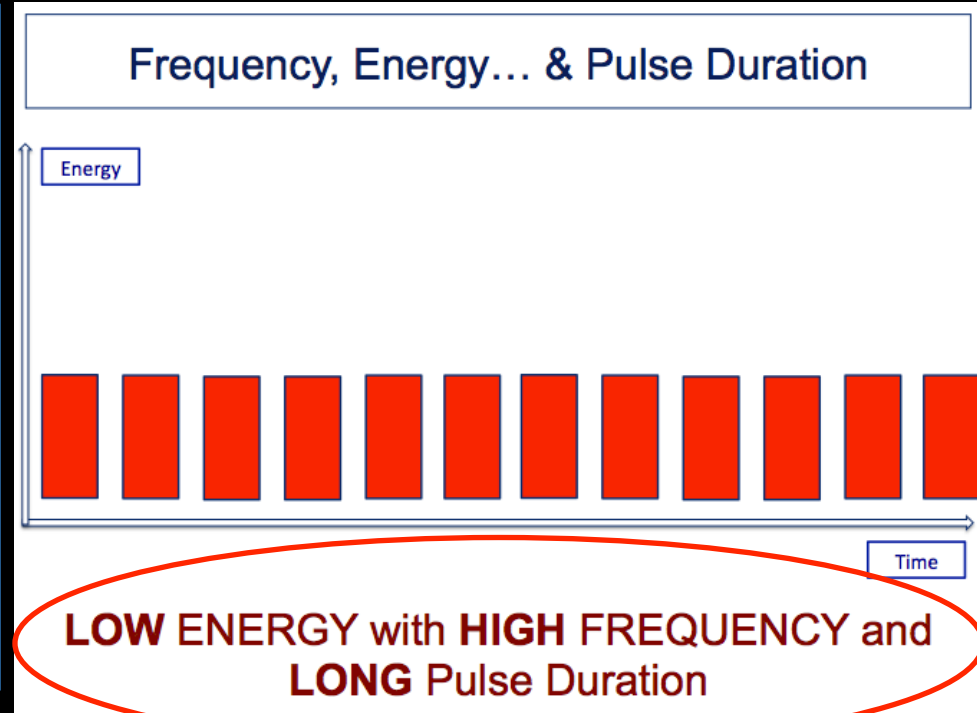
**HIGH ENERGY with LOW FREQUENCY and
SHORT Pulse Duration**

1,5 J – 4 Hz – 200μsec

Power : 6 W

Κονιορτοποίηση λίθου

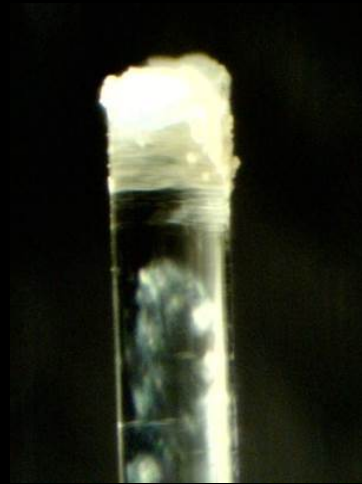
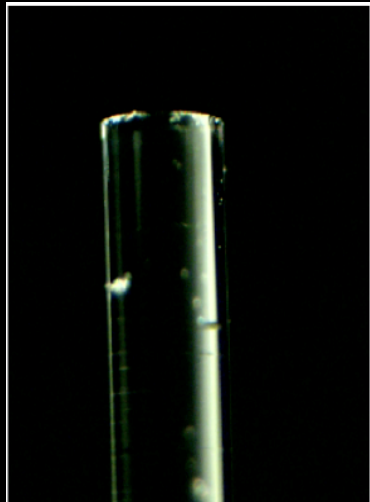
Σκόνη



0,3 J – 20 Hz – 800μsec

Power : 6 W

Φθορά της ίνας λέιζερ



Περισσότερη φθορά

- Υψηλή ενέργεια
- Σκληρός λίθος
- Βραχεία διάρκεια παλμού

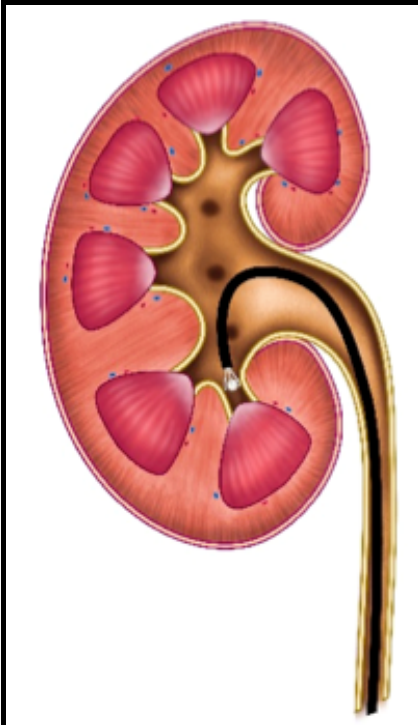
Λιγότερη φθορά

- Χαμηλή ενέργεια
- Μαλακός λιθος
- Μακρά διάρκεια παλμού

Άκρο της ίνας λειζερ: Normal ή BallTip

Mean Fragmentation Volume
(mm³)

NO !



YES !



p = 0.72

Τι περιμένουμε στο μέλλον?

To ROBOT ?!



EUROPEAN UROLOGY 66 (2014) 1092–1100

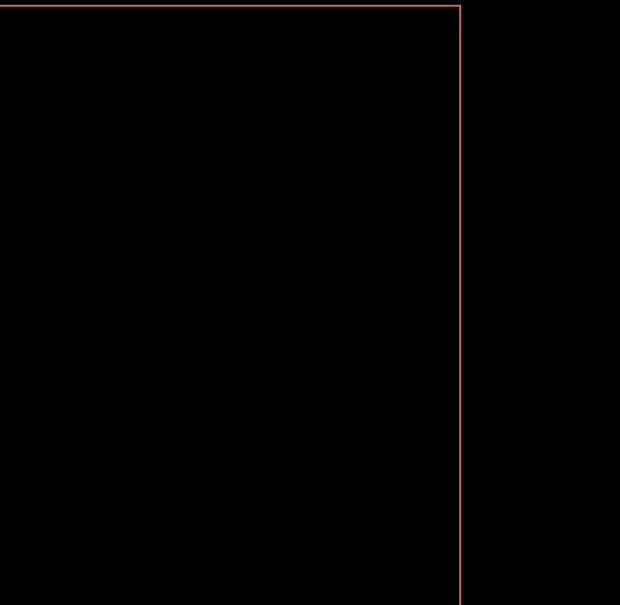
available at www.sciencedirect.com
journal homepage: www.europeanurology.com

eau
European Association of Urology

Surgery in Motion

A New Robot for Flexible Ureteroscopy: Development and Early Clinical Results (IDEAL Stage 1–2b)

Remzi Saglam^a, Ahmet Yaser Muslimanoglu^b, Zafer Tokath^a, Turhan Çaşkurlu^c,
Kemal Sarica^d, Ali İhsan Taşçı^e, Bülent Erkurt^f, Evren Süer^g, Ahmet Sinan Kabakci^h,
Glenn Premingerⁱ, Olivier Traxer^j, Jens J. Rassweiler^{k,l,*}

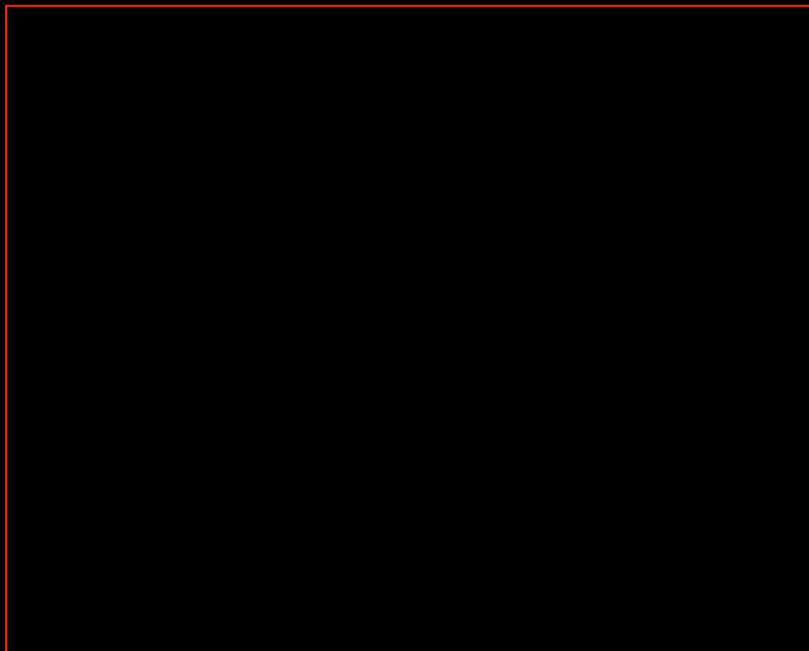


ΣΥΝΔΥΑΣΜΟΣ ΕΝΔΟΣΚΟΠΙΚΩΝ ΤΕΧΝΙΚΩΝ

Ενδοσκοπική συνδυασμένη ενδονεφρική Χειρουργική Endoscopic Combined IntraRenal Surgery (ECIRS)

Η εξέλιξη στην τεχνολογία επέτρεψε:

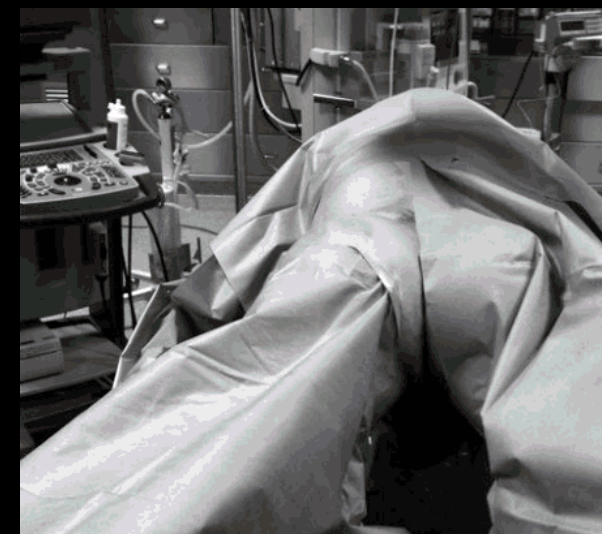
- Το συνδυασμό διαδερμικής και ουρητηροσκοπικής πρόσβασης
- Πρηνή ή ύπτια θέση



Video by Dr Scuffone



Galdakao-τροποποιημένη ύπτια Valdivia θέση



Με τα πόδια σε απαγωγή πρηνή θέση

Ενδοσκοπική συνδυασμένη ενδονεφρική Χειρουργική

- Χαμηλή ποιότητα δεδομένων

The screenshot shows a PubMed search results page. The search term 'ECIRS' was entered into the search bar. The results section displays 11 items. The first result is a study by Hamamoto et al. (2015) titled 'Efficacy of endoscopic combined intrarenal surgery in the prone split-leg position for staghorn calculi'. The PMID for this study is 24967643.

NCBI Resources How To

PubMed ECIRS

RSS Save search Advanced

Article types Clinical Trial Review Customize ...

Text availability Abstract Free full text Full text

Publication dates 5 years 10 years

Display Settings: Summary, 20 per page, Sorted by Recently Added

Send to:

Results: 11

Did you mean: **ecris** (80 items)

Efficacy of endoscopic combined intrarenal surgery in the prone split-leg position for staghorn calculi

1. Hamamoto S, Yasui T, Okada A, Koiwa S, Taguchi K, Itoh Y, Kawai N, Hashimoto Y, Tozawa K, Kohri K. J Endourol. 2015 Jan;29(1):19-24. doi: 10.1089/end.2014.0372. PMID: 24967643 [PubMed - in process]

Related citations

- (+) Μειωμένη ανάγκη για επιπρόσθετες προσβάσεις
- (+) Πιθανώς καλύτερο αποτέλεσμα στην κάθαρση των λιθων
- (-) Ακριβή, ανάγκη για 2 ουρολόγους

Endoscopic Combined Intrarenal Surgery for Large Calculi: Simultaneous Use of Flexible Ureteroscopy and Mini-Percutaneous Nephrolithotomy Overcomes the Disadvantageous of Percutaneous Nephrolithotomy Monotherapy

Shuzo Hamamoto, MD, PhD^{1,2} Takahiro Yasui, MD, PhD¹ Atsushi Okada, MD, PhD¹ Kazumi Taguchi, MD¹
Noriyasu Kawai, MD, PhD¹ Ryosuke Ando, MD, PhD¹ Kentaro Mizuno, MD, PhD¹ Yasue Kubota, MD, PhD¹
Hiroyuki Kamiya, MD, PhD² Keiichi Tozawa, MD, PhD¹ and Kenjiro Kohri, MD, PhD¹

Prospective non randomized study
mini-ECIRS (60), mini-PCNL-18Fr (19), conventional-PCNL-30Fr (82)

	Mini-ECIRS	Mini-PCNL	Con-PCNL	P value
Side				n.s.
Right (%)	21 (33)	5 (26)	22 (37)	
Left (%)	39 (67)	14 (74)	60 (63)	
Maximum size (mm)	39.2±2.6	38.4±5.8	34.6±2.3	n.s.
Mean CT density (HU)	1043.7±36.2	1121.1±94.6	903.8±50.2	n.s.
No. of staghorn calculi (%)	33 (55)	6 (32)	18 (22)	< 0.001

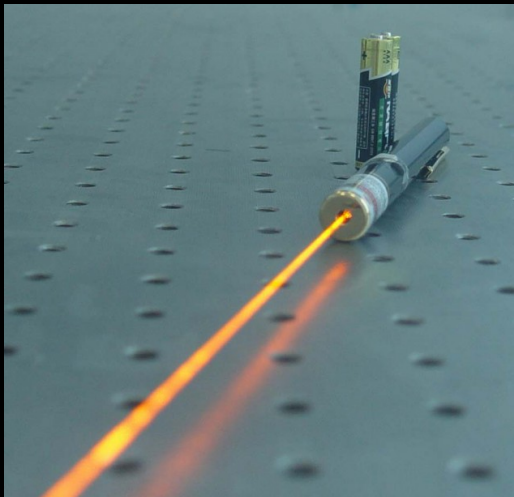
Μέγαλοι λίθοι-περισσότεροι κοραλλιοειδείς λίθοι

	Mini-ECIRS	Mini-PCNL	Con-PCNL	P value
Total length operation (min)	120.5±6.7	181.9±15.5	134.1±7.8	<0.001
Hb drop (g/dL)	1.06±0.15	1.10±0.13	1.64±0.19	0.011
Hct drop (%)	2.33±0.41	2.31±0.53	4.22±0.94	0.005
eGFR drop (ml/min./1.73m ²)	2.50±2.39	1.19±1.34	3.09±0.98	n.s.
Hospital stay	7.0±0.6	8.3±0.6	12.9±1.4	0.033
Initial stone free (%)	49 (81.7)	7 (38.9)	37 (45.1)	<0.001

Ταχύτερη

Πιο αποτελεσματική

Λέιζερ στην αντιμετώπιση της υποκυστικής απόφραξης



- Holmium laser : ώριμα δεδομένα
- Greenlight : 180W
- Thulium : ο νέος παίκτης (ως 200W)

Holmium laser : Ωριμα δεδομένα Πιθανώς το πιο καλά τεκμηριωμένο λέιζερ

Τυχαιοποιημένη μελέτη: Η HoLEP αντίστοιχο της TURP μακροπρόθεσμα (7 years) με λιγότερες επανεγχειρήσεις.

Gilling et al. BJU Int. 2012;109(3):408-11

Εμπειρία με περισσότερες από 1,000 HoLEP: ασφαλής και αποατελεσματική μέθοδος με χαμηλές επιπλοκές. Επιπρόσθετες επεμβάσεις είναι σπάνιες και τα αποτελέσματα διαρκούν κατά την παρακολούθηση που φτάνει τα 5 χρόνια.

Kramberc et al. J Urol. 2013;189(1 Suppl):S141-5.

EAU Guidelines on Laser Technologies

EUROPEAN UROLOGY 61 (2012) 783–795

HoLEP can be offered to any patient with BOO and BPE.	1a	A
HoLEP can be offered to patients in chronic urinary retention.	2b	B
HoLEP can be offered to patients on anticoagulant or antiplatelet medication.	2b	B



180W GreenLight XPS

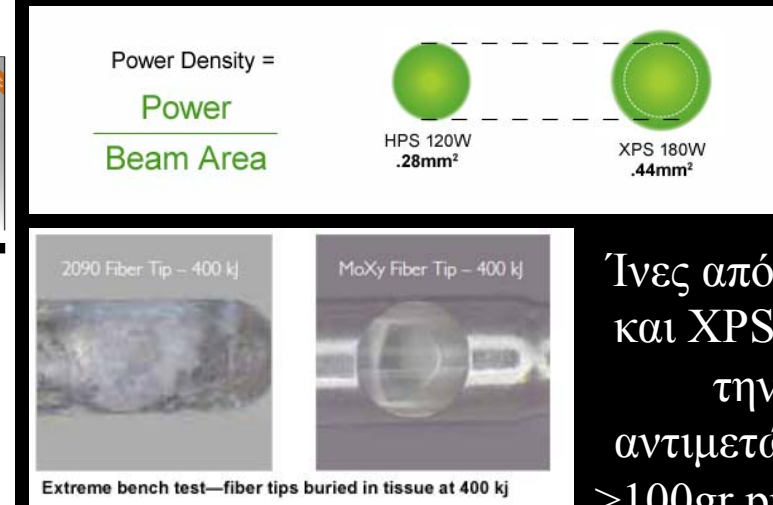
EUROPEAN UROLOGY 65 (2014) 931–942

available at www.sciencedirect.com
journal homepage: www.europeanurology.com

eau
European Association of Urology

Platinum Priority – Benign Prostatic Obstruction
Editorial by Charalampos Mamoulakis on pp. 943–945 of this issue

180-W XPS GreenLight Laser Vaporisation Versus Transurethral Resection of the Prostate for the Treatment of Benign Prostatic Obstruction: 6-Month Safety and Efficacy Results of a European Multicentre Randomised Trial—The GOLIATH Study



Ίνες από LBO
και XPS μετά
την
αντιμετώπιση
>100gr prostate

GreenLight™ Laser (XPS) Photoselective Vapo-Enucleation versus Holmium Laser Enucleation of the Prostate for the Treatment of Symptomatic Benign Prostatic Hyperplasia: A Randomized Controlled Study

Ahmed M. Elshal, Mohamed A. Elkoushy, Ahmed R. El-Nahas, Ahmed M. Shoma, Adel Nabeeh, Serge Carrier and Mostafa M. Elhilali*,†

Vol. 193, 927-934, March 2015

Σε σειρά κλινικών παραμέτρους IPSS,
PVR, επιπλοκές:

- Το XPS δεν είναι κατώτερο της TURP
- Το XPS είναι συγκρίσιμο του HoLEP



Thulium laser: Ο νέος παίκτης

- Ασφαλές και αποτελεσματικό με χαμηλό ποσοστό επιπλοκών σε 100 μεγάλους προστάτες κατά τη διάρκεια παρακολούθησης 18 μηνών.

Wei et al. Lasers Med Sci. 2013 Sep 12.

- Σταθερά αποτελεσμέτα κατά τη διάρκεια παρακολούθησης 4 ετών. *Cui et al. World J Urol. 2013 Aug 3*
- Ασφαλές για ασθενείς με αντιαιμοπεταλιακή ή αντιπηκτική θεραπεία. *Macchione. Int Urol Nephrol. 2013;45(6):1545-51.*

EAU Guidelines on Laser Technologies

EUROPEAN UROLOGY 61 (2012) 783–795

Recommendations	LE	GR
ThuVARP is an alternative to TURP for small and medium-sized prostates.	1b	A
ThuVARP and ThuVEP are suitable for patients who are at risk of bleeding or who are taking anticoagulant medication.	3b	C
ThuVEP can be offered as an alternative to TURP, to HoLEP and OP for patients with large-sized prostates.	1b, 2b	B

Early Outcomes of Thulium Laser Versus Transurethral Resection of the Prostate for Managing Benign Prostatic Hyperplasia: A Systematic Review and Meta-Analysis of Comparative Studies

Μέτα-ανάλυση: 9
συγκριτικές μελέτες
ThuLep vs TURP

PERIOPERATIVE OUTCOMES		POSTOPERATIVE EFFICACY	
Outcome of interest	Favors	Outcome of interest	Favors
Operative time, min TmLRP vs M-TURP	TURP	Qmax (mL/s) 1 month	None
TmLRP vs B-TURP	TURP	3 months	None
Total	TURP	6 months	None
Serum sodium decreased, TmLRP vs M-TURP	TmLRP	12 months	None
Serum hemoglobin decreased, TmLRP vs M-TURP	TmLRP	TmLRP vs M-TURP	None
TmLRP vs B-TURP	None	TmLRP vs B-TURP	None
Total	TmLRP	Total	None
Catheterization, days TmLRP vs M-TURP	TmLRP	PVR (mL) 1 month	None
TmLRP vs B-TURP	TmLRP	3 months	None
Total	TmLRP	6 months	None
Hospital stay, days TmLRP vs M-TURP	TmLRP	12 months	None
TmLRP vs B-TURP	TmLRP	TmLRP vs M-TURP	None
Total	TmLRP	TmLRP vs B-TURP	None
COMPPLICATIONS		Total	
Outcome of interest	Favors	QoL	TURP
Overall complications TmLRP vs M-TURP	TmLRP	1 month	None
TmLRP vs B-TURP	TmLRP	3 months	None
Total	TmLRP	6 months	None
Blood transfusion	TmLRP	12 months	None
TUR syndrome	TmLRP	TmLRP vs M-TURP	None
Recatheterization	None	TmLRP vs B-TURP	None
Transitory urge incontinence	None	Total	None
Stress incontinence	None	IPSS	
UTI	None	1 month	TmLRP
Retrograde ejaculation	None	3 months	None
Urethral stricture	TmLRP	6 months	None
		12 months	None
		TmLRP vs M-TURP	None
		TmLRP vs B-TURP	None
		Total	None

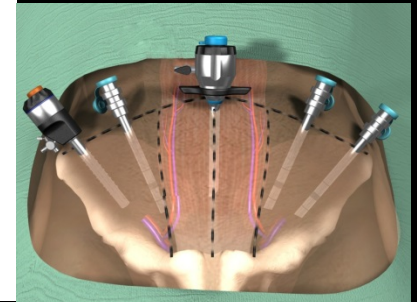
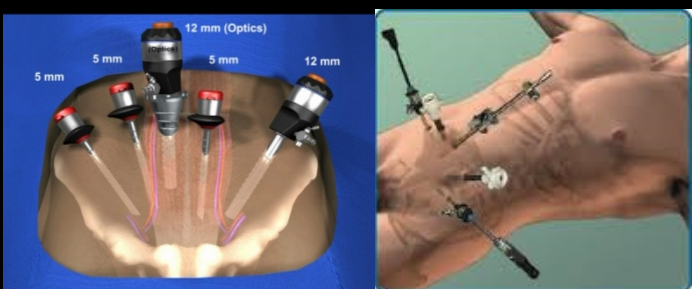
← Μακρύτερος χειρουργικός χρόνος
 ← Όχι TURP-σύνδρομο
 ← Λιγότερη απώλεια αίματος
 ← Συντομότερος καθετηριασμός
 ← Λιγότερη νοσηλεία
 ← Πιο ασφαλές

Αποτελεσματικότητα
όχι διαφορές
μεσοπρόθεσμα

ΛΑΠΑΡΟΣΚΟΠΙΚΗ
ΚΑΙ
ΡΟΜΠΟΤΙΚΗ ΧΕΙΡΟΥΡΓΙΚΗ

Λαπαροσκοπική και Ρομποτική Χειρουργική

- Η υιοθέτηση πρωτοποριακής τεχνολογίας στην απεικόνιση (κάμερες, οπτικές ίνες).
- Εξελιγμένα εργαλεία (ρομποτικό σύστημα, εύκαμπτα εργαλεία).
- Προηγμένα υλικά (Multichannel trocars)
- Η εξέλιξη των ανωτέρω τεχνικών έγινε παράλληλα



- Συνεχείς εξέλιξη με παρουσίαση ακόμα πιο ελάχιστα επεμβατικών μεθόδων – “Scarless” Surgery
- Σημαντική προσπάθεια στη βιβλιογραφία για την ανάδειξη της πιο αποτελεσματικής μεθόδου για κάθε επέμβαση (π.χ. ριζική προστατεκτομή).

Τεχνολογία στην Λαπαροσκοπική Ουρολογία

Μίνι λαπαροσκοπικά εργαλεία

- Αποτελούν βελτιστοποίηση των λαπαροσκοπικών εργαλείων σε ότι αφορά το μέγεθος των εργαλείων
- Χρησιμοποιούνται εδώ και χρόνια στην παιδοχειρουργική
- Προσφέτως ενδιαφέρον στην Ουρολογία με στόχο την ελάχιστα επεμβατική χειρουργική



Urol J. 2012 Winter;9(1):353-5.

Mini-laparoscopic donor nephrectomy: a novel technique.

Simforoosh N¹, Soltani MH, Ahanian A.

BJU Int. 2013 Mar;111(3 Pt B):E121-6. doi: 10.1111/j.1464-410X.2012.11376.x. Epub 2012 Jul 12.

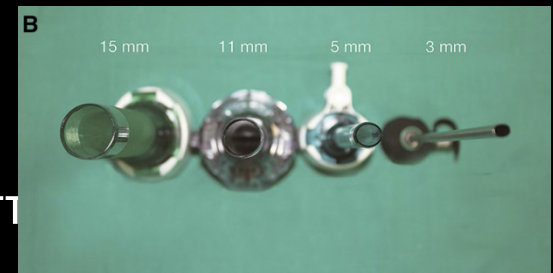
Standard vs mini-laparoscopic pyeloplasty: perioperative outcomes and cosmetic results.

Fiori C¹, Morra I, Bertolo R, Mele F, Chiarissi ML, Porpiglia F.

World J Urol. 2014 Sep 3. [Epub ahead of print]

Mini-laparoscopic live donor nephrectomy with the use of 3-mm instruments and laparoscope.

Breda A¹, Schwartzmann I, Emiliani E, Rodriguez-Faba O, Gausa L, Caffaratti J, de León XP, Villavicencio H.



Διεγχειρητικές δυσκολίες που σχετίζονται με:

- Περιορισμένη δυνατότητα άσκησης τάσης επί των ιστών
- Αύξηση του τρόμου των χεριών

Μίνι λαπαροσκοπικά εργαλεία

[World J Urol](#). 2014 Oct 26. [Epub ahead of print]

Retropubic, laparoscopic and mini-laparoscopic radical prostatectomy: a prospective assessment of patient scar satisfaction.

[Quattrone C¹, Ciccone A, Oliveira C, Autorino R, Cantiello F, Mirone V, De Sio M, Carrubbo L, Damiano R, Pavone C, Lima E.](#)

[Urol J](#). 2014 Jan 4;10(4):1054-8.

Mini-laparoscopic live donor nephrectomy: initial series.

[Simforoosh N¹, Soltani MH², Hosseini Sharifi SH², Ahanian A², Lashay A², Arab D², Zare S².](#)

[Urology](#). 2014 Sep;84(3):596-601. doi: 10.1016/j.urology.2014.04.040. Epub 2014 Jun 28.

Mini-retroperitoneoscopic adrenalectomy: our experience after 50 procedures.

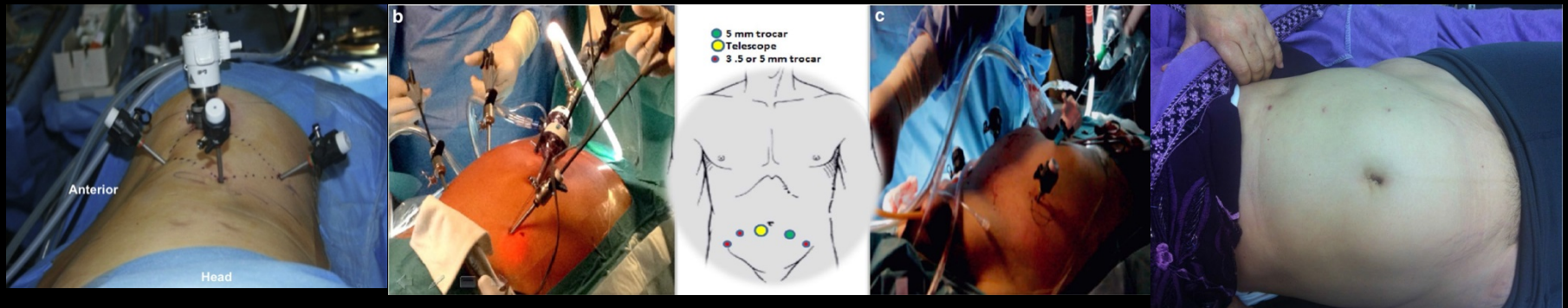
[Porpiglia F¹, Fiori C², Bertolo R², Cattaneo G², Amparore D², Morra I², Didio M², De Luca S², Scarpa RM².](#)

[Eur Urol](#). 2014 Oct;66(4):778-83. doi: 10.1016/j.eururo.2014.06.001. Epub 2014 Jun 18.

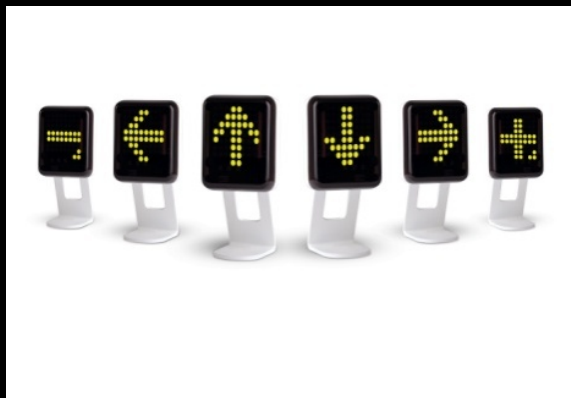
Mini-retroperitoneoscopic clampless partial nephrectomy for "low-complexity" renal tumours (PADUA score ≤8).

[Porpiglia F¹, Bertolo R², Amparore D², Cattaneo G², Fiori C².](#)

- Παρόμοια περιεγχειρητικά αποτελέσματα με τη συμβατική λαπαροσκοπική
- Το αισθητικό αποτέλεσμα είναι καλυτερό της λαπαροσκοπικής



FreeHand – Ρομποτικός βραχίονας

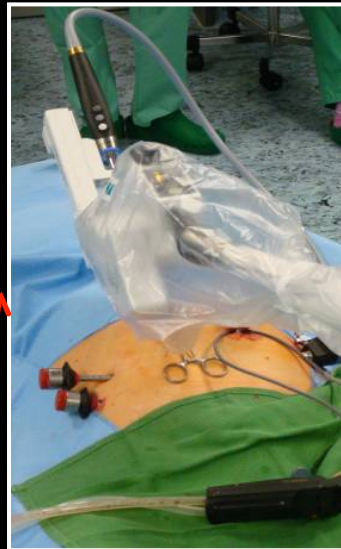


Ρομποτικός βραχίονας (FreeHand) σε λαπαροσκοπική ριζική προστατεκτομή



Η επέμβαση με τη βοήθεια ιατρού χειριστή της κάμερας

Η επέμβαση με ρομποτικό βραχίονα



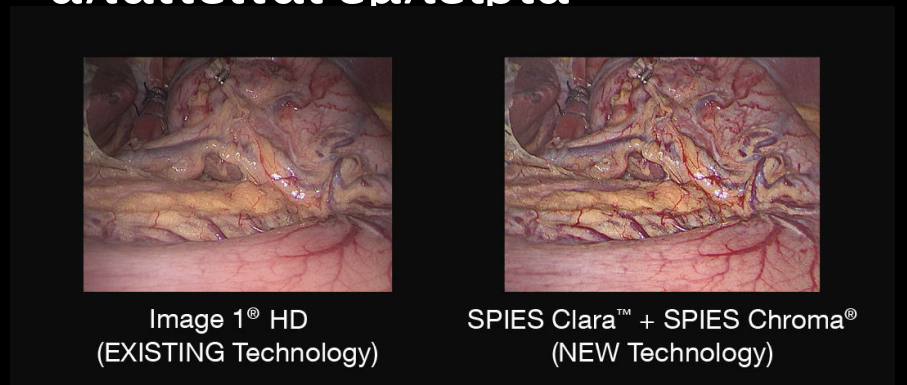
Stolzenburg et al. BJU Int 2011

Τρισδιάστατη απεικόνιση στη Λαπαροσκοπική

- Η έλλειψη απεικόνισης του χώρου αποτελεί πρόβλημα από τα πρώτα βήματα της λαπαροσκοπικής
- Η χειρουργική ομάδα έχει αντίληψη του χώρου βάσει εμμέσων σημείων (π.χ σκιές). – απαιτείται εμπειρία



ENDOEYE Flex
Olympus



SPIES Karl Storz

Τρισδιάστατη απεικόνιση στη λαπαροσκοπική

[J Minim Invasive Gynecol.](#) 2014 Nov 21. pii: S1553-4650(14)01537-4. doi: 10.1016/j.jmig.2014.11.007. [Epub ahead of print]

2D versus 3D laparoscopy: Evaluation of physicians' performance and preference using a pelvic trainer.

Ko JK¹, Li RH², Cheung VY².

[J Endourol.](#) 2014 Dec 17. [Epub ahead of print]

Integrating Three-Dimensional Vision in Laparoscopy: The Learning Curve of an Expert.

Kyriazis I¹, Özsoy M, Kallidoni P, Vasillas M, Panagopoulos V, Liatsikos E.

[J Endourol.](#) 2015 Feb 11. [Epub ahead of print]

A comparative study of distinguished ocular symptoms after performing laparoscopic surgical tasks using three-dimensional (3D) surgical imaging system and conventional two-dimensional (2D) surgical imaging system.

Xu H¹, Zhou J, Liang C, Zhang L, Hao Z, Feng L.

[J Endourol.](#) 2014 Feb;28(2):261-6. doi: 10.1089/end.2013.0344. Epub 2014 Jan 10.

Evaluation of the impact of three-dimensional vision on laparoscopic performance.

Lusch A¹, Bucur PL, Menhadji AD, Okhunov Z, Liss MA, Perez-Lanzac A, McDougall EM, Landman J.

[Actas Urol Esp.](#) 2014 Nov 12. pii: S0210-4806(14)00370-2. doi: 10.1016/j.acuro.2014.09.008. [Epub ahead of print]

Impact of 3D vision on mental workload and laparoscopic performance in inexperienced subjects.

[Article in English, Spanish]

Gómez-Gómez E¹, Carrasco-Valiente J², Valero-Rosa J², Campos-Hernández JP², Anglada-Curado FJ², Carazo-Carazo JL², Font-Ugalde P³, Requena-Tapia MJ².

Τα σύγχρονα συστήματα τρισδιάστατης απεικόνιτης αίσθησης του βάθους και της αντίληψης του χώρου

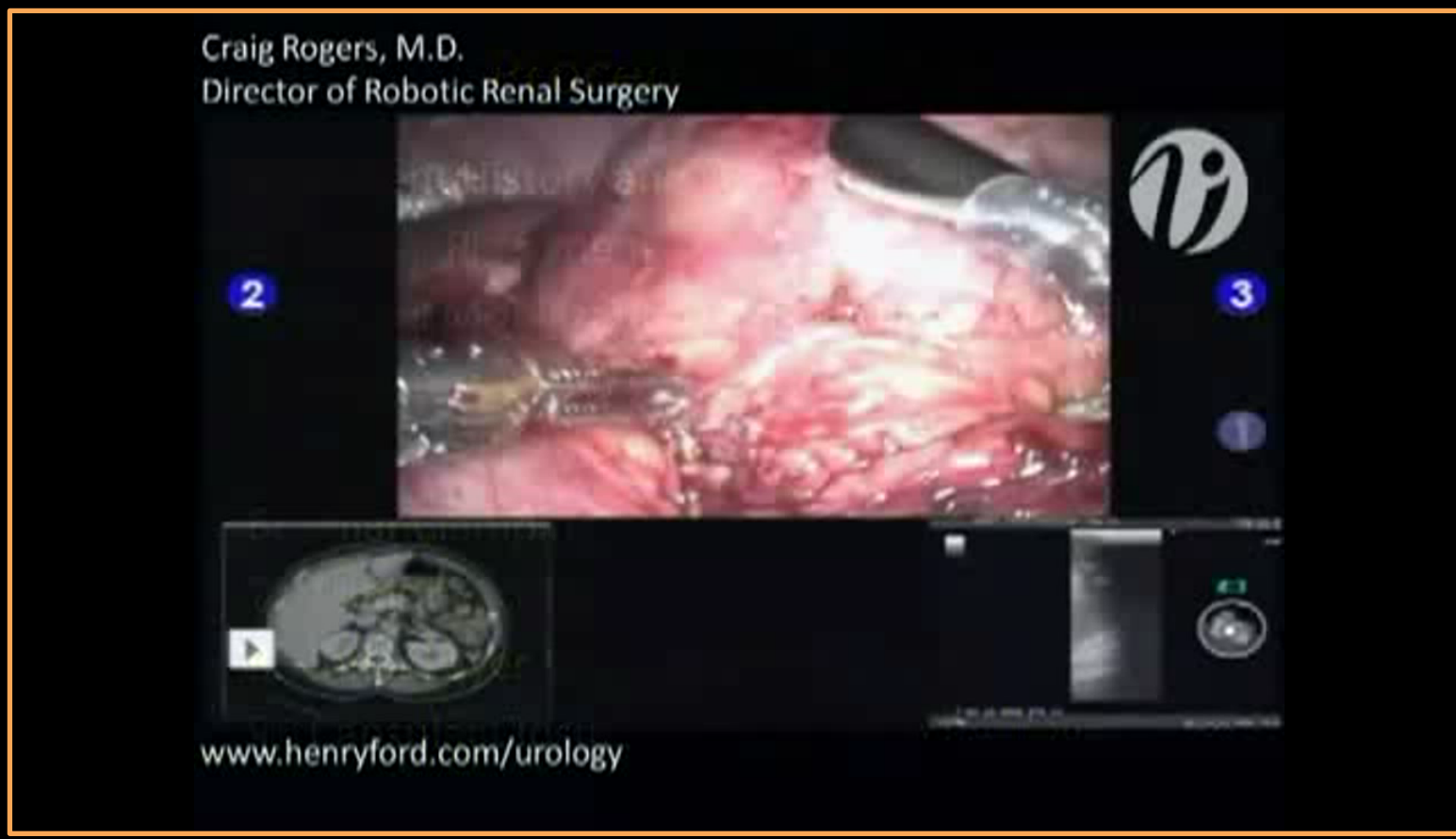
- Βελτιώνουν την απόδοση των αρχάριων λαπαροσκόπων σε ασκήσεις στο εργαστήριο
- Οι έμπειροι χειρουργοί δεν έχουν σημαντική διαφορά στην απόδοση τους χειρουργικά και προσαρμόζονται γρήγορα
- Η συμπτωματολογία – παρενέργειες φαίνεται να είναι μειωμένα συγκριτικά με τα παλαιότερα συστήματα, αλλά συνεχίζουν να υπάρχουν

Τεχνολογία στην Ρομποτική Ουρολογία

Tile Pro imaging

Το σύστημα απεικόνισης του ρομποτικού συστήματος χρησιμοποιείται για τη συμπροβολή δεδομένων και ανακατασκευασμένων εικόνων που προέρχονται από ενδοσκοπικό υπερήχο, αξονική ή μαγνητική τομογραφία.

Στόχος: Η βελτιστοποίηση της διεγχειρητικής πλοήγησης και εν τέλει των αποτελεσμάτων



Βελτιωμένη όραση στη ρομποτική χειρουργική

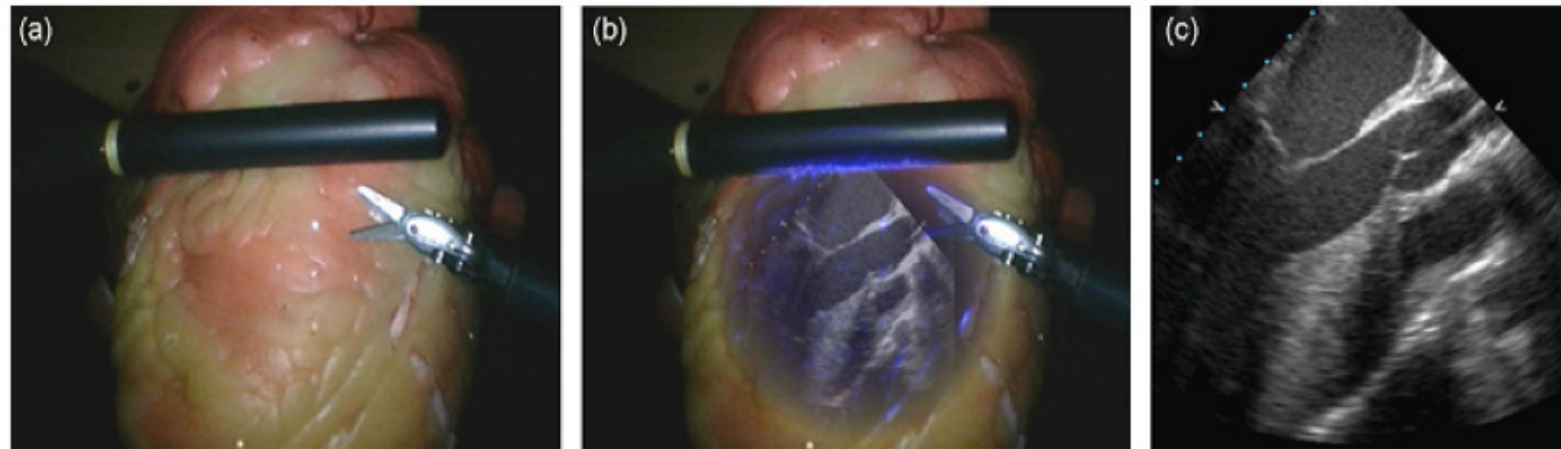


Fig. 7. (a) Laparoscopic ultrasound probe (Aloka UST-5550) used on a phantom heart, as seen through the da Vinci laparoscope. (b) Augmented view using the inverse realism method, where ultrasound images (c) are shown *in situ*.

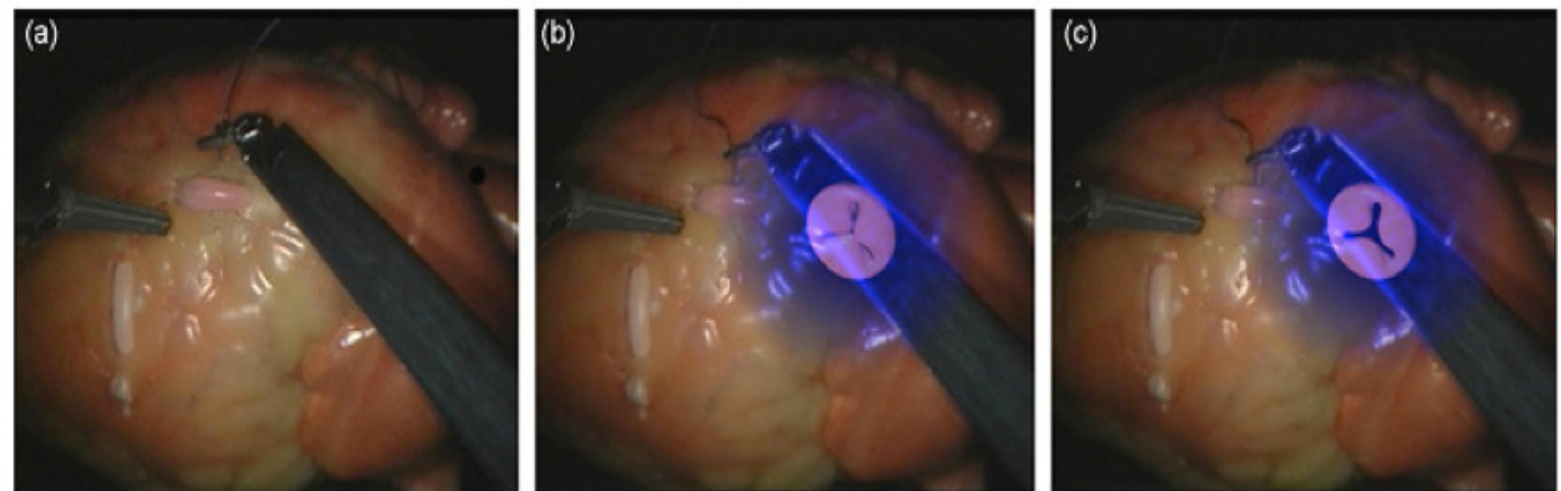
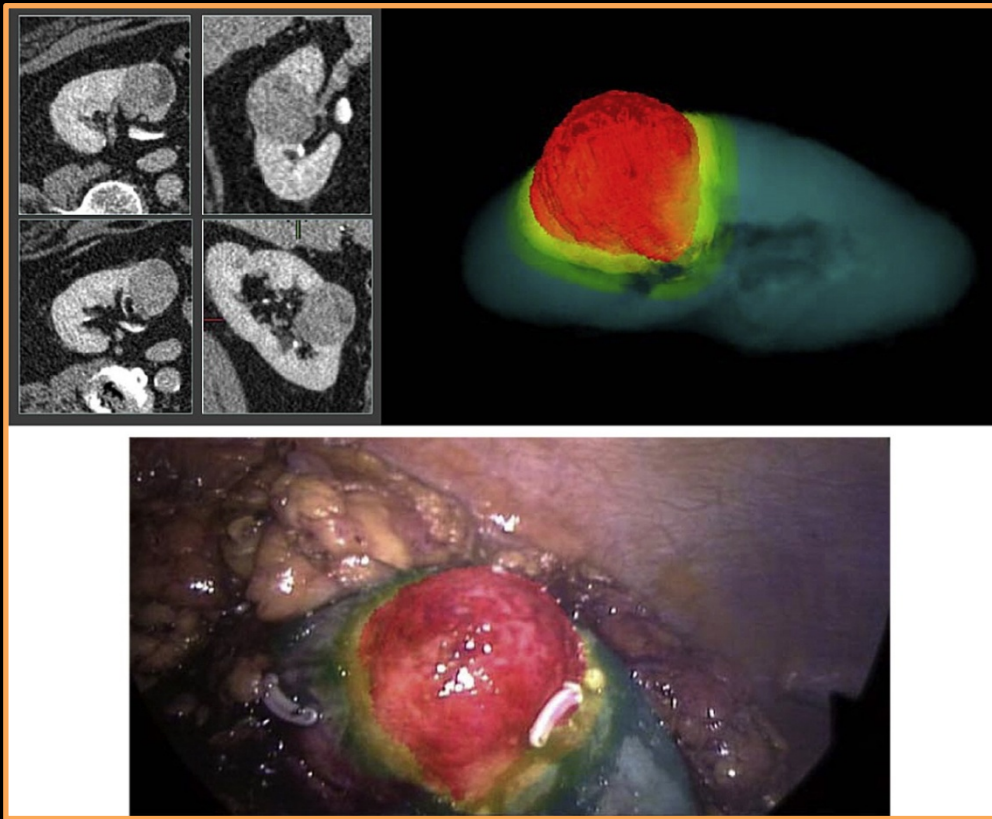


Fig. 6. (a) A phantom heart as seen through a da Vinci laparoscope. (b and c) AR visualization with inverse realism showing a superimposed artificial heart valve in relation to the cardiac structure.

Σύντηξη εικόνων- Μερική νεφρεκτομή



Δεδομένα από την αξονική τομογραφία μετατρέπονται σε 3D μοντέλο, και προβάλλονται στη κουνσόλα

Ukimura et al Urol Clin North Am, 2009

[Int J Med Robot](#). 2013 Sep;9(3):e34-8. doi: 10.1002/rccs.1471. Epub 2012 Dec 13.

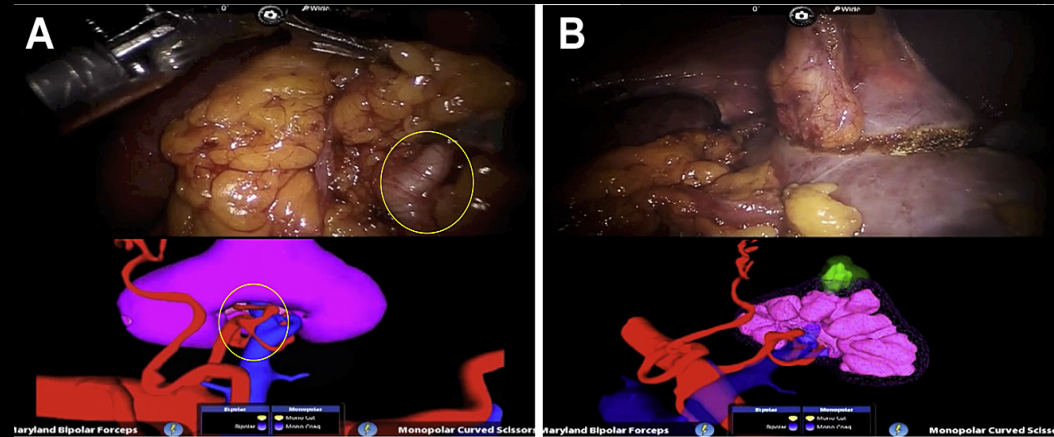
Augmented reality to the rescue of the minimally invasive surgeon. The usefulness of the interposition of stereoscopic images in the Da Vinci™ robotic console.

[Volonté F¹, Buchs NC, Pugin F, Spaltenstein J, Schiltz B, Jung M, Hagen M, Ratib O, Morel P.](#)

Urology. 2014 Jul;84(1):237-42. doi: 10.1016/j.urology.2014.02.051. Epub 2014 May 22.

Image guidance for all--TilePro display of 3-dimensionally reconstructed images in robotic partial nephrectomy.

Hughes-Hallett A¹, Pratt P², Mayer E³, Martin S⁴, Darzi A⁵, Vale J¹.



- Tile Pro συστημα του daVinci
- Συνήθης Workstation υπολογιστής
 - iPad



Πλοήγηση διεγχειρητικά χωρίς τη χρήση ακριβών και εξειδικευμένων συστημάτων.

Περιορίζεται το πρόβλημα της έλλειψης αφής κατά τη ρομποτική χειρουργική.

Three-dimensional surgical navigation model with TilePro display during robot-assisted radical prostatectomy.

Ukimura O¹, Aron M, Nakamoto M, Shoji S, Abreu AL, Matsugasaki T, Berger A, Desai M, Gill IS.

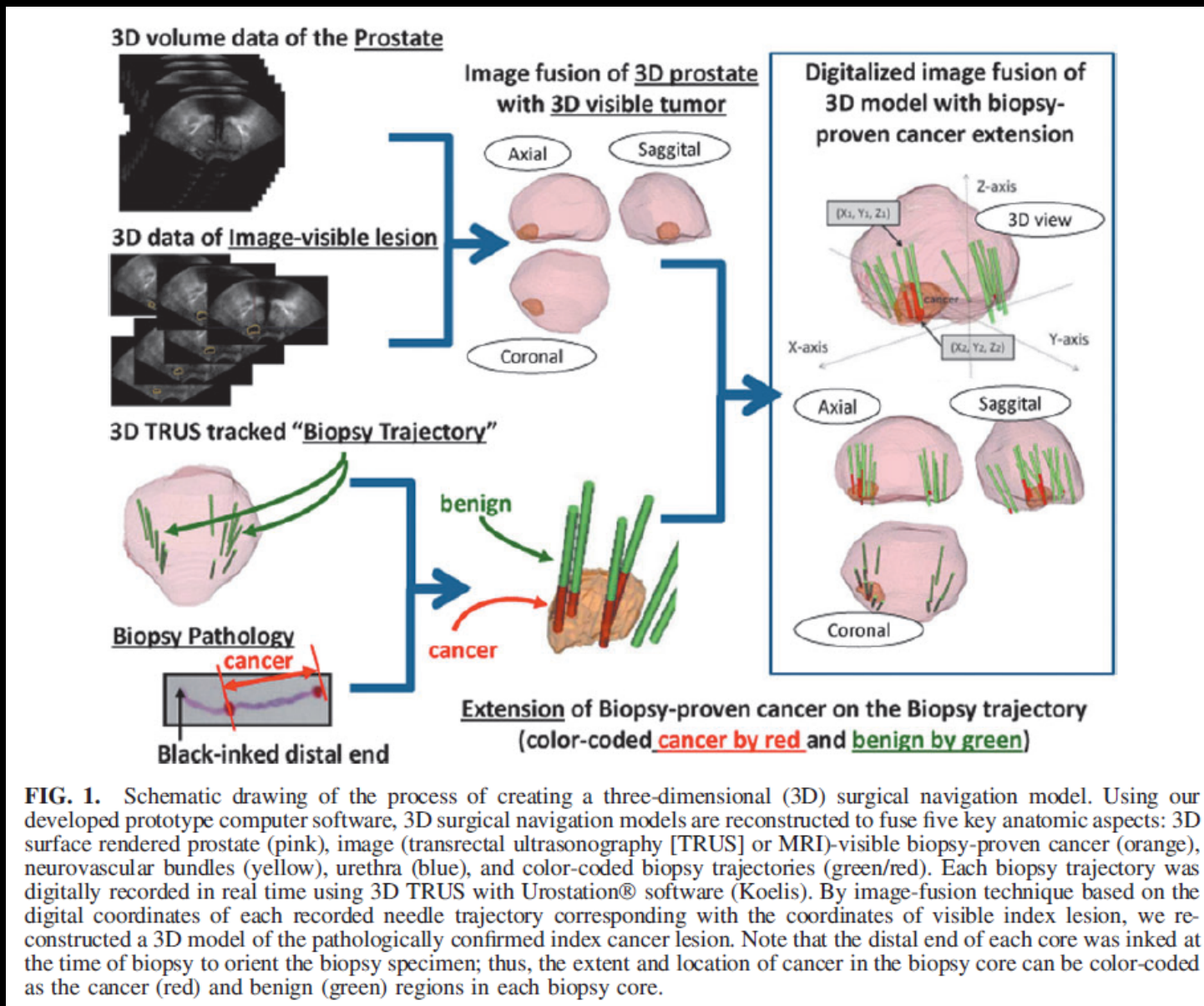
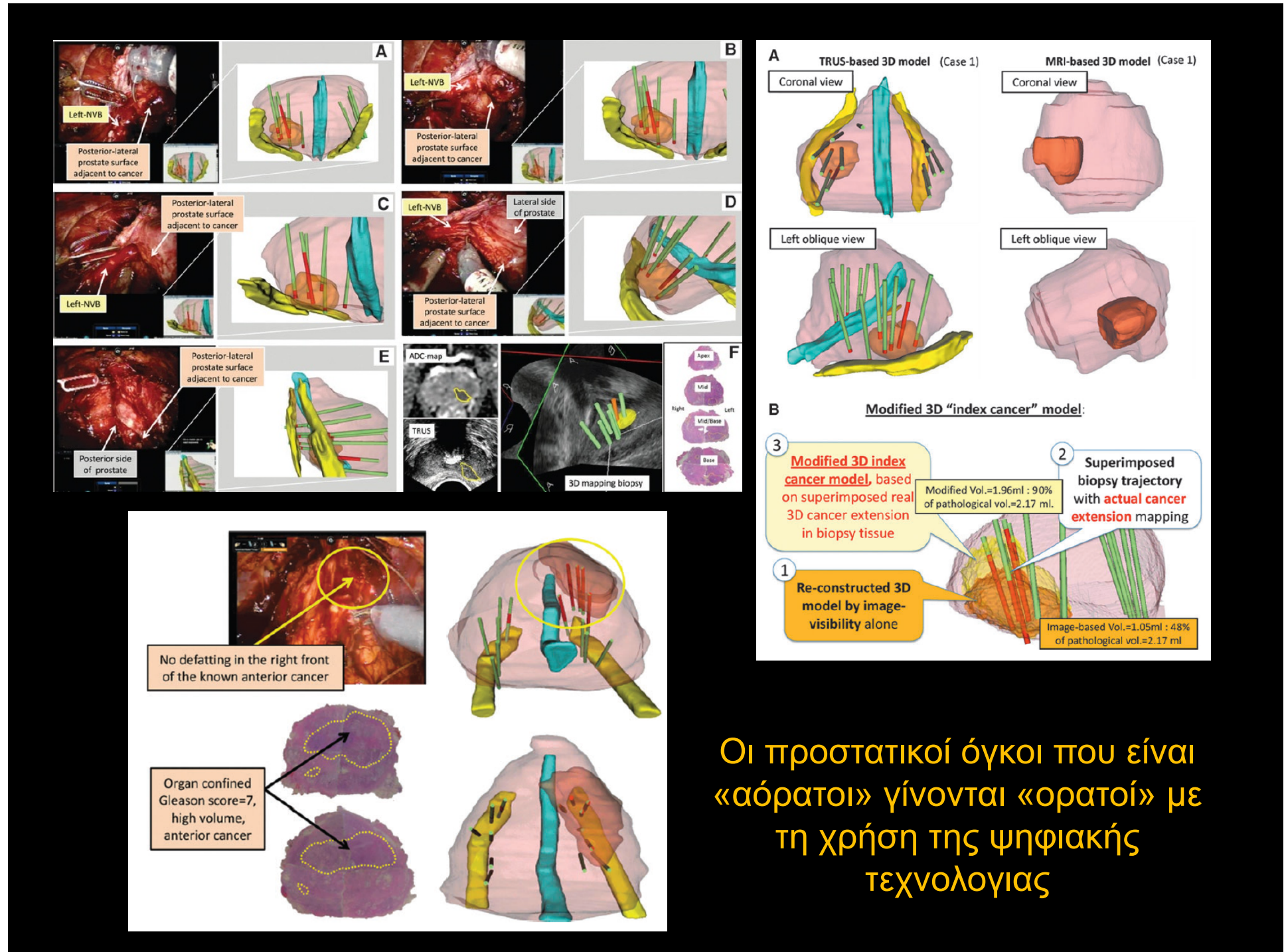


FIG. 1. Schematic drawing of the process of creating a three-dimensional (3D) surgical navigation model. Using our developed prototype computer software, 3D surgical navigation models are reconstructed to fuse five key anatomic aspects: 3D surface rendered prostate (pink), image (transrectal ultrasonography [TRUS] or MRI)-visible biopsy-proven cancer (orange), neurovascular bundles (yellow), urethra (blue), and color-coded biopsy trajectories (green/red). Each biopsy trajectory was digitally recorded in real time using 3D TRUS with Urostation® software (Koelis). By image-fusion technique based on the digital coordinates of each recorded needle trajectory corresponding with the coordinates of visible index lesion, we reconstructed a 3D model of the pathologically confirmed index cancer lesion. Note that the distal end of each core was inked at the time of biopsy to orient the biopsy specimen; thus, the extent and location of cancer in the biopsy core can be color-coded as the cancer (red) and benign (green) regions in each biopsy core.



Οι προστατικοί όγκοι που είναι «αόρατοι» γίνονται «ορατοί» με τη χρήση της ψηφιακής τεχνολογίας

Current Applications of Near-infrared Fluorescence Imaging in Robotic Urologic Surgery: A Systematic Review and Critical Analysis of the Literature



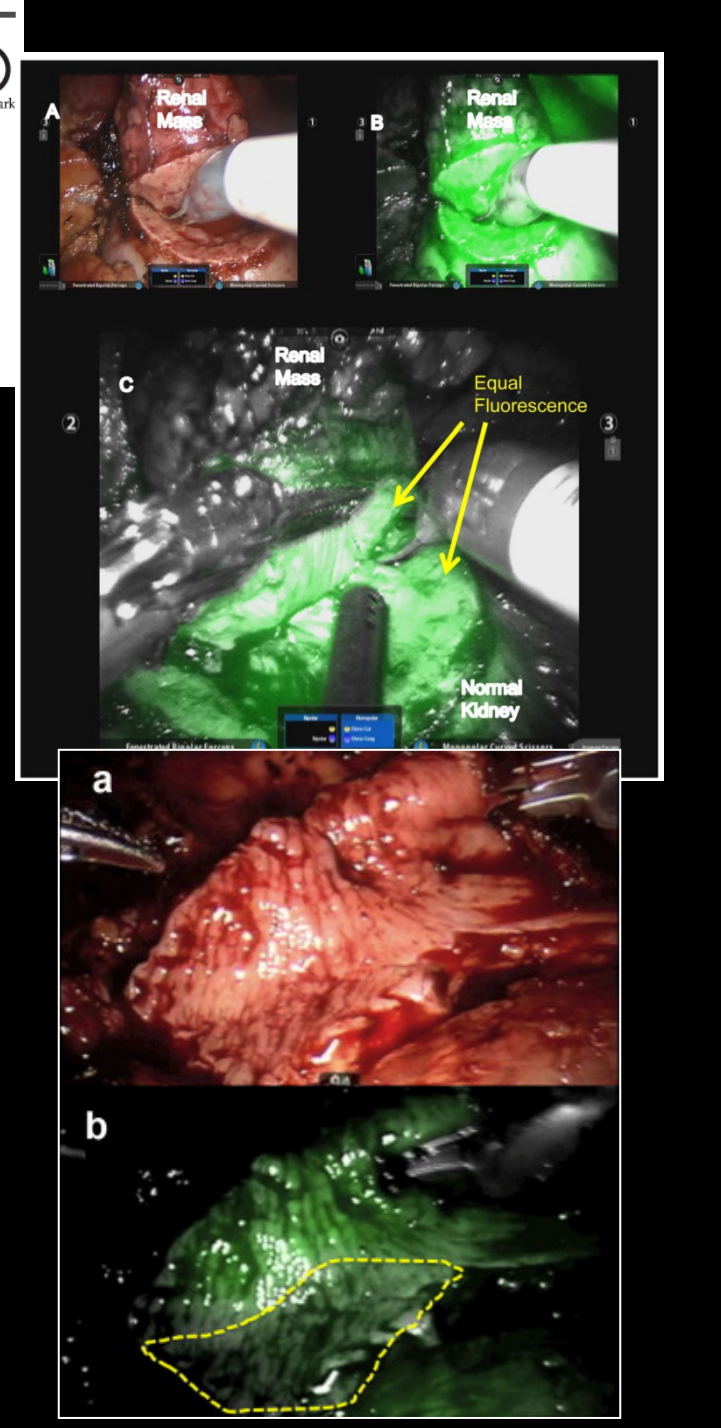
Riccardo Autorino, Homayoun Zargar, Wesley M. White, Giacomo Novara, Filippo Annino, Sisto Perdonà, Michele De Angelis, Alexandre Mottrie, Francesco Porpiglia, and Jihad H. Kaouk

UROLOGY 84: 751–759, 2014.

- Μερική νεφρεκτομή
- Επινεφριδιεκτομή
- Χειρουργική του ουρητήρα
- Πυελικός λεμφαδενικός καθαρισμός

Τα αποτελέσματα έδειξαν:

- Διευκολύνει την αναγνώριση της ανατομίας
- Τα πλεονεκτήματα δεν έχουν τεκμηριωθεί
- Το επιπλέον κόστος δεν έχει ακόμα δικαιολογηθεί



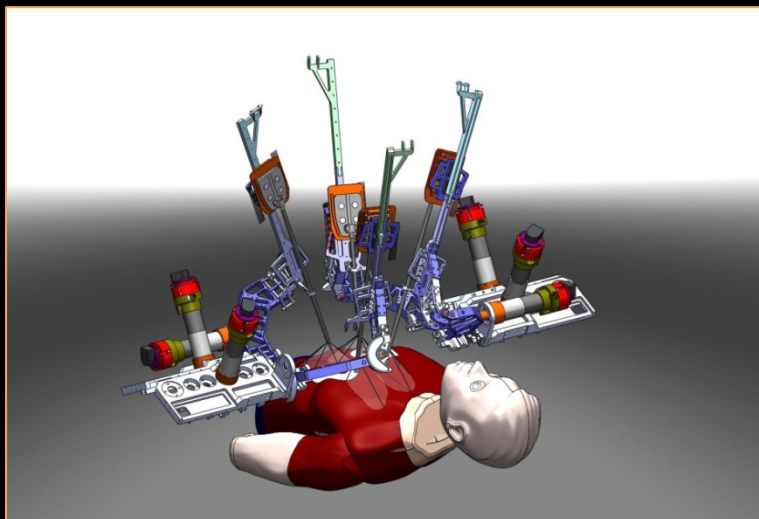
DaVinci vs νέοι ανταγωνιστές

- Ανταγωνιστές που κατευθύνονται προς την αγορά εκμεταλλευόμενοι τις σχετικές αδυναμίες του DaVinci:
 - Κόστος
 - Ιδιόκτητο λογισμικό και υλικό
 - Ογκώδη μηχανικά χέρια
 - Δυσκολίες στο Docking

Sofie



Raven

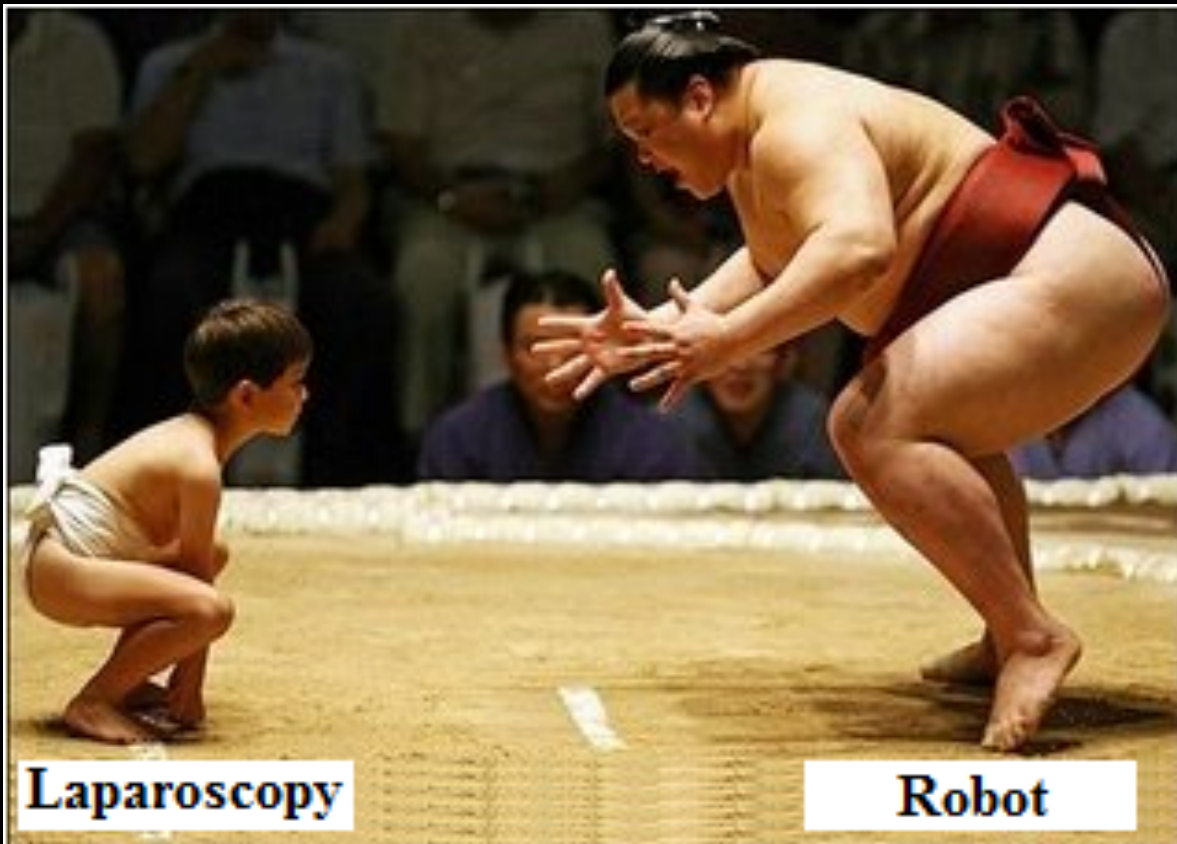


Amadeus (Titan Medical Inc.)



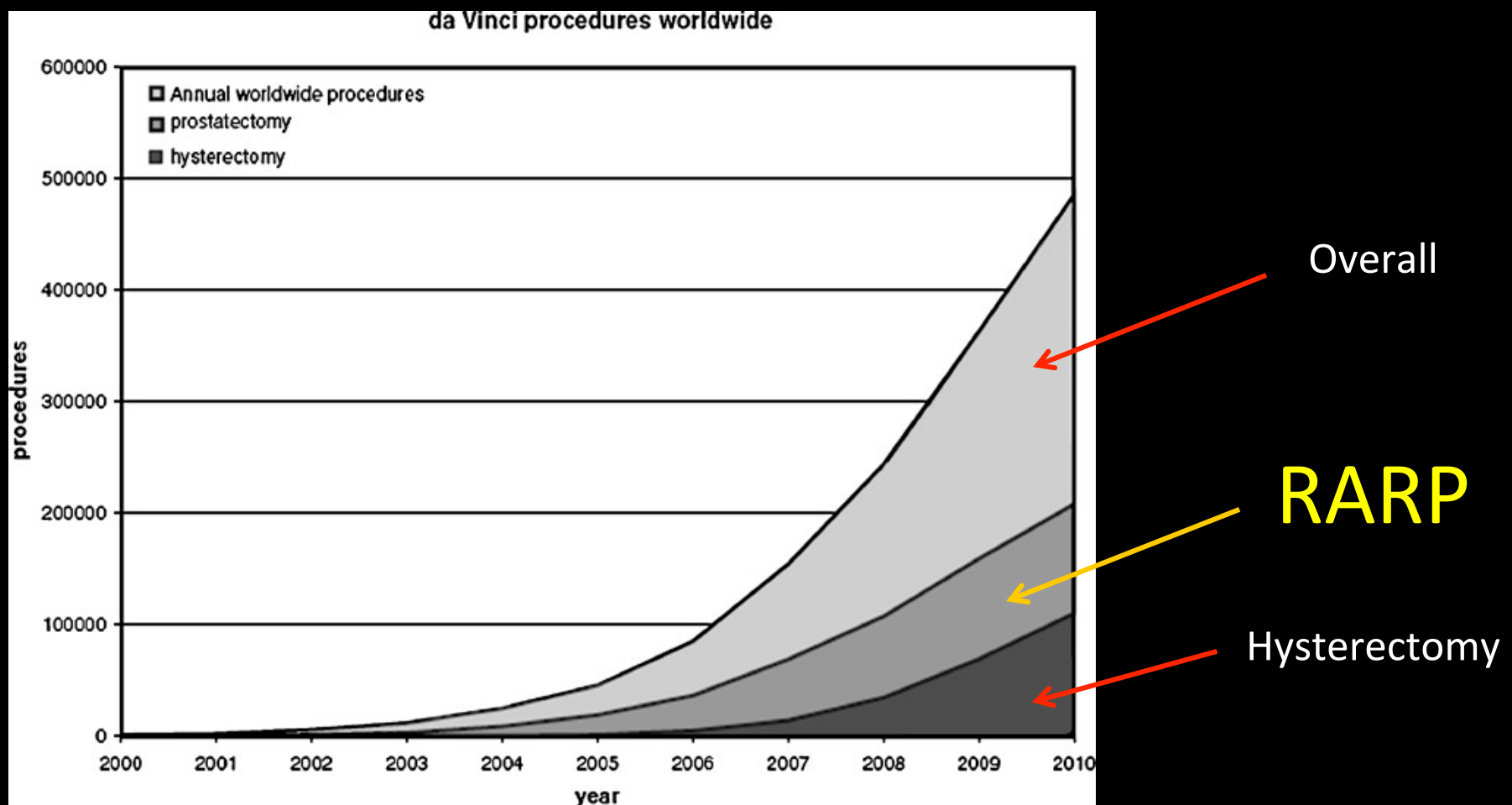
Πώς συγκρίνονται οι συμβατική
Λαπαροσκοπική με τη Ρομποτική
Χειρουργική

Λαπαροσκοπική vs Ρομποτική Ριζική Προστατεκτομή



Τεχνική και αποτελέσματα

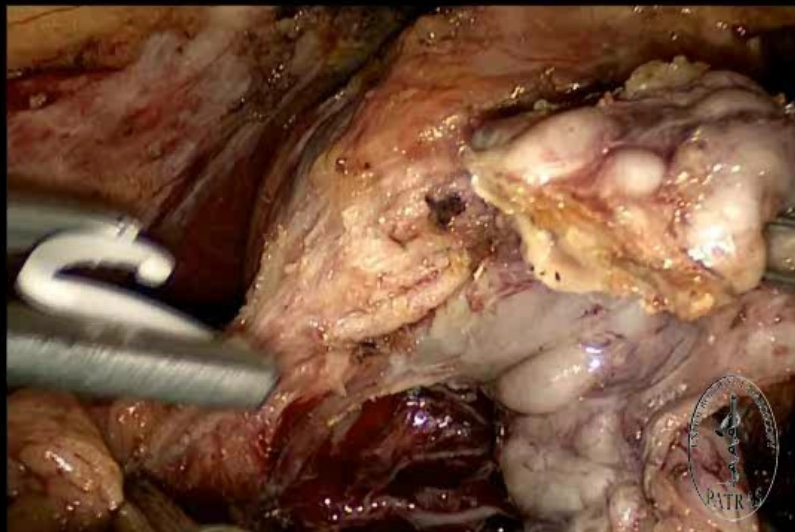
Η ριζική προστατεκτομή είναι η πιο συχνά πραγματοποιούμενη επέμβαση με χρήση ρομποτικής τεχνολογίας διεθνώς.



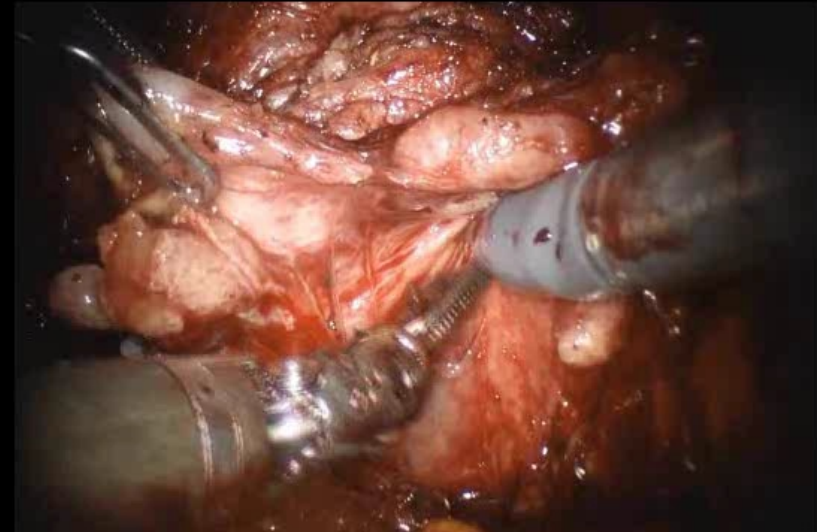
Annual report 2010 (2011) Intuitive Surgical Inc

	Ανοικτή	Λαπαροσκοπική	Ρομποτική
+	<ul style="list-style-type: none"> • Αποδεδειγμένο ογκολογικό status • Αφή • Δεν απαιτείται περαιτέρω εκπαίδευση 	<ul style="list-style-type: none"> • Μειωμένη απώλεια αίματος • Μικρή ανάρρωση • Καλό κοσμητικό αποτέλεσμα • Μειωμένη νοσηλεία • Βελτιωμένη ορατότητα χειρ/κού πεδίου • Μικρότερο κόστος σε σχέση με την RALP 	<ul style="list-style-type: none"> • Μειωμένη απώλεια αίματος • Μικρή ανάρρωση • Καλό κοσμητικό αποτέλεσμα • Μειωμένη νοσηλεία • Βελτιωμένη ορατότητα χειρ/κού πεδίου • Άριστη εργονομία για το χειρουργό • Μικρότερη καμπύλη εκμάθησης σε σχέση με την LRP
-	<ul style="list-style-type: none"> • Αυξημένες απώλειες αίματος • Μειωμένο αισθητικό αποτέλεσμα • Αυξημένη νοσηλεία 	<ul style="list-style-type: none"> • Απουσία τεκμηρίωσης μακροχρόνιας αποτελεσματικότητας • Μακροχρόνια καμπύλη εκμάθησης • Αυξημένος χειρουργικός χρόνος 	<ul style="list-style-type: none"> • Απουσία τεκμηρίωσης μακροχρόνιας αποτελεσματικότητας • Υψηλό κόστος • Αυξημένος χειρουργικός χρόνος

Διάσωση των αγγειονευρωδών δεματίων



Λαπαροσκοπική

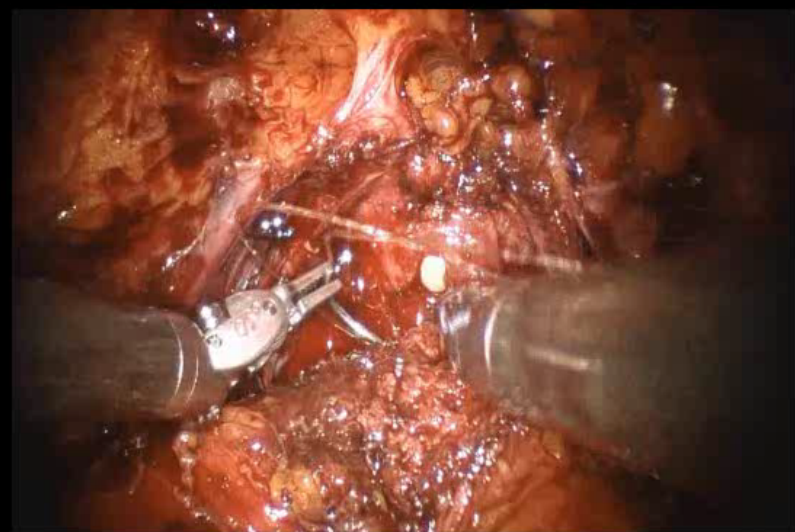


Ρομποτική

Αναστόμωση



Λαπαροσκοπική



Ρομποτική

Τελικά, είναι η καμπύλη εκμάθηση της ρομποτικής μικρότερη;

EUROPEAN UROLOGY 65 (2014) 521–531

available at www.sciencedirect.com
journal homepage: www.europeanurology.com

eau
European Association of Urology

Platinum Priority – Prostate Cancer
Editorial by Andrew J. Vickers on pp. 532–533 of this issue

Superior Quality of Life and Improved Surgical Margins Are Achievable with Robotic Radical Prostatectomy After a Long Learning Curve: A Prospective Single-surgeon Study of 1552 Consecutive Cases

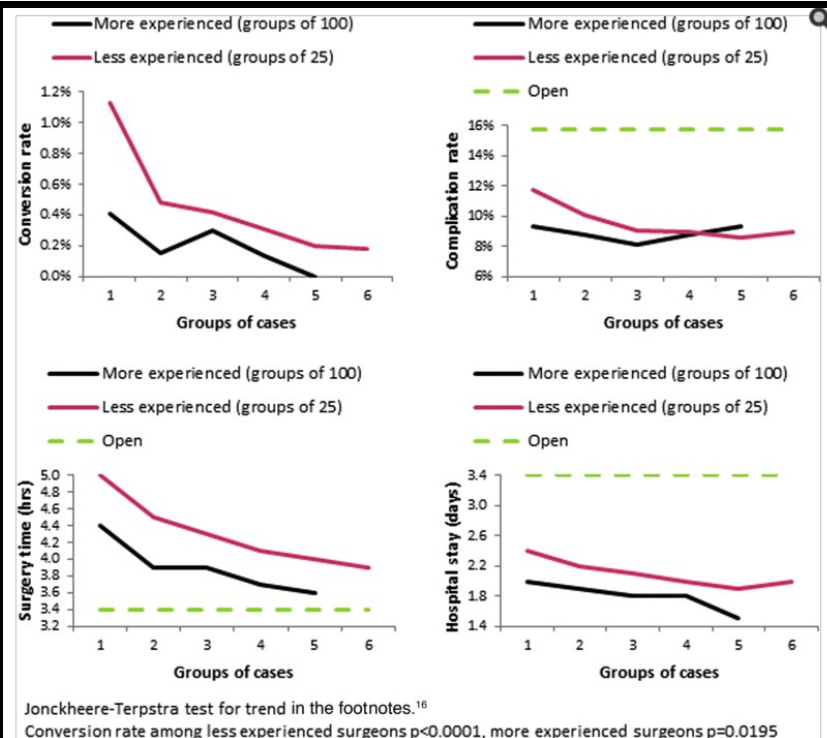
James E. Thompson ^{a,b,c,*}, Sam Egger ^d, Maret Böhm ^b, Anne-Maree Haynes ^b, Jayne Matthews ^a, Krishan Rasiah ^a, Phillip D. Stricker ^{a,b,c}

	Ξεπέρασαν ανοικτή προστατεκτομή	Έφτασαν πλατό
Σεξουαλική λειτουργία	99	600-700
Πρώιμη εγκράτεια	182	700-800
Θετικά χειρουργικά όρια	108	200-300

J Endourol. 2014 May 1; 28(5): 560–566.
doi: [10.1089/end.2013.0534](https://doi.org/10.1089/end.2013.0534)
PMCID: PMC3995359

Learning Curve Assessment of Robot-Assisted Radical Prostatectomy Compared with Open-Surgery Controls from the Premier Perspective Database

John W. Davis, MD, FACS,¹ Usha S. Kreaden, MSc,² Jessica Gabbert, BSc,³ and Raju Thomas, MD, FACS, MHA⁴



Jonckheere-Terpstra test for trend in the footnotes.¹⁶
Conversion rate among less experienced surgeons p<0.0001, more experienced surgeons p=0.0195
Complications among less experienced surgeons p<0.0001, more experienced surgeons p=0.0048
Surgery time among less experienced surgeons p<0.0001, more experienced surgeons p<0.0001
Hospital stay among less experienced surgeons p<0.0001, more experienced surgeons p<0.0001

Τελικά απαιτούνται εκατοντάδες περιστατικά για να φτάσει την ανοικτή χειρουργική

Ποίος είναι ο νικητής???



Είναι η τεχνολογικά η πιο προηγμένη μέθοδος (ρομποτική)
καλύτερη από τη λαπαροσκοπική??

Πώς συγκρίνονται οι τεχνολογικά προηγμένες μέθοδοι με τις
παραδοσιακές (ανοικτή)??

Είναι η ρομποτική χειρουργική καλύτερη από τη λαπαροσκοπική και ανοικτή χειρουργική?

Retropubic, Laparoscopic, and Robot-Assisted Radical Prostatectomy: A Systematic Review and Cumulative Analysis of Comparative Studies

Vincenzo Ficarra ^{a,*}, Giacomo Novara ^a, Walter Artibani ^a, Andrea Cestari ^b,
Antonio Galfano ^a, Markus Graefen ^c, Giorgio Guazzoni ^b, Bertrand Guillonneau ^d,
Mani Menon ^e, Francesco Montorsi ^f, Vipul Patel ^g, Jens Rassweiler ^h, Hendrik Van Poppel ⁱ

Eur Urol 2009;55:1037-1063

- Μέτα-ανάλυση με 37 συγκριτικές μελέτες
- LRP and RRP = παρόμοια ποσοστά εγκράτειας και στυτικής λειτουργίας
- LRP / RRP / RALP = παρόμοια θετικά χειρουργικά όρια
- LRP + RALP = σημαντικά λιγότερη απώλεια αίματος και ποσοστό μεταγγίσεων συγκριτικά με την ανοικτή χειρουργική
- Περισσότερες μελέτες αναμένονται

Randomised Controlled Trial Comparing Laparoscopic and Robot-assisted Radical Prostatectomy

Francesco Porpiglia *, Ivano Morra, Marco Lucci Chiarissi, Matteo Manfredi, Fabrizio Mele, Susanna Grande, Francesca Ragni, Massimiliano Poggio, Cristian Fiori

RCT - 120 patients

Eur Urol 2013

- Π αρόμοια περιεγχειρητικά αποτελέσματα
- Συγκρίσιμα ποσοστά θετικών χειρουργικών ορίων
- Λειτουργικά αποτελέσματα καλύτερα για την ρομποτική

	RARP	LRP	p value
Prostate volume (DS)	46.7 (± 15.7)	50.2 (± 15.8)	0.215
Tumour volume (DS)	2.4 (± 2.3)	3.2 (± 3.9)	0.203
Tumour, % (DS)	6.7 (± 7.9)	7.3 (± 10.2)	0.713
Stage, no. (%)			
pT2	38 (63.3)	38 (63.3)	1.000
pT3	22 (36.7)	22 (36.7)	1.000
GS pat, no. (%)			
2–6	10 (16.6)	14 (23.3)	0.361
7	45 (75)	45 (75)	1.000
8–10	5 (8.4)	1 (1.7)	0.094
Overall PSMs, no. (%)	16 (26.6)	12 (20.0)	0.388
pT2 PSM	5/37	6/37	0.744
pT3 PSM	11/22	6/22	0.122

RARP = robot-assisted radical prostatectomy; LRP = laparoscopic radical prostatectomy; GS pat = pathologic Gleason score; PSM = positive surgical margin (defined as the presence of cancer cells that are in contact with the surface of the inked specimen).

Comparisons of the Perioperative, Functional, and Oncologic Outcomes After Robot-Assisted Versus Pure Extraperitoneal Laparoscopic Radical Prostatectomy

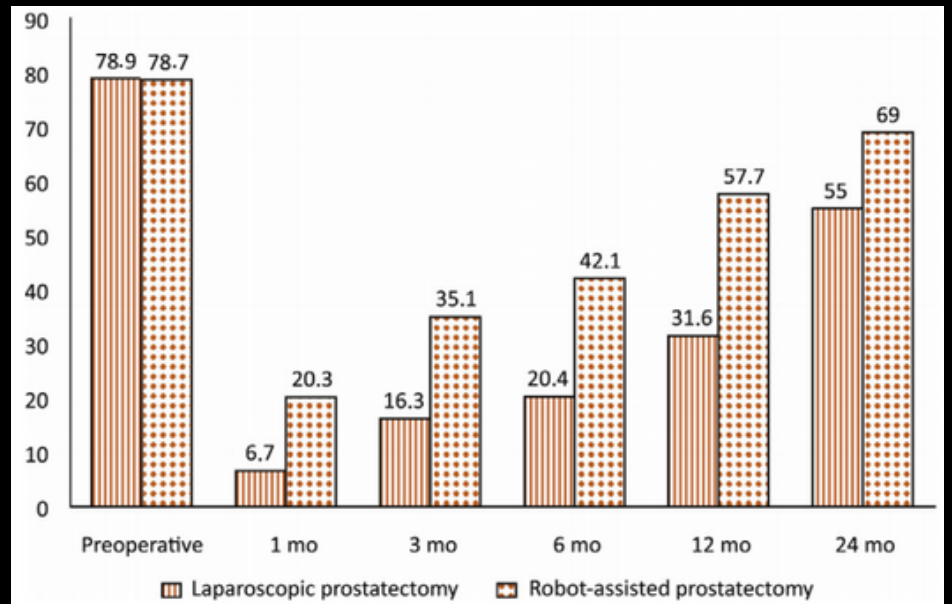
Guillaume Ploussard *, Alexandre de la Taille, Morgan Moulin, Dimitri Vordos, Andras Hoznek, Claude-Clément Abbou, Laurent Salomon

Retrospective cohort

Eur Urol 2014

1377 LRP vs 1009 RARP

- Ρομποτική: καλύτερα περιεγχειρητικά αποτελέσματα (μικρότερη απώλεια αίματος, λιγότερη νοσηλεία)
- Παρόμοια εγκράτεια και αποκατάσταση της στυικής λειτουργίας



Potency recovery rates

A Prospective Study of Transition From Laparoscopic to Robot-assisted Radical Prostatectomy: Quality of Life Outcomes After 36-Month Follow-up

Viktor Berge, Rolf E. Berg, Jon R. Hoff, Nicolai Wessel, Lien M. Diep, Steinar J. Karlsen, and Lars M. Eri

Προοπτική μελέτη

Urology 2013

Τελευταίες 210 λαπαροσκοπικές vs πρώτες 210 ρομποτικές

Δεν υπήρχε διαφορά στα λειτουργικά αποτελέσματα

Introduction of RALP did not result in improvement of functional outcome. There was no difference regarding urologic function/bother score or sexual function/bother score at 36-month follow-up in patients treated with LRP or RALP. UROLOGY 81: 781–786, 2013. © 2013 Elsevier Inc.

2013 EAU RARP GUIDELINES

Oncologic outcomes

Recommendation	GR
Robotic surgery does not improve oncologic outcomes; surgical expertise does.	A

Continence

Conclusions	LE
RARP for localized prostate cancer is a surgical approach offering high continence rates, at least comparable to ORP and LRP.	2a
There is a trend towards faster recovery of continence after RARP in comparison with ORP and LRP.	3b
Recommendations	GR
To achieve better early continence results, the use of robotic technique is recommended.*	C

Potency

Conclusions	LE
There is a trend towards faster recovery of potency after RARP in comparison to ORP and LRP.	2a-3b
Recommendations	GR
To achieve better early potency results, the use of laparoscopy or robotic techniques are recommended.*	C

**Guidelines on
Robotic- and
Single-site
Surgery in
Urology**

Τεχνικές ακόμα πιο ελάχιστα
επεμβατικές σε σχέση με τη
συμβατική λαπαροσκοπική και
ρομποτική χειρουργική!!

Η ανάπτυξη της Χειρουργικής Μονής Οπής (NOTES - LESS)

Η λαπαροσκοπική χειρουργική έχει πετύχει υψηλά επίπεδα αποτελεσματικότητας



Προσπάθεια για περαιτέρω βελτίωση της λαπαροσκοπικής με υιοθέτηση ακόμα πιο ελάχιστα επεμβατικών χαρακτηριστικών



Ανάπτυξη της NOTES (2002)

Gettman et al: Transvaginal laparoscopic nephrectomy: development and feasibility in the porcine model. Urology. 2002; 59: 446-50.

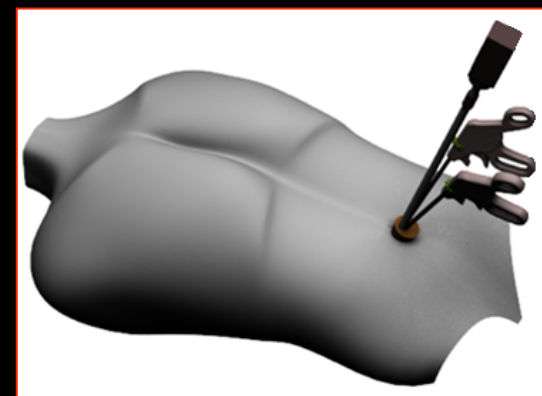


Ανάπτυξη της LESS (2007)

Rane et al: Clinical evaluation of a novel laparoscopic port (R-port) and evolution of the single laparoscopic port procedure (SLiPP). J Endourol 2007; 21(Suppl 1): A22-3.



Στη χειρουργική μονής οπής, ολά τα εργαλεία εισάγονται μέσω μίας τομής επί του κοιλιακού τοιχώματος (LESS) ή μέσω μίας φυσικής οπής (ορθό, στόμα, κόλπος-NOTES)



- Αρχικά η ορολογία δεν ήταν ξεκάθαρη.

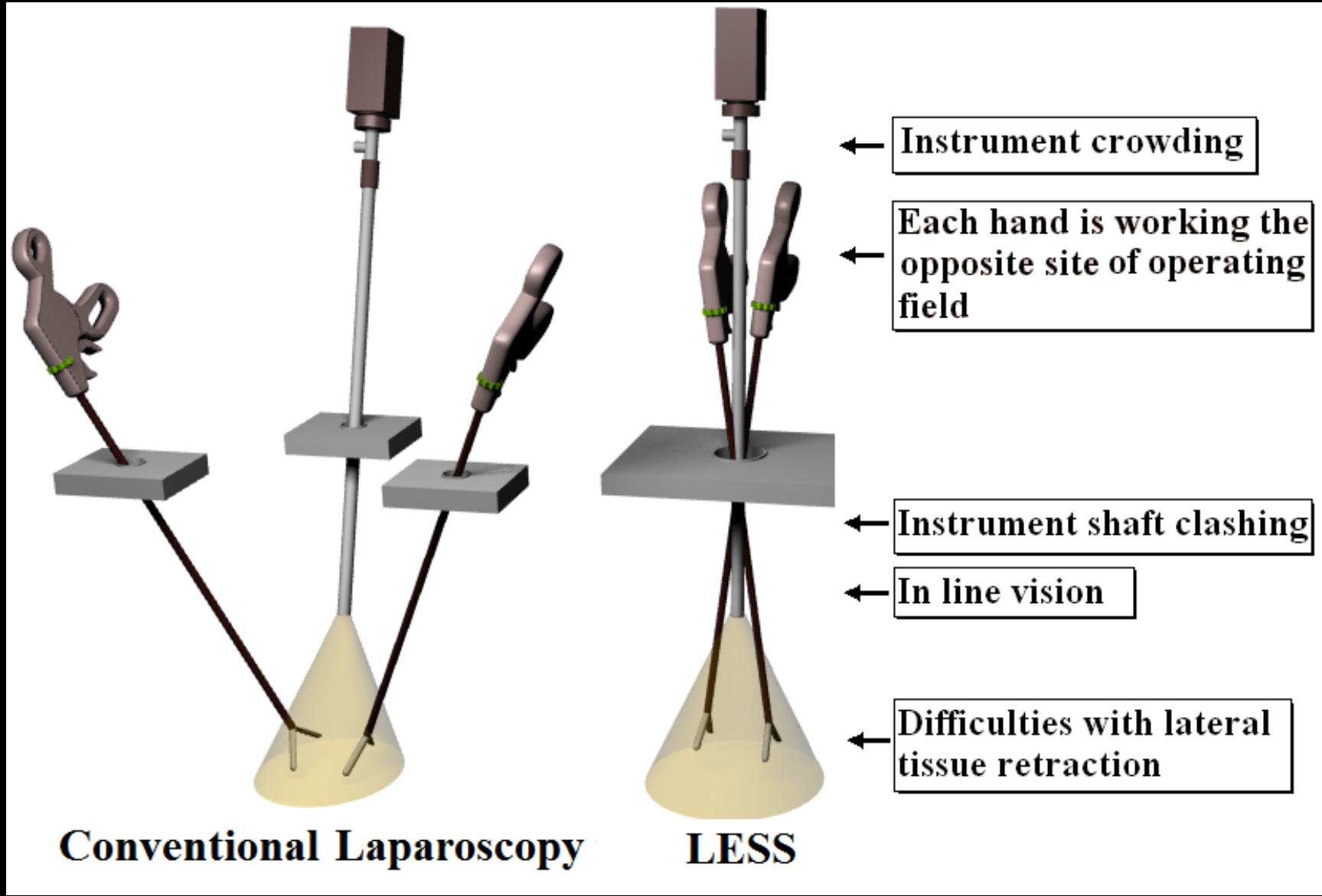
NOTES	Natural Orifice Transluminal Endoscopic Surgery
E-NOTES	Embryonic
NOTUS	Natural Orifice Trans Umbilical Surger
SPA	Single Port Access
SILS	Single Incision Laparoscopic Surgery
SSA	Single Site Access
SAS	Single Access Site Laparoscopic Surgery
OPUS	One Port Umbilical Surgery
SPL	Single Port Laparoscopy
TULA	Trans Umbilical Laparoscopic Assisted
TUES	Trans Umbilical Endoscopic Surgery
LESS	Laparo-Endoscopic Single Site Surgery

Πλεονεκτήματα και μειονεκτήματα της LESS

Πλεονεκτήματα	Μειονεκτήματα
Κοσμητικό αποτέλεσμα (Η τομή κρύβεται στον ομφαλό)	Απώλεια του τριγωνισμού των εργαλείων
Μειωμένο χειρουργικό τραύμα	Έλλειψη της αντίληψης του βάθους
Η απεικόνιση του χειρουργικού πεδίου είναι παρόμοια με τη λαπαροσκοπική	Σύγκρουση των εργαλείων
Εφικτή η πραγματοποίηση χώρις επιπρόσθετα εργαλεία	Διασταύρωση των εργαλείων
	Δεν είναι κατάλληλη για όλους τους ασθενείς

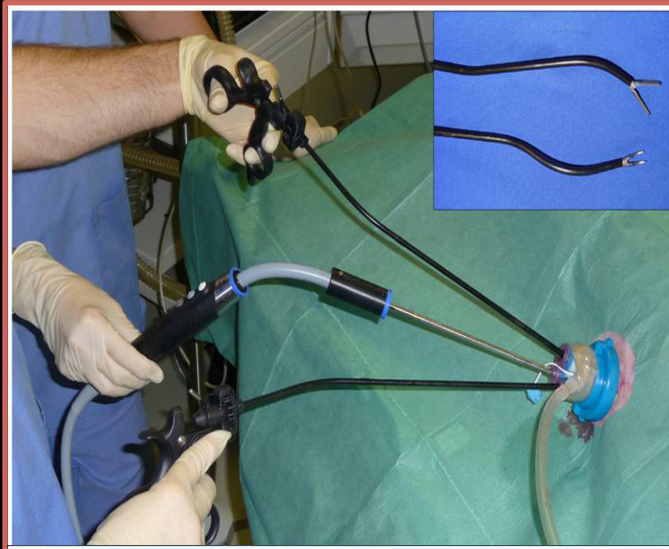
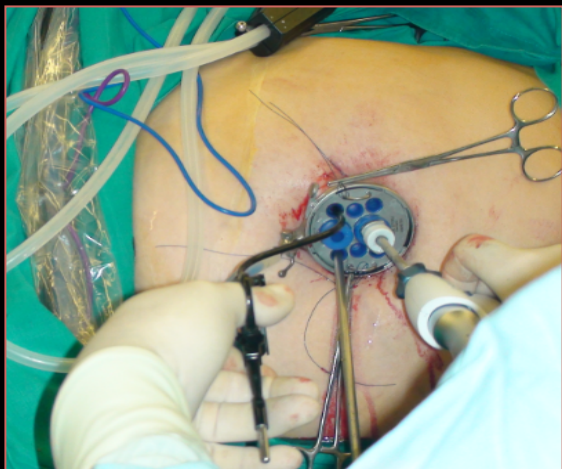
Alcaraz A et al. Transvaginal NOTES and LESS: Are They the Future in Kidney Surgery? Eur Urol Supplements 10 (2011)

Απώλεια του τριγωνισμού των εργαλείων.

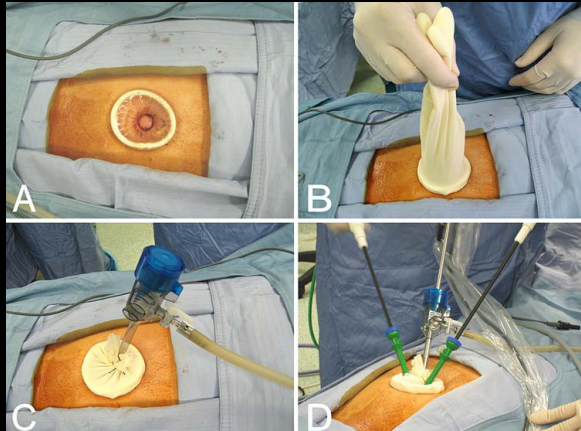


Βελτιστοποιημένα εργαλεία διευκολύνουν τη LESS και προσφέρουν τον απαραίτητο τριγωνισμό των εργαλείων

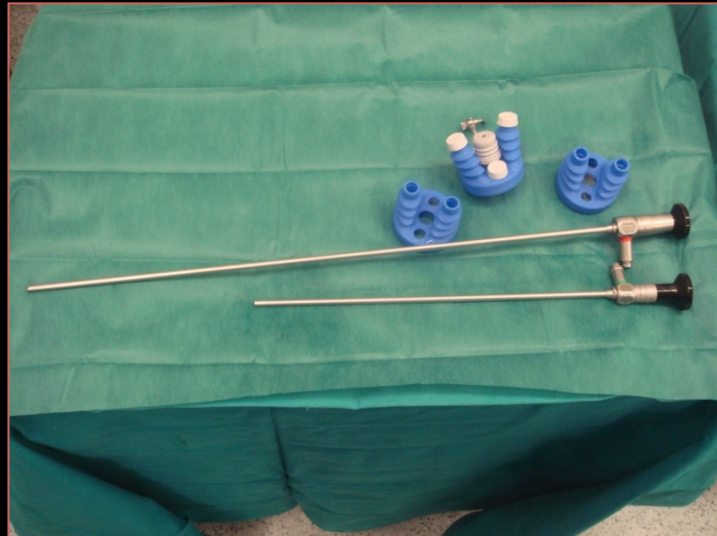
- Πολυκάναλα ports
- Εύκαμπτα ή κεκαμμένα εργαλεία
- Εύκαμπτες ή κεκαμμένες κάμερες



Πολυκάναλα τροκάρ

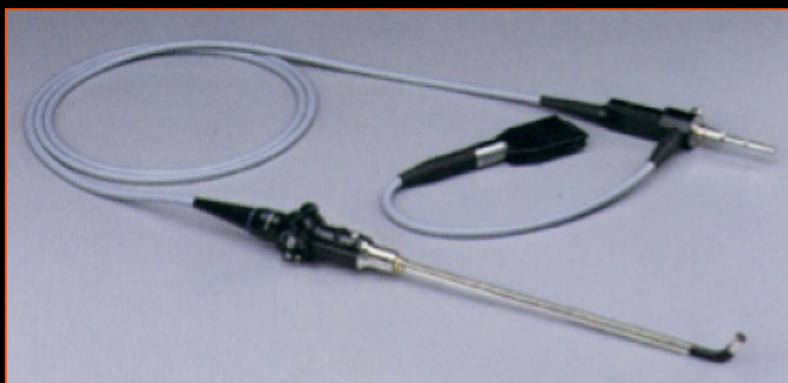


Ενδοσκοπικές κάμερες για LESS



5mm διάμετρο, δεν καταλαμβάνει
12mm port

Εύκαμπτη άκρη



Εύκαμπτη λαβή που αποτρέπει την
παρεμβολή της κάμερας με άλλα
εργαλεία εκτός του port.



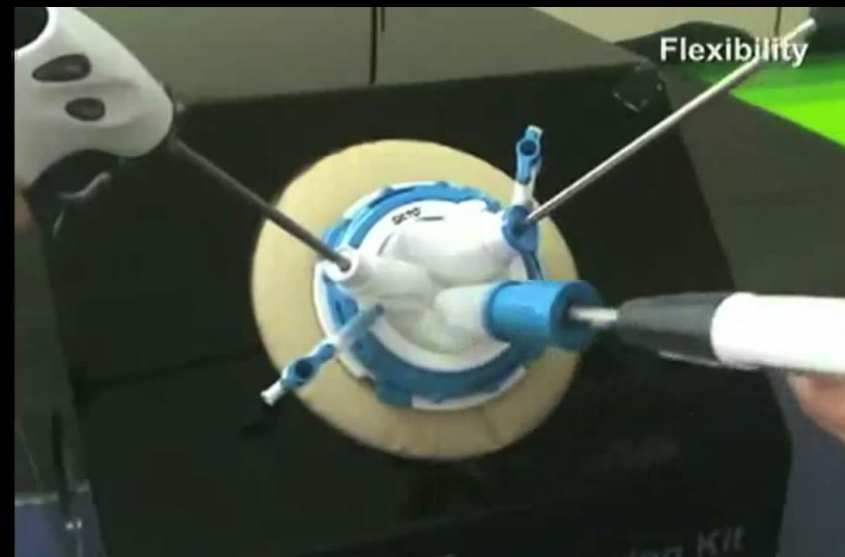
SPIDER

- Ευέλικτη λαπαροσκοπική πλατφόρμα
- 2 áκαμπτα και 2 εύκαμπτα ports εργαλείων
- Ειδικά για την πλατφόρμα εργαλεία είναι απαραίτητα
- Περιορισμένα δεδομένα
(Haber GP et al. Eur Urol 2011,
Leveillee et al. J Endourol 2011)



OCTO port

- Πολλές διατάξεις βαλβίδων
- Εργαλεία 5-10-12mm
- Οι εύκαμπτες βαλβίδες σιλικόνης επιτρέπουν μεγάλο εύρος κίνησης
- Τα port μπορούν να περιστραφούν 360°
- Τεχνική εισαγωγής Hassan



Urologic LESS is still interesting

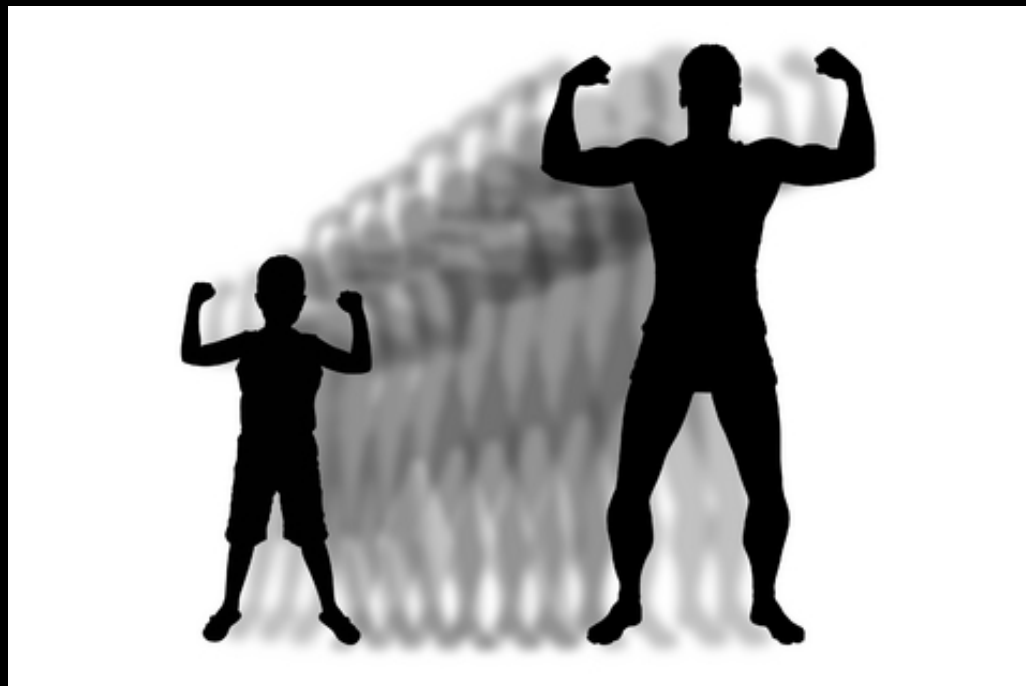
- 2014: 393 PUBMED publications in urologic LESS

A screenshot of the PubMed search interface. The search term 'laparoendoscopic urology' is entered in the search bar. The results page shows 393 publications. The display settings are set to 'Summary, 20 per page, Sorted by Recently Added'. The results are paginated from page 1 of 20.

- 65 PUBMED publications (11% of total literature) only in 2014.

A screenshot of the PubMed search interface. The search term 'laparoendoscopic urology 2014' is entered in the search bar. The results page shows 65 publications. The display settings are set to 'Summary, 20 per page, Sorted by Recently Added'. The results are paginated from page 1 of 4.

Τα δεδομένα ωριμάζουν



LESS vs συμβατική λαπαροσκοπική στο ανότερο ουροποιητικό

Table 6 – Laparoendoscopic single-site surgery versus laparoscopy: reported outcomes from case-control comparative series

Ref.	Level of evidence	Procedure	LESS access	No. of cases	Conversion, no.	Median OT, min	Median EBL, ml	Median length of hospital stay, h	Analgesics	Complication rate, %
[64]	3	Simple and radical nephrectomy	Single incision	11 LESS 22 laparoscopic	0 0	122 125	20 100	49 53	8* 15*	0 0
p value					NS		0.001	NS	NS	NS
[65]	3	Pyeloplasty**	Single incision***	15 LESS 28 laparoscopic	1† 0	202 257	35 85	77 74	34* 38*	33 21
p value					<0.001		0.002	NS	NS	NS
[67]	3	Adrenalectomy	Single port	9 LESS 17 laparoscopic	1 1	169.2 144.5	177.8 204.7	77 84	0.9†† 1.9††	11 6
p value					NS		NS	NS	0.047	NS
[66]	3	Simple nephrectomy	Single port††	11 LESS 10 laparoscopic	0 0	151 165	51 68	32 26	364† 231†	20 10
p value					NS		NS	NS	NS	NS
[69]	3	Sacrocolpopexy**	Single port	10 LESS 10 laparoscopic 10 robotic	0 0 0	162 151 150	47 65 87	36 38 38	NR	0 0 0
p value					NS		NS	NS	NS	NS
[68]	3	Kidney cryoablation**	Single-port retroperitoneal	5 LESS 5 laparoscopic	0 0	174 120	75 100	33 43	NR	0 0
p value					<0.001		NS	NS	NS	NS

LESS = laparoendoscopic single-site surgery; OT = operative time; EBL = estimated blood loss; NS = not significant; NR = not reported; IV = intravenous.

* Morphine equivalents (mg).

** Mean values expressed.

*** Additional 5-mm trocar systematically used.

† Excluded from the analysis.

†† Number of days of IV patient-controlled anesthesia use.

†† Additional 5-mm trocar in one case.

† mg (drug not specified).

Modest advantage for LESS in terms of EBL, analgesic use, length of hospital stay

Βελτιωμένα αποτελέσματα όσο αυξάνει η εμπειρία και βελτιώνεται ο εξοπλισμός

LESS Επινεφριδιεκτομή

- Καλύτερος έλεγχος του μετεγχειρητικού πόνου, ταχύτερη αποκτάσταση της λειτουργίας του εντέρου, περισσότερη ικανοποίηση για το αισθητικό αποτέλεσμα σε σχέση με τη συμβατική λαπαροσκοπική. Αυξημένος χειρουργικός χρόνος *Urology*. 2012 Mar;79(3):577-84.
- Πλεονεκτήματα στην βραχυπρόσθεσμη ανάρρωση σε σχέση με τη συμβατική λαπαροσκοπική. *Surg Endosc*. 2012 Apr;26(4):1135-9.
- Καλύτερο αισθητικό αποτέλεσμα και έλεγχος του πόνου. *Surg Endosc*. 2011 Jul;25(7):2117-24.

Παιδιατρική διαομφαλική χειρουργική

- Ικανοποιεί την ανάγκη για το αισθητικό αποτέλεσμα. *Pediatr Surg Int*. 2012 Mar;28(3):321-5

LESS Επιδιόρθωση κυστεοκολπικού συριγγίου

- Λιγότερος πόνος και διάρκεια νοσηλείας από τη συμβατική λάπαροσκοπική (n=5) *Urology* 2011;78: 567-71

Procedure	Pros	Cons
SN and RN	<ul style="list-style-type: none"> Limited technical complexity 	<ul style="list-style-type: none"> Large incision needed for specimen extraction Data needed to demonstrate oncologic safety (for RN)
PN	<ul style="list-style-type: none"> Small specimen to be extracted 	<ul style="list-style-type: none"> Mainly for low-complexity masses Technically demanding: warm ischemia time to be minimized; clamping and suturing potentially required Data needed to demonstrate oncologic safety (for oncology cases)
DN	<ul style="list-style-type: none"> Cosmetically very appealing for the healthy donor 	<ul style="list-style-type: none"> Technically demanding: warm ischemia time to be minimized

Fig. 1 – Laparoendoscopic single-site surgery nephrectomy procedures: pros and cons. SN = simple nephrectomy; RN = radical nephrectomy; PN = partial nephrectomy; DN = donor nephrectomy.

Laparoendoscopic Single-site Surgery (LESS) and Nephrectomy:
 Current Evidence and Future Perspectives
 Jihad H. Kaouk*, Riccardo Autorino. Eur.Urol 2013

Laparoendoscopic Single-site Partial Nephrectomy: A Multi-institutional Outcome Analysis.



Greco et al, Eur Urol 2013

- «Η LESS μερική νεφρεκτομή μπορεί να εκτελεστεί με ασφάλεια και αποτελεσματικότητα από έμπειρα χέρια, με τη χρήση ενός επιπλέον trocar. Η εφαρμογή μιας ρομποτικής πλατφόρμας είναι πιθανό να μειώσει τον συνολικό κίνδυνο μετεγχειρητικών επιπλοκών.»

BJU Int. 2014 Feb;113(2):266-74. doi: 10.1111/bju.12376. Epub 2013 Nov 25.

Analysis of oncological outcomes and renal function after laparoendoscopic single-site (LESS) partial nephrectomy: a multi-institutional outcome analysis.

Springer C¹, Greco F, Autorino R, Rha KH, Derweesh I, Cindolo L, Richstone L, Herrmann TR, Liatsikos E, Sun Y, Fanizza C, Nagele U, Stolzenburg JU, Rais-Bahrami S, Liss MA, Schips L, Kassab A, Wang L, Kallidinis P, Wu Z, Young ST, Altieri VM, Haber GP, Fornara P, Kaouk JH.

CONCLUSION: The study showed that LESS-PN is effective in terms of renal function preservation and oncological control at short- and intermediate-term follow-up.

[BJU Int.](#) 2015 Feb;115(2):206-15. doi: 10.1111/bju.12724. Epub 2014 Jul 15.

Laparoendoscopic single-site (LESS) vs laparoscopic living-donor nephrectomy: a systematic review and meta-analysis.

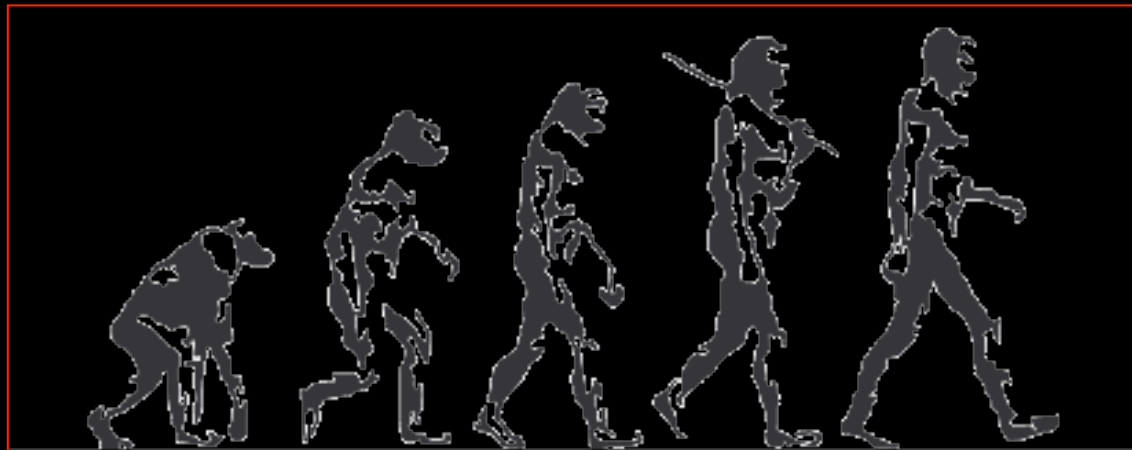
[Autorino R](#)¹, [Brandao LF](#), [Sankari B](#), [Zargari H](#), [Laydner H](#), [Akça O](#), [De Sio M](#), [Mirone V](#), [Chueh SC](#), [Kaouk JH](#).

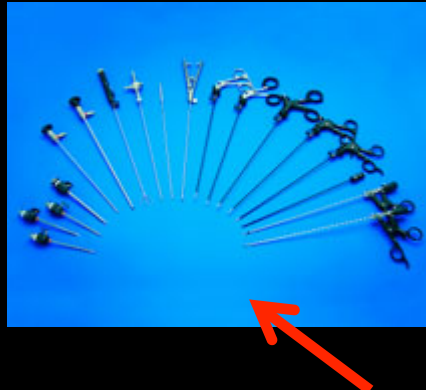
- Περιστατικά: 461 LESS και 1006 συμβατικής λαπαροσκοπικής νεφρεκτομής δότη.
- Συγκρίσιμα χειρουργικά και λειτουργικά αποτελέσματα.
- Μικρότερη ανάγκη για αναλγησία στη LESS
- Πιο απαιτητική η τεχνική LESS.

LESS νεφρεκτομή δότη:

- ✓ Μεγαλύτερος χειρουργικός χρόνος
- ✓ Παρόμοιος χρόνος θερμής ισχαιμίας
- ✓ Μεγαλύτερη πιθανότητα για μετατροπή του χειρουργείου
- ✓ Παρόμοιος χρόνος νοσηλείας
- ✓ Χαμηλότερη ανάγκη για αναλγητικά

Περαιτέρω αναπτυσσόμενες τεχνικές





LESS υποβοηθούμενη από μίνι-λαπαροσκοπικά εργαλεία

Μίνι-λαπαροσκοπικά εργαλεία:
διάμετρος περίπου 3mm χωρίς trocar

Τα επιπρόσθετα εργαλεία παρέχουν:

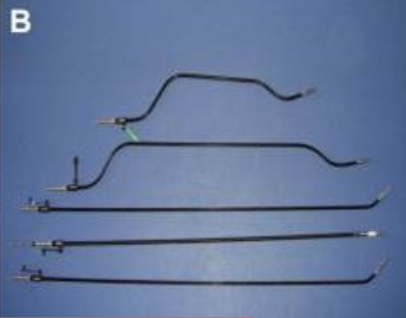
1. Τάση στον ιστό
2. Τριγωνισμός των εργαλείων
3. Μειωμένη καμπύλη εκμάθησης (Η εργονομία μοιάζει με τη συμβατική λαπαροσκοπική)



Τα 3mm εργαλεία δε χρειάζονται trocar.
Ούτε οι τομές τους χρειάζονται συρραφή.

Το αισθητικό αποτέλεσμα δεν επηρεάζεται!!!

Kallidonis et al. Urol Int 2014



Υβριδική LESS διακολπική νεφρεκτομή (Hybrid LESS transvaginal nephrectomy)

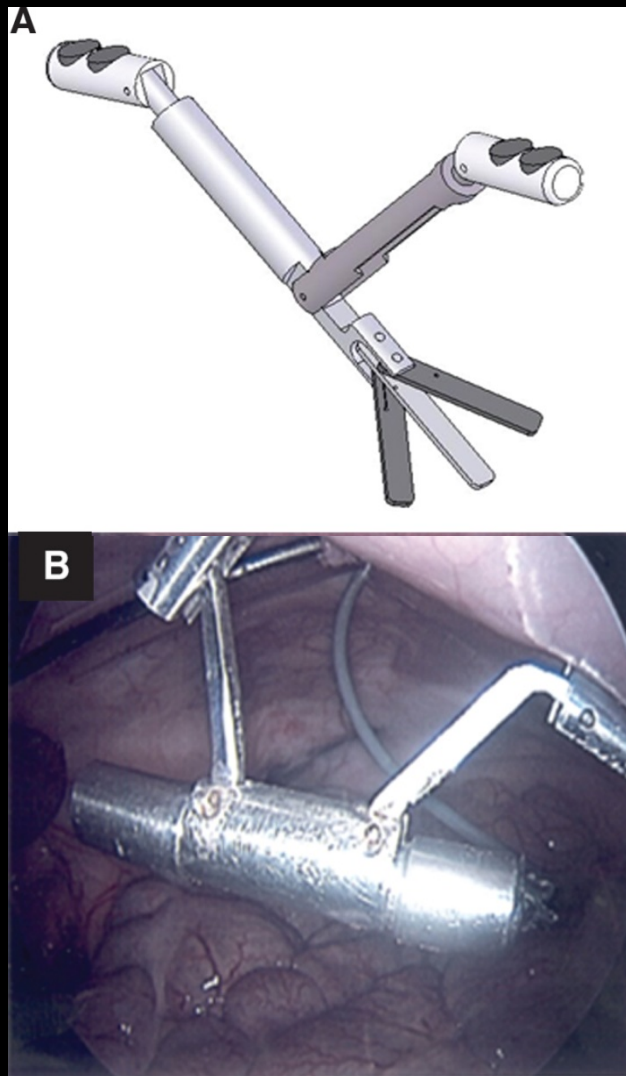
Perioperative Parameters

Number of cases/benign/malignant	38/15/23
Nephrectomy side	Left, 13 and right, 25
Average age (y)	56.5 (range, 25-74)
Average BMI (kg/m ²)	24.4 (range, 22.3-33.1)
Average tumor diameter (cm)	6 (range, 4.9-7.5)
Location	Lower, 10; interpolar, 6; and upper, 7
Incision length (cm) umbilical	2.7 (range, 2.5-3.5)
Average operative time (min)	114.1 (range, 90-190)
Average estimated blood loss (mL)	80 (range, 50-150)
Blood transfusion	2 units postoperatively in 2 cases
Additional instruments	None
Multiports used	
Conversion to open approach	Transvaginal
Conversion to laparoscopic approach	GelPOINT +
Average hospital stay (d)	Umbilical
Average follow-up (mo)	GelPOINT x8
Complications	Endocone x3
Postoperative fever of unknown origin (>38°C)	Flexible trocars + Endocone x27
Postoperative bleeding	None
Bladder injury (perforation)	
Pathology result	
pT1b (>4 cm and ≤7 cm)	2 cases (conservative treatment with broad spectrum antibiotics and extended hospitalization) grade II*
pT2a (≥7 cm and ≤10 cm)	2 cases (conservative management, 2 units of blood, hematoma at the site of surgery, and extended hospitalization) grade II*
Positive surgical margins	2 cases (required suturing)
Clear cell/papillary histology/oncocytoma	16
	7
	0
	21/1/1

- Τα διακολπικά εργαλεία ασκούν τάση σε ιστούς και όργανα
- Με τη διακολπική αφαίρεση του παρασκευάσματος αποφεύγεται η συνήθης επιμήκυνση της τομής.

Georgopoulos et al. Urology 2014

Πρωτοποριακά εργαλεία



Magnetic Anchoring and Guidance System

Anubis™
(Karl Storz, Tuttlingen, Germany)

TransPort™ Multi-lumen Operating Platform
(USGI Medical, San Clemente, CA, USA)

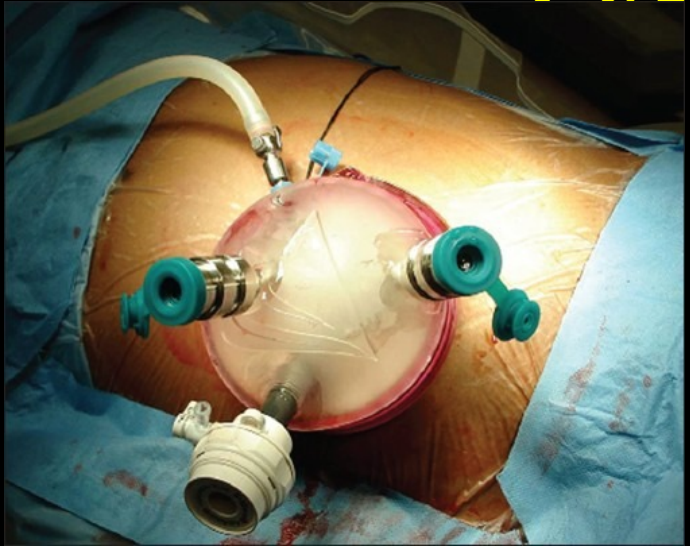
Direct Drive Endoscopic System™
(Boston Scientific)

Cobra™
(USGI Medical, San Clemente, CA, USA)

Multitasking platforms



Ρουποτική LESS



Τα συνήθη εργαλεία του DaVinci
εισάγονται μέσω του ίδιου
πολυκάναλου trocar

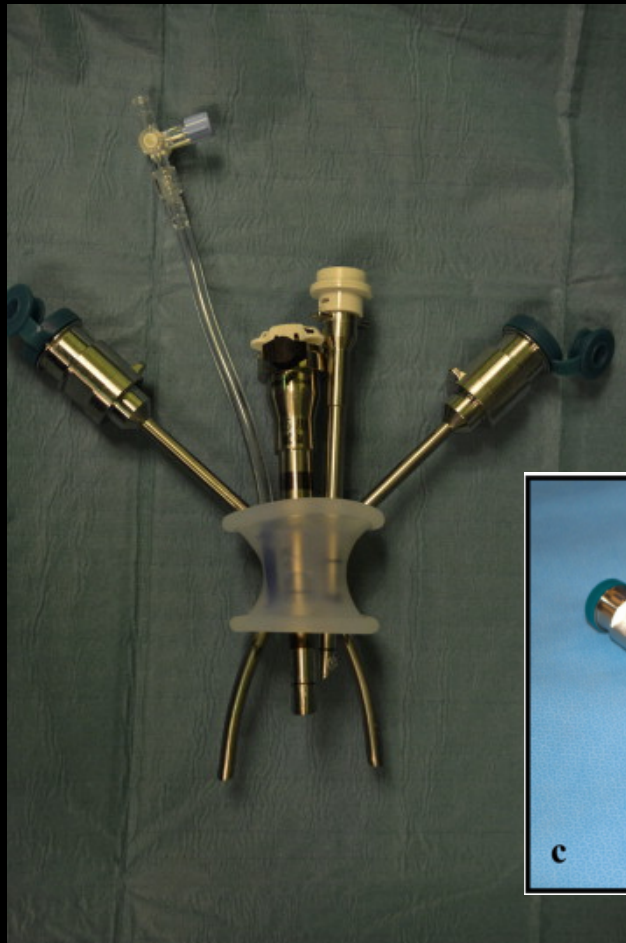


- Δυσκολίες στον τριγωνισμό
- Σύγκρουση εργαλείων
- Δεν χρησιμοποιείται 4^οs βραχίονας
- Έλλειψη χώρου για το βοηθό

1ης γενιάς ρομποτικά εργαλεία για LESS

Ο τριγωνισμός είναι εφικτός με τίμημα την απώλεια κάποιων βαθμών ελευθερίας από τα εργαλεία.

- Πολύ αξιόλογα κλινικά αποτελέσματα
- Ταχύτερη ανάρρωση σε σχέση με τη συμβατική ρομποτική



da Vinci single-site platform

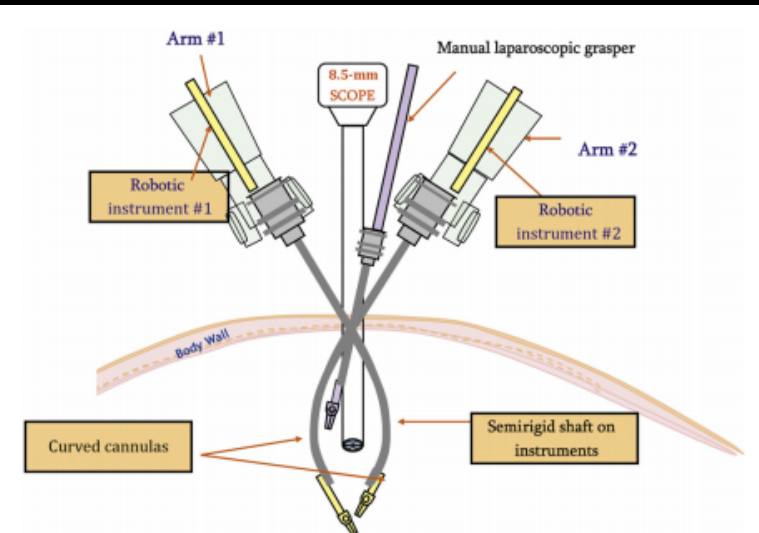


Fig. 5 – The da Vinci Single-Site platform.

2ης γενιάς ρομποτικά εργαλεία για LESS



The da Vinci SP Surgical System
(Model SP999)

- 7 βαθμοί ελευθερίας
- Εισάγεται στο “I” mode και ανοίγει στο “Y” προσφέροντας τριγωνισμό των εργαλείων
- Οι ίδιες αρχές και πλεονεκτήματα με τη συμβατική ρομποτική
- **Μειονεκτήματα:**

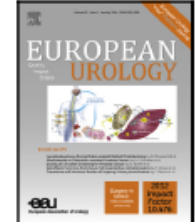
Η ευελιξία τους περιορίζεται από το μήκος της αρθρώμενης άκρης. Ο χειρισμός μεγάλων αντικειμένων γίνεται δύσκολος ή αδύνατος

2nd generation single port robotic platform An emerging new standard in LESS?

EUROPEAN UROLOGY 66 (2014) 1033–1043

available at www.sciencedirect.com
journal homepage: www.europeanurology.com

eau
European Association of Urology



Platinum Priority – Endo-urology
Editorial by Günter Janetschek on pp. 1044–1045 of this issue

**A Novel Robotic System for Single-port Urologic Surgery:
First Clinical Investigation**

Jihad H. Kaouk ^{a,}, Georges-Pascal Haber ^a, Riccardo Autorino ^a, Sébastien Crouzet ^b,
Adil Ouzzane ^c, Vincent Flamand ^c, Arnauld Villers ^c*

- 1^η κλινική αξιολόγηση του νέου da Vinci Single Port Surgical System (Model SP999) σε μία προοπτική μελέτη φάσης 1.
- 19 ασθενείς (11 ριζικές προστατεκτομές, 8 επεμβάσεις νεφρού) με 3 χρόνια παρακολούθηση
- Άριστα αποτελέσματα

Η ρομποτική LESS Ανξάνει ταχύτατα

Κλινικές σειρές ρομποτικής LESS

Table 1 – Robotic laparoendoscopic single-site surgery procedures: major clinical series*

Study	Procedure	Cases, no.	Control group	LOE	Access device	OR, min	EBL, ml	LOS, d	Conversions, no. (to what)	Postoperative complications (Clavien grade)	Remarks
White et al. [28]	RN	10	Standard lap	4	SILS or GelPoint	167.5 ^a	100 ^a	2.5 ^a	0	1 skin infection (2)	With the SILS Port, robotic trocars placed inside the same skin incision and tunneled before piercing the fascia; with the GelPoint, robotic trocars inserted at the most cephalad and caudal aspects of the device; no additional trocars required
Han et al. [29]	PN	14	None	4	Homemade	205 ^a	200 ^a	4 ^a	2 (open PN)	11 transfusions (2)	Median tumor size: 3.2 cm; median WIT: 30 min; all margins negative; additional port used
Arkoncel et al. [30]	PN	35	Standard robotic	3b	Homemade	187.5 ^b	257 ^b	4.2 ^b	0	1 urine leak (3a), 3 transfusions (2)	WIT: 29.5 min; one positive margin; additional port used (two-port technique)
Olweny et al. [36]	Pyelo	10	Standard LESS	3b	GelPoint	226 ^b	56 ^b	2.6 ^b	0	1 urine leak (3a)	Two 5-mm robotic ports, a 12-mm camera port, and a 12-mm assistant trocar through GelPoint in diamond-shaped configuration; robotic instruments crisscrossing at umbilicus; for right sides, a 3-mm liver retractor used
White et al. [41]	RP	20	None	4	SILS	187.6 ^b	130 ^b	2.5 ^b	1 (RALP)	1 ileus (1), 1 transfusion (2), 1 pulmonary embolus (2), 1 urosepsis (4)	Skin incision measuring 3.0–4.5 cm, mostly concealed within the umbilicus; instruments not crossed; use of "marionette" sutures
Fareed et al. [43]	STEP	9	None	4	GelPort	234 ^a	425 ^b	4.5 ^b	1 (open SP)	2 hematuria (3b), 1 DVT (2), 1 UTI (2), 1 MI (4a), 1 ARF (4a)	Initial transurethral incision of the prostatic apex; two patients requiring digital rectal assistance for enucleation; no suturing

DVT = deep venous thrombosis; EBL = estimated blood loss; lap = laparoscopic; LESS = laparoendoscopic single-site surgery; LOE = level of evidence according to the Oxford Centre for Evidence-Based Medicine; LOS = length of stay; MI = myocardial infarction; OR = operating room time; PN = partial nephrectomy; pyelo = pyeloplasty; RALP = robot-assisted laparoscopic prostatectomy; RN = radical nephrectomy; RP = radical prostatectomy; SP = simple prostatectomy; STEP = suprapubic transvesical enucleation of the prostate; UTI = urinary tract infection; WIT = warm ischemia time; ARF = acute renal failure.

* Of at least five cases.

^a Median value.

^b Mean value.

Current Status and Future Directions of Robotic Single-Site Surgery: A Systematic Review. Autorino et al, Eur Urol 2013

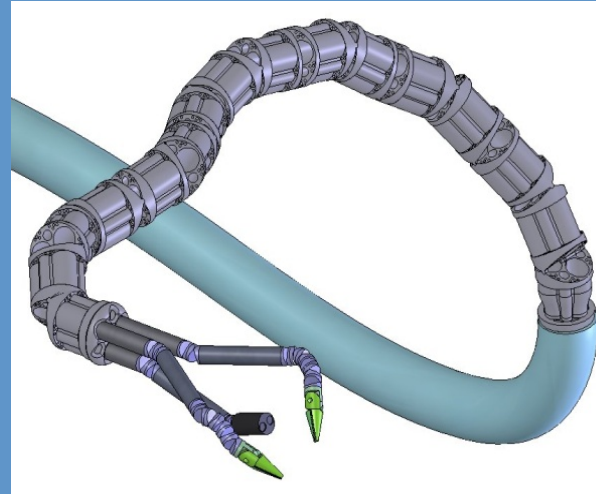
Η ρομποτική τεχνολογία του κοντινού μέλλοντος

Η ρομποτική μπορεί να εξομαλύνει την απότομη καμπύλη εκμάθησης της LESS και να συμβάλλει στη διεθνή αποδοχή της τεχνικής

Bended Instruments



Flexible instruments



Single Arm Surgery



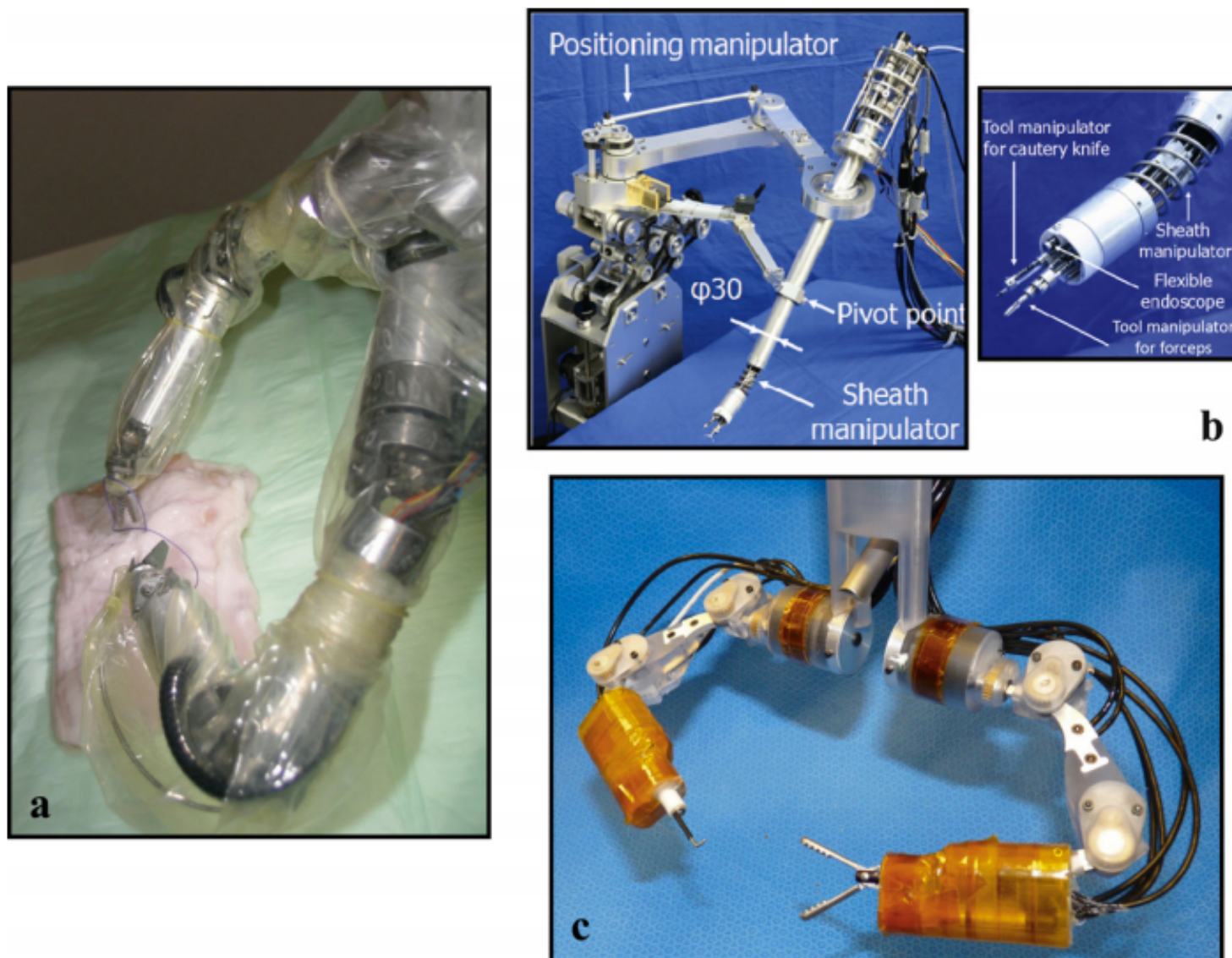


Fig. 9 – (a) SPRINT (Single-port Laparoscopy Bimanual Robot): bimanual robot with umbilical access coupled with the external manipulator—ARAKNES (Array of Robots Augmenting the Kinematics of Endoluminal Surgery) consortium (courtesy of Paolo Dario, Scuola Superiore Sant'Anna, University of Pisa, Italy); (b) prototype robot for laparoendoscopic single-site surgery (LESS; courtesy of Yo Kobayashi, Waseda University, Japan); and (c) miniature robot for LESS (courtesy of Dmitry Oleynikov and Shane Farritor, University of Nebraska, Omaha, NE, USA, April 2012).

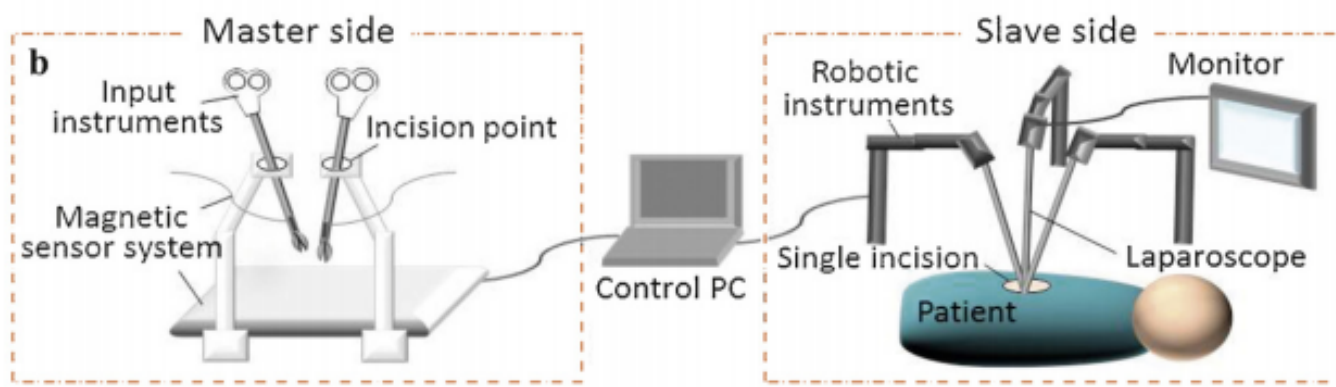
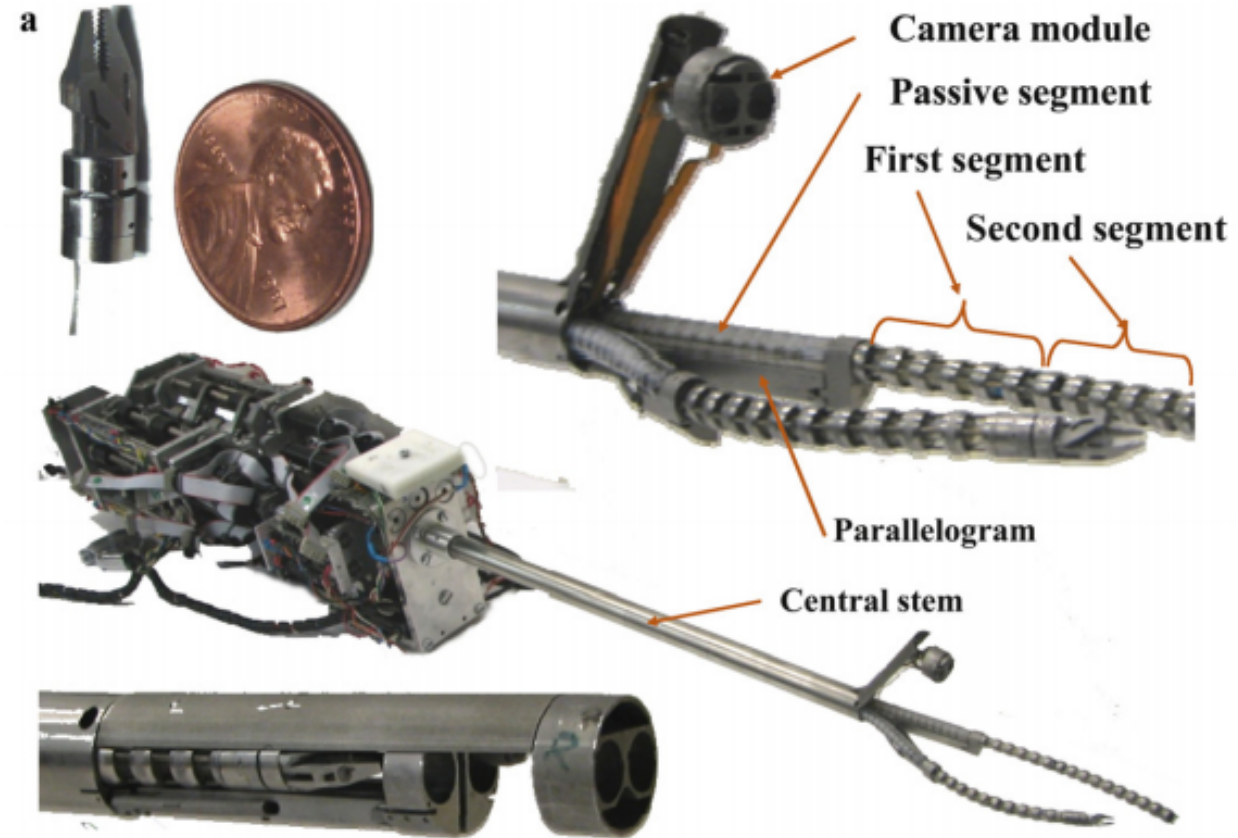


Fig. 10 – (a) The Insertable Robotic Effectors platform (courtesy of Nabil Simaan, ARMA Laboratory, Vanderbilt University, Nashville, TN, USA) and (b) the master/slave robot for single-site surgery (courtesy Dr. Yuki Horise, Osaka University, Japan). PC = personal computer.

Πρωτοποριακά εργαλεία για ρομποτική LESS είναι το μέλλον

available at www.sciencedirect.com
journal homepage: www.europeanurology.com



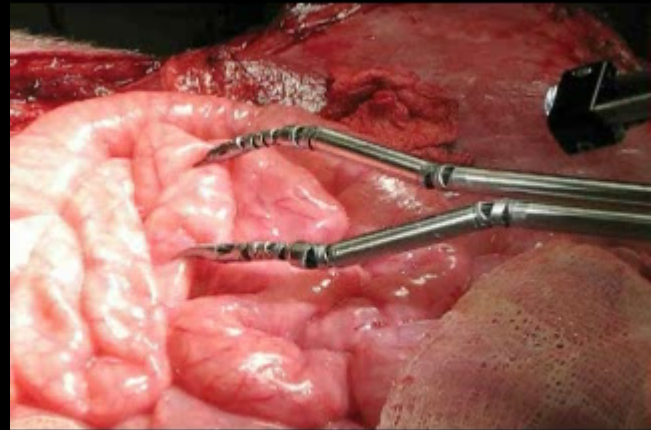
Platinum Priority – Editorial

Referring to the article published on pp. x-y of this issue

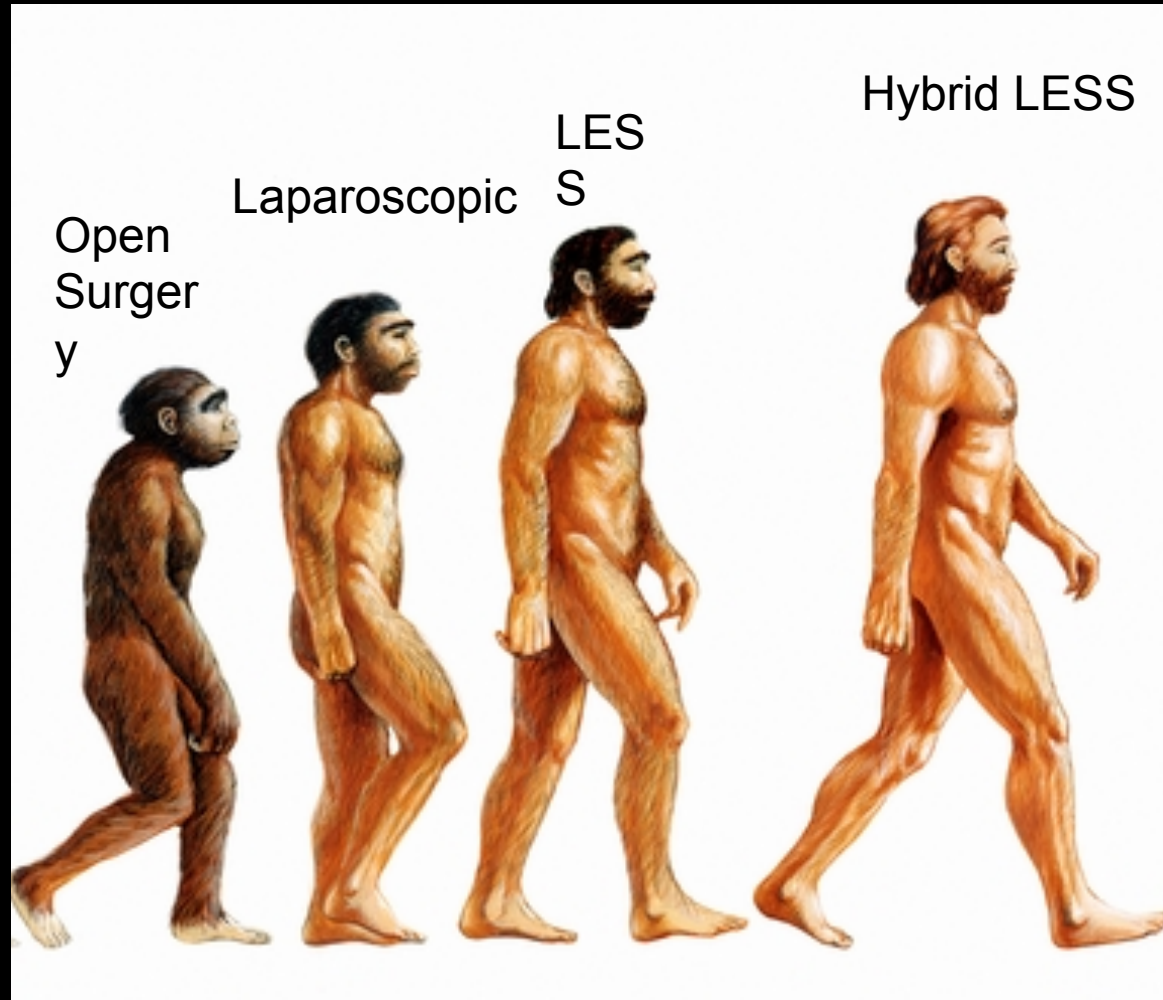
Robotics: Will They Give a New Kick to Single-site Surgery?

Günter Janetschek *

“The long awaited evolution of robotic technologies for laparoscopy has begun and we should not miss this momentum”



Robotic LESS –
novel
instrumentation





Ευχαριστώ

Επισκεφτείτε τον ιστοσελίδα μας:
www.laparoscopy-endourology.com

